

# Analiza formi brodova s dinamičkim uzgonom

---

**Valerjev, Marin**

**Master's thesis / Diplomski rad**

**2009**

*Degree Grantor / Ustanova koja je dodijelila akademski / stručni stupanj: **University of Zagreb, Faculty of Mechanical Engineering and Naval Architecture / Sveučilište u Zagrebu, Fakultet strojarstva i brodogradnje***

*Permanent link / Trajna poveznica: <https://urn.nsk.hr/urn:nbn:hr:235:497791>*

*Rights / Prava: [In copyright/Zaštićeno autorskim pravom.](#)*

*Download date / Datum preuzimanja: **2024-06-26***

*Repository / Repozitorij:*

[Repository of Faculty of Mechanical Engineering  
and Naval Architecture University of Zagreb](#)



SVEUČILIŠTE U ZAGREBU  
FAKULTET STROJARSTVA I BRODOGRADNJE

**DIPLOMSKI RAD**

**ANALIZA FORMI BRODOVA S DINAMIČKIM UZGONOM**

Prof.dr.sc Izvor Grubišić

Marin Valerjev

Zagreb, 2009.



SVEUČILIŠTE U ZAGREBU  
**FAKULTET STROJARSTVA I BRODOGRADNJE**  
Odbor za diplomske ispite  
Povjerenstvo studija brodogradnje



Sveučilište u Zagrebu Fakultet strojarstva i brodogradnje	
Datum	Prilog
Klasa:	
Ur.broj:	

## DIPLOMSKI ZADATAK

Student: **Marin Valerjev** Mat. br.: 35982152

Naslov: **ANALIZA FORME BRODOVA S DINAMIČKIM UZGONOM**

Opis zadatka:

Forme brodova s dinamičkim uzgonom su specifične u odnosu na deplasmanske brodove. Potrebno je prikupiti bazu podataka takvih forma te provesti analizu njihovih osnovnih brodograđevnih parametara.

Forme u bazi podataka treba prethodno izgладити korištenjem nekog od dostupnih softvera. Forme treba prikazati standardnim nacrtom linija kao i projekcijom 3D forme. Također treba prirediti i priložiti tablicu očitanja svih krivulja u nacrtu forme. Sve forme se preračunavaju na standardiziranu duljinu od 10 m mjereno po najvjerojatnijoj projektnoj vodnoj liniji.

Hidrostatičke podatke forme treba odrediti za projektnu vodnu liniju i za još 5-6 susjednih vodnih linija tako da se obuhvati cijelo područje mogućeg variranja opterećenja tih brodova.

Analizom treba obuhvatiti osnovne brodograđevne parametre te njihovu relaciju prikazati dijagramima. Procjena hidrodinamičkih karakteristika treba se osloniti na dostupne približne metode obuhvaćene u programu NavCAD.

Zadatak zadan:

15. siječnja 2009.

Rok predaje rada:

19. ožujka 2009.

Predviđeni datum obrane:

25.-27. ožujka 2009.

Zadatak zadao:

Predsjednik Povjerenstva:

Prof dr. sc. Izvor Grubišić

Prof. dr. sc. Većeslav Čorić

## Sažetak

Ovaj diplomski rad predstavlja malu bazu podataka formi brodova s hidrodinamičkim uzgonom koje su projektirane na temelju deset predložaka. Forme su svedene na istu duljinu vodne linije od 10 metara kako bi se mogle lakše uspoređivati njihove osobine. 3D modeli formi rađeni su računalnim programom Rhinoceros, a u radu su predstavljene nacrtima standardnih brodskih linija u mjerilu 1:50 i tabličnim očitanjima njihovih točaka.

Iz 3D modela su očitane osnovne izmjere i izračunati osnovni hidrostatički podaci formi što je predstavljeno tabelarno i grafički. Također, na temelju dvaju računalna programa koji se koriste metodom Savitsky, izvršen je proračun otpora i drugih parametara bitnih za njihovu hidrodinamiku. Otpori su međusobno komparirani koeficijentima efikasnosti transporta i koeficijentom otpora na bazi  $F_v$ .

## Sadržaj:

Sažetak .....	1
Popis slika: .....	3
Popis tabela: .....	4
Popis oznaka i mjernih jedinica (po redoslijedu pojavljanja):.....	6
1. Uvod .....	9
1.1    Općenito o brodovima s hidrodinamičkim uzgonom .....	9
1.2    Modeliranje formi.....	13
1.3    Razmotljive plohe .....	15
2. Prikaz formi .....	17
2.1    Forma F1.....	18
2.2    Forma F2.....	22
2.3    Forma F3.....	26
2.4    Forma F4.....	30
2.5    Forma F5.....	34
2.6    Forma F6.....	38
2.7    Forma F7 .....	42
2.8    Forma F8 .....	46
2.9    Forma F9 .....	50
2.10    Forma F10.....	54
3. Hidrostatički podaci .....	59
3.1    Arealna rebara za $T_0$ .....	60
3.2    Tabelarni podaci o plovnosti .....	62
3.3    Grafički podaci o plovnosti.....	67
3.4    Stabilitet formi.....	77
4. Hidrodinamika formi.....	79
4.1    Hidrodinamički podaci .....	81
4.2    Usporedni prikaz otpora .....	87
4.3    Usporedba trima u vožnji .....	92
4.4    Koeficijenti otpora za uspoređivanje hidrodinamičke kvalitete formi.....	93
5. Zaključak .....	105
Literatura: .....	106

## **Popis slika:**

Slika 1-Prikaz dužine vala ovisno o brzini i dužini broda (deplasmanski brod i HDU-brod).....	10
Slika 2-Shematski prikaz otpora deplasmanskih, pludeplasmanskih i gliserskih brodova ovisno o koeficijentu $v/L_{vl}^{0.5}$ .....	11
Slika 3-Predložak za formu F1 .....	18
Slika 4-3D prikaz linija forme F1.....	19
Slika 5-Nacrt forme F1 .....	20
Slika 6-Predložak forme F2 .....	22
Slika 7-3D prikaz linija forme F2.....	23
Slika 8-Nacrt forme F2 .....	24
Slika 9-Predložak forme F3 .....	26
Slika 10-3D prikaz linija forme F3.....	27
Slika 11-Nacrt forme F3 .....	28
Slika 12-Predložak forme F4 .....	30
Slika 13-3D prikaz linija forme F4.....	31
Slika 14-Nacrt forme F4 .....	32
Slika 15-Predložak forme F5 .....	34
Slika 16-3D prikaz linija forme F5.....	35
Slika 17-Nacrt forme F5 .....	36
Slika 18-Predložak forme F6 .....	38
Slika 19-3D prikaz linija forme F6.....	39
Slika 20-Nacrt forme F6 .....	40
Slika 21-Predložak forme F7 .....	42
Slika 22-3D prikaz linija forme F7.....	43
Slika 23-nacrt forme F7 .....	44
Slika 24-Predložak forme F8 .....	46
Slika 25-3D prikaz linija forme F8.....	47
Slika 26-Nacrt forme F8.....	48
Slika 27-Predložak forme F9 .....	50
Slika 28-3d prikaz linija forme F9 .....	51
Slika 29-Nacrt forme F9.....	52
Slika 30-Predložak forme F10 .....	54
Slika 31-3D prikaz linija forme F10.....	55
Slika 32-Nacrt 1/2 forme F10.....	56
Slika 33-Nacrt 2/2 forme F10.....	57
Slika 34-Položaj LCB, VCB i BMt u odnosu na koordinatni sustav .....	59
Slika 35-Graf areala rebara .....	61
Slika 36-Plovnost F1 .....	67
Slika 37-Plovnost F2 .....	68
Slika 38-Plovnost F3 .....	69
Slika 39-Plovnost F4 .....	70
Slika 40-Plovnost F5 .....	71
Slika 41-Plovnost F6 .....	72

Slika 42-Plovnost F7 .....	73
Slika 43-Plovnost F8 .....	74
Slika 44-Plovnost F9 .....	75
Slika 45-Plovnost F10 .....	76
Slika 46-Poluge stabiliteta .....	78
Slika 47-Ravnoteža sila glisirajućeg tijela .....	80
Slika 48-Usporedni prikaz otpora forme F1 .....	87
Slika 49-Usporedni prikaz otpora forme F2 .....	87
Slika 50-Usporedni prikaz otpora forme F3 .....	88
Slika 51-Usporedni prikaz otpora forme F4 .....	88
Slika 52-Usporedni prikaz otpora forme F5 .....	89
Slika 53-Usporedni prikaz otpora forme F6 .....	89
Slika 54-Usporedni prikaz otpora forme F7 .....	90
Slika 55-Usporedni prikaz otpora forme F8 .....	90
Slika 56-Usporedni prikaz otpora forme F9 .....	91
Slika 57-Usporedni prikaz otpora forme F10 .....	91
Slika 58-Komparativni prikaz trima pri vožnji .....	92
Slika 59-Graf koeficijenta Te-brzina ( Orca 3D).....	95
Slika 60-Graf koeficijenta Te-brzina (MaxSurf).....	96
Slika 61-Graf koeficijenta $C_{FV}$ -Fv prema Orca 3D .....	98
Slika 62-Graf koeficijenta $C_{FV}$ -Fv (2-3.5) prema Orca 3D .....	99
Slika 63-Graf koeficijenta $C_{FV}$ -Fv (3.4-6) prema Orca 3D .....	100
Slika 64-Graf koeficijenta $C_{FV}$ -Fv prema MaxSurf.....	102
Slika 65-Graf koeficijenta $C_{FV}$ -Fv (2-3.5) prema MaxSurf.....	103
Slika 66-Graf koeficijenta $C_{FV}$ -Fv (3.4-5.8) prema MaxSurf.....	104

## **Popis tabela:**

Tabela 1-Osnovne izmjere formi.....	17
Tabela 2-Očitanja F1.....	21
Tabela 3-Očitanja F2.....	25
Tabela 4-Očitanja F3.....	29
Tabela 5-Očitanja F4.....	33
Tabela 6-Očitanja F5.....	37
Tabela 7-Očitanja F6.....	41
Tabela 8-Očitanja F7.....	45
Tabela 9-Očitanja F8.....	49
Tabela 10-Očitanja F9.....	53
Tabela 11-Očitanja F10.....	58
Tabela 12-Površine rebara za $T_0$ .....	60
Tabela 13-Plovnost F1 .....	62
Tabela 14 -Plovnost F2 .....	62
Tabela 15-Plovnost F3 .....	63
Tabela 16-Plovnost F4 .....	63

Tabela 17-Plovnost F5 .....	64
Tabela 18-Plovnost F6 .....	64
Tabela 19-Plovnost F7 .....	65
Tabela 20 -Plovnost F8 .....	65
Tabela 21-Plovnost F9 .....	66
Tabela 22-Plovnost F10 .....	66
Tabela 23-Početna metacentarska visina i moment.....	77
Tabela 24-Poluge stabiliteta .....	77
Tabela 25-Hidrodinamički podaci F1 .....	81
Tabela 26-Hidrodinamički podaci F2 .....	82
Tabela 27-Hidrodinamički podaci F3 .....	82
Tabela 28-Hidrodinamički podaci F4 .....	83
Tabela 29-Hidrodinamički podaci F5 .....	83
Tabela 30-Hidrodinamički podaci F6 .....	84
Tabela 31-Hidrodinamički podaci F7 .....	84
Tabela 32-Hidrodinamički podaci F8 .....	85
Tabela 33-Hidrodinamički podaci F9 .....	85
Tabela 34-Hidrodinamički podaci F10 .....	86
Tabela 35-Koeficijent Te prema Orci 3D.....	94
Tabela 36- Koeficijent Te prema MaxSurf-u .....	94
Tabela 37- Koeficijent $C_{Fv}$ Orca 3D .....	97
Tabela 38- Koeficijent $C_{Fv}$ MaxSurf.....	101

## Popis oznaka i mjernih jedinica (po redoslijedu pojavlivanja):

$v$ [m/s]	- brzina
$\lambda$ [m]	- valna duljina
$L_{vl}$ [m]	- duljina vodne linije
$F_n$	-Froudeov broj
$F_v$	-Froudeov broj na bazi volumena istisnine
$\nabla$ [ $m^3$ ]	- volumen istisnine broda
$L_{OA}$ [m]	- duljina broda preko svega
$B_{OA}$ [m]	- širina broda preko svega
$B_{VL}$ [m]	- širina vodne linije
$H$ [m]	-visina
$T$ [m]	- gaz
$LCB$ [m]	- uzdužno težište istisnine
$VCB$ [m]	- vertikalno težište istisnine
$S$ [ $m^2$ ]	- oplakana površina broda
$BM_t$ [m]	- poprečni metacentarski radius
$BM_l$ [m]	- uzdužni metacentarski radius
$A$ [ $m^2$ ]	- površina rebara
$A_{vl}$ [ $m^2$ ]	- površina vodne linije
$C_b$	- blok koeficijent
$C_m$	- koeficijent glavnog rebra
$C_{wp}$	- koeficijent vodne linije
$C_p$	- prizmatični koeficijent
$GM_t$ [m]	- poprečna metacentarska visina
$M_{st}$ [kg/m]	- početni moment poprečnog stabiliteta
$h$ [m]	- poluga stabiliteta
$\varphi$ [ $^\circ$ ]	- kut nagiba broda
$R$ [N]	- otpor golog trupa broda
$R_u$ [N]	- otpor tlaka

$R_T$ [N]	- otpor tlaka
$T$ [N]	- sila trenja
$\tau$ [°]	- kut nagiba broda
$S_{ef}$ [ $m^2$ ]	- efektivna oplakana površina broda prilikom glisiranja
$B_{ef}$ [m]	- efektivna širina broda prilikom glisiranja
$\beta_{ef}$ [°]	- efektivni kut dna broda prilikom glisiranja
$\beta_{sr}$ [°]	- kut dna na sredini broda
$T_e$ [N/kg]	- koeficijent efikasnosti transporta
$C_{F_v}$	- koeficijent hidrodinamičke kvalitete forme na bazi $F_v$

## Izjava

Izjavljujem da sam ovaj rad radio samostalno, uz stučnu pomoć mentora, prof.dr.sc. Izvora Grubišića u obliku korisnih podataka ili savjeta, ali i slijedećih stručnjaka kojima svima ovom prilikom zahvaljujem:

Aničić, Sebastijan, brod.teh.

Božinović, Ranko, dipl.ing.

Golac, Andrej, stroj. teh.

Margić, Ivan, dipl. ing.

Munić, Ivan, dipl.ing

Rukavina, Gvozden, dipl. ing.

Valerjev, Davor, dipl. ing.

Rijeka, 16.03.2009.

Marin Valerjev

## 1. Uvod

Smisao ovog rada je da se na temelju grafičke razrade deset predložaka različitih formi brodova s hidrodinamičkim uzgonom definira njihova geometrija, a zatim i utvrdi hidrostaticke i hidrodinamičke karakteristike koji iz toga proizlaze. Izneseni podaci mogu poslužiti projektantu kao baza podataka prilikom osnivanja sličnih brodova, a i kao mali katalog formi pogodnih za daljnju obradu, analizu ili odabir za određeni projekt budući da rad sadržava njihove nacrte i tablice očitanja brodskih linija. Osim ovih izravno praktičnih namjena postoji i šira namjera da se postavi temelj ili ponudi ideja za opsežniju studiju formi brodova s hidrodinamičkim uzgonom u smislu proučavanja odnosa osnovnih parametara koji iz nje proizlaze.

### 1.1 Općenito o brodovima s hidrodinamičkim uzgonom<sup>1</sup>

HDU- brodovima smatraju se oni kojima, uslijed brzine kretanja, voda nastujavajući na oplatu djeluje hidrodinamičkim tlakom, čiji jedan dio djelovanja rezultira kao uzgon i preuzima značajnu (poludeplasmanski brodovi) ili predominantnu (gliseri) komponentu u sumi ukupnog uzgona, za razliku od istisninskih brodova gdje su i pri kretanju kao i pri mirovanju težina i istisnina broda u ravnoteži.

Općenito, pri kretanju, brod savladava otpor koji pojednostavljeni možemo podijeliti na otpor trenja i otpor vlastitih valova. Otpor trenja je u ovisnosti sa oplakanom površinom i brzinom kretanja broda. Otpor valova je ovisan o dužini vodne linije i brzini kretanja čemu je razlog taj što poprečni sustav valova ima brzinu jednaku kao i samo plovilo te stoga što se duljina valova povećava s brzinom. Dakle postoji ona brzina broda pri kojoj se duljina vlastitog valnog sustava broda i duljina vodne linije izjednače. Istisninski brod se tada nalazi u valnom dolu pri čemu dobije veći zagažaj. Plovilo se ulaganjem veće energije ne uspijeva popeti na val čime se valna visina proporcionalno povećava, a time i otpor te brod dostiže svoju maksimalnu teoretsku brzinu.

Ona se može izraziti jednadžbom [1,2] za brzinu širenja vala u dubokoj vodi;

---

<sup>1</sup> Nadalje u tekstu HDU-brodovi – Namjera nije stvoriti novi termin nego izbjegći pretjerano ponavljanje fraze (op. autora)

$$v = \sqrt{\frac{\lambda \cdot g}{2\pi}}$$

tako što valnu duljinu  $\lambda$  izjednačimo sa duljinom vodne linije  $L_{vl}$ . Ako riješimo omjer konstanti pod korijenom dobivamo:

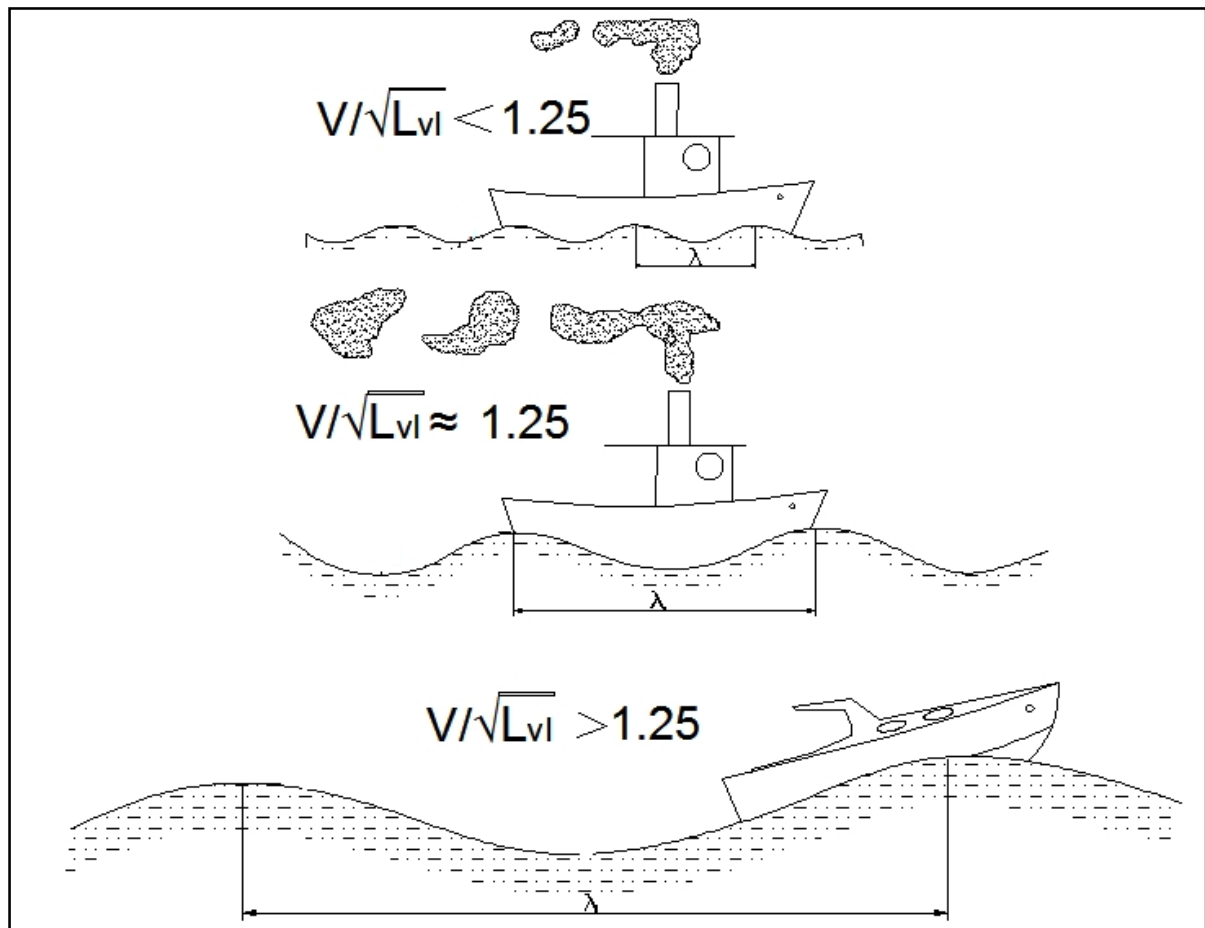
$$v \cong 1.25\sqrt{L_{vl}} \text{ [m/s]},$$

ili približno izraženo u čvorovima:

$$v \cong 2.5\sqrt{L_{vl}} \text{ [kn]},$$

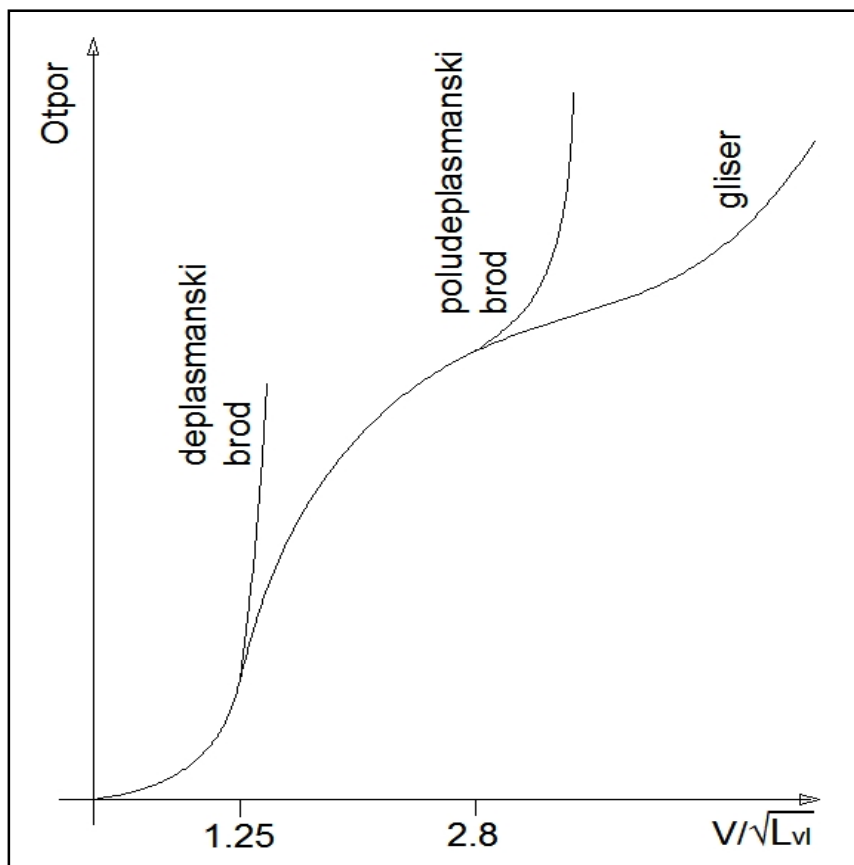
a najčešće u literaturi [3]:

$$v \cong 1.34\sqrt{L_{vl}} \text{ [kn], za } L_{vl} \text{ izražen u stopama [ft]}$$



Slika 1-Prikaz dužine vala ovisno o brzini i dužini broda (deplasmanski brod i HDU-brod)

HDU- brodovi mogu ploviti brže od teoretske brzine; posljedica hidrodinamičkog uzgona je smanjivanje istisnine broda, odnosno brod postaje prividno lakši; zatim uzgon se javlja izrazitije na pramčanom dijelu boda čime dolazi do značajnog tima (zatege); i konačno - smanjuje se oplakana površina broda što dovodi do relativnog smanjenja otpora trenja. Kod brzina bliskih kritičnoj brod se penje na svoj pramčani val uslijed čega otpor valova više ne predstavlja krajnje ograničenje brzini kretanja broda. Krajnja brzina, ovisno o snazi, uvelike može premašivati iznos od  $v \cong 1.25\sqrt{L_{vl}}$ , štoviše potpuno glisirajućim brodovima [3] smatraju se tek oni kojima odnos  $v/L_{vl}^{0.5} > 2.8$ , dok se oni s  $2.8 > v/L_{vl}^{0.5} > 1.25$  smatraju poludeplasmanskima.



Slika 2-Shematski prikaz otpora deplasmanskih, pludeplasmanskih i gliserskih brodova ovisno o koeficijentu  $v/L_{vl}^{0.5}$

Koeficijent  $v/L_{vl}^{0.5}$  ima očitu sličnost s Froudevim brojem na bazi vodne linije:

$$F_n = \frac{v}{\sqrt{g \cdot L_{vl}}},$$

no kod definiranja HDU-brodova kao mjera za procjenu brzine forme uvodi se Froudeov broj na bazi volumena istisnine:

$$F_V = \frac{v}{\sqrt{g \cdot V^{\frac{1}{3}}}},$$

pri čemu se brodovi s  $F_V > 3$  smatraju gliserskim, a brodovi s  $3 > F_V > 1$  poludeplasmanskima.

Naravno, nije moguće udovoljiti odnosima u jednadžbama bez odgovarajuće forme jer o njoj ovisi da li brod uopće ima potencijal za stvaranje dovoljnog hidrodinamičkog uzgona. Poludeplasmanske forme obično [3] karakteriziraju:

- fine linije ulaska vode na pramcu i ravne linije uzdužnica na redini s laganim konstantnim usponom ka krmi koje završavaju na djelomično uronjenom, oštrom odrezanom zrcalu krme
- zaobljeni uzvoj duž opalte, iako neki dizajneri preferiraju kombinaciju oštrog zgiba na krmi i oblog na pramcu ili obratno, u novije vrijeme zaobljeni uzvoj prelazi u dva zgiba pod blažim kutem u središnjem i krmenom dijelu broda
- ravna, „V“ rebra na pramcu i prednjem dijelu trupa

Za glisirajuće forme karakteristično je:

- potpuno izbjegavanje konveksnih površina da se sprječi razvoj negativnog tlaka na dnu
- oštri zgib na uzvoju koji treba omogućiti odvajanje poprečnog strujanja od dna
- duboko uronjen, široki, oštiro rezani transom koji treba osigurati potpuno odvajanje uzdužnog strujanja od dna tako da je cijeli neoplakan
- ravne uzdužnice duž dna prema krmi
- „V“ rebra s priklonim kutem koji raste prema pramcu radi bolje pomorstvenosti i koji predstavlja dovoljni bočni profil oplakivane površine potrebne za održavanje kursa i upravljaljivosti

Za razliku od deplasmanskih brodova položaj uzdužnog težišta sustva uvelike utječe na performanse HDU-brodova zbog njegovog utjecaja na trim u glisirajućem režimu plovidbe pa o tome valja posebno voditi računa prilikom projektiranja. Također treba napomenuti; iako su HDU - brodovi predviđeni za relativno velike brzine, oni moraju proći cijeli raspon brzina od mirovanja do glisirajućeg režima pri čemu su opisane forme nepovoljne s aspekta otpora zbog svoje izlomljenoosti.

## 1.2 Modeliranje formi

Prikupljeno je deset predložaka formi iz različitih izvora u obliku kopija nacrti i crteža brodskih linija. Nepoznata su mjerila, pa čak i proporcije u slučajevima kada se radi samo o nacrtu rebara bez ostalih projekcija. U tom slučaju pretpostavljeno je da širina broda na najširem dijelu zgiba iznosi 3.2 m. Kao što je navedeno u zadatku, forme su svedene na jednaku duljinu vodne linije  $L_{vl} = 10$  m na očitom ili procijenjenom (ako nije na crtežu naznačen) projektnom gazu. Obrada predložaka i modeliranje formi vršeno je računalnim programima AutoCAD i Rhinoceros i može se podijeliti u nekoliko faza.

Prva faza je da se prikupljene forme pažljivo prouči kako bi se shvatio smisao nacrti i kako bi se uočili i razjasnili eventualni nedostaci i nejasnoće koji su nastali u samom crtanj, precrtavanju ili kopiranju te kako bi se rekonstruirali podaci koji nedostaju (položaj projektnog gaza, pozicije i broj rebara...)

Druga faza je da se digitalizirane kopije predložaka unesu u „AutoCAD“. One se zatim koriste kao pozadina preko kojih se vuku odgovarajuće krivulje. Iako se taj postupak prema [4] može raditi i direktno u Rhinocerosu pokazalo se jednostavnije primjenjivati AutoCAD u ovoj fazi.

Direktno precrtavanja predloška znatno ubrzava cjelokupni proces jer eliminira fazu očitavanja i pogreške uz to vezane (izrada mjerila, nesavršenost očitanja, nemogućnost očitanja uslijed nejasnoća, zaokruživanje brojeva, nedostatan ili prevelik broj očitanja itd.) Ucrtanim i rekonstruiranim (u slučaju kad nisu bile dobro vidljive ili razlučive) linijama forme i pomoćnim linijama (simetrala, vodna linija, pozicije rebara...), potrebno je provjeriti i korigirati njihovu zakrenutost u odnosu na koordinatni sustav AutoCADA budući da su svi predlošci više ili manje zakrenuti uslijed kopiranja.

Treća faza je učitavanje datoteke s unešenim linijama u računalni program Rhinoceros čija je primarna namjena 3D modeliranje. Budući da su sve linije prema predlošku nacrtane dvodimenzionalno i na istoj plohi, valja ih orijentirati u koordinatnom sustavu programa prema njihovim projekcijama; također, linije je potrebno dodatno iskopirati u zaseban „layer“ koji će nam služiti za kontrolu.

Prostorne krivulje (linija zgiba, razme, linije transoma) se 3D modeliraju prema svojim plošnim projekcijama, kontroliraju i glade. Plošne krivulje (rebra) se raspoređuju na njihove

pozicije. Zatim se krivulje međusobno usklađuju, odnosno prilagođavaju jedna drugoj tako da rebara počinju na liniji statve-dna, prekidaju se na liniji zgiba i završavaju na liniji razme.

Krivulje je potrebno proučiti dijagramom zakriviljenja, redefinirati (naredba „rebuild“) s što manjim brojem točaka, ali pri tome voditi računa da odstupanja od originala budu što manja i na poslijetku izgladiti (naredba „fair“ ili „nudge“ ovisno o stupnju i načinu deformiranosti). Postupak treba kontrolirati i iterativno ponavljati dok konačni rezultat ne postane trodimenzionalna mreža međusobno povezanih, izglađenih brodskih krivulja.

Četvrta faza je oblikovanje formi u Rhinoceros-u pri čemu se koriste NURBS<sup>2</sup> plohe. Razni autori [5,4,6], pri izradi brodskih plohi preporučaju različite postupke, no svi se slažu da ih je najbolje modelirati naredbom „loft“. Ona nam na temelju unešenih linija može dati najglađu plohu, ali njena mana je ponekad veliko odstupanje od predloška jer nije pogodna za definiranje plohe kombinacijom krivulja različitog smjera nego se pri tom isključivo koristi krivuljama istog smjera odnosno vrsta (tako možemo, primjerice, modelirati plohu boka rebrima, ali da pri tome zanemarujemo krivulju zgiba i razme). Ona se čini izrazito pogodnom kada forma koju modeliramo nije striktno vezana uz predložak nego ga koristi samo kao ideju. Nasuprot tome naredba „curve network“ uzima u obzir krivulje različitih smjerova i daje plohu čije presječnice vrlo malo odstupaju od izvornika, ali je i najmanje glatka i najkomplikiranija. Naredbe „sweep two rail“, „sweep one rail“ izvrsne su za modeliranje plohi čija se zakrivilnost malo mijenja u jednom smjeru, a znatno duž prostornih krivulja u drugome, no tu njihove mogućnosti prestaju.

Treba težiti izradi što jednostavnijih plohi kako bi se čim više izbjeglo dugotrajno glađenje formi koje predstavlja naporan i zahtjevan posao u kome se može puno odstupiti od predloška. Na jednostavnost treba gledati kao na preduvjet za krajnju realizaciju, ali i točnost. (No naravno ne treba težiti onoj jednostavnosti koja će nam već u početku dati velika ostupanja.) U ovome radu, zbog želje da se što vjernije, ali i što jednostavnije prenesu predlošci, korištene su različite opcije u Rhinocerosu za koje se projektant mora odlučiti ovisno o situaciji.

Nakon izvedbe ploha, njihovog redefiniranja u svrhu pojednostavljenja (naredba „rebuild“) treba pristupiti glađenju (naredbama „nudge“ ili „MoveUVN“). Donekle izglađene plohe treba provjeravati „izvlačenjem“ novih rebara na odgovarajućim pozicijama kako bi se

---

<sup>2</sup> NURBS - Non-Uniform Rational Basis Spline – nastaju poopćenjem Bezierovih splineova

usporedila sa izvornima da ne bi došlo do prevelikog odstupanja. Ukoliko su se rubovi ploha previše razdvojili uslijed redefiniranja, glađenja i/ili samog modeliranja (što se gotovo redovno dešava ukoliko ste ih modelirali naredbom „curve network“) potrebno je pristupiti novoj iteraciji pri čemu će se „izvučena“ rebra i prostorne krivulje iz plohi koristiti kao novi predložak. Dakle, potrebno je vratiti se u treću fazu i ponoviti postupak, pri čemu valja voditi računa da sve intervencije u same krivulje budu samo one nužne.

Sa svakom iteracijom moguće je dobivati finije i usklađenije plohe ovisno o krajnjoj svrhi 3d modela. U ovome radu provedene su 2-3 iteracije ovisno o formi i njenoj zahtjevnosti, što je dovoljno za potrebe analize. Za potrebe proizvodnje ili izrade modela za bazensko ispitivanje vjerojatno bilo bi potrebno pristupiti dalnjem glađenju.

### 1.3 Razmotljive plohe

Iako forme predstavljene u ovome radu nisu definirane kao razmotljive plohe, ne treba unaprijed odbaciti mogućnost da se projektant odluči za takvu gradnju. Odavno je poznata njihova korisnost primjene u brodogradnji, a pogotovo u maloj brodogradnji. One nam osiguravaju jeftiniju i bržu proizvodnju brodova građenih od metala jer štede na radu i strojevima potrebnim za formiranje, omogućuju izradu brodova od šperploče koju inače nije moguće plastično deformirati te olakšavaju izradu kalupa za stakloplastične i druge kompozitne brodove

Razmotljive plohe su naročito interesantne pri izradi trupova HDU-brodova. Njihove „razlomljene“, „V“ forme, često je moguće u potpunosti ili barem u velikom dijelu definirati kao razmotljive plohe ili ih njima aproksimirati uz relativno male gubitke u izvornosti. One se [7] definiraju kao pravčaste<sup>3</sup>, ali uz dodatni uvjet da imaju osobinu razmotljivosti, odnosno da se mogu razviti u ravninu samo savijanjem bez plastičnih deformacija. Jedostavnii primjeri takvih ploha su plaštevi stožaca i valjaka te, naravno, njihovi segmenti.

Najjednostavniji način da se prepozna razmotljiva plohe je taj da se provjeri da li se susjedni pravci (odnosno izvodnice ploha) povučeni između dviju direktrisa (zgibova

---

<sup>3</sup> Pravčaste plohe su karakteristične po tome da im je Gaussova zakrivljenost jednaka nuli, tj. geometrijski gledano, moguće je u svakoj točki plohe postaviti pravac koji leži na plohi.

predstavljenih prostornim krivuljama koje omeđuju plohu) sijeku izvan plohe ili se mimoilaze. Ako se mimoilaze ploha nije razmotljiva, a ako se sijeku, pravci su izvodnice stošca.

Klasični način konstrukcije razmotljive plohe počinje određivanjem zglobova koje se može preuzeti iz neke druge forme slične željenoj ili analizom strujnica na sličnim zaobljenim formama. Po zglobovima se potom „kližu“ pravci iz jedne točke čime se generira ploha koja je segment stošca. Mana takvog postupka je ograničenost na izvedbu samo najjednostavnijih formi i težak postupak pronalaženja vrhova odgovarajućeg stošca.

Bolje rezultate mogu nam dati Kilgoreov i Nolanov algoritam no i njihova primjena uzmiče pred primjenom računalnih programa koji u sebi imaju ugrađene algoritme za modeliranje brodova razmotljivim ploham, a i za transformacije nerazmotljivih u razmotljive.

## 2. Prikaz formi

Nacrti su prikazani standardnim projekcijama linija, odnosno rebrima, uzdužnicama, vodnim linijama i prostornim krivuljama (linija razme, zgiba, dna i statve, transoma) u mjerilu M 1: 50.

Ishodište koordinatnog sustava određeno je u točki presjeka projektne vodne linije, transoma i simetrale broda. (X- pozitivan prema pramcu, Y- prema boku, Z – od projektne vodne linije pozitivan prema palubi, negativan prema dnu).

Rebra su razmagnuta 1 m, ima ih 10-12 ovisno o dužini broda s 2-3 polurebra između krajnjih pramčanih rebara. S lijeve strane nacrta rebara prikazana su krmena rebra (0-5) i transom, a s desne pramčana (5-11).

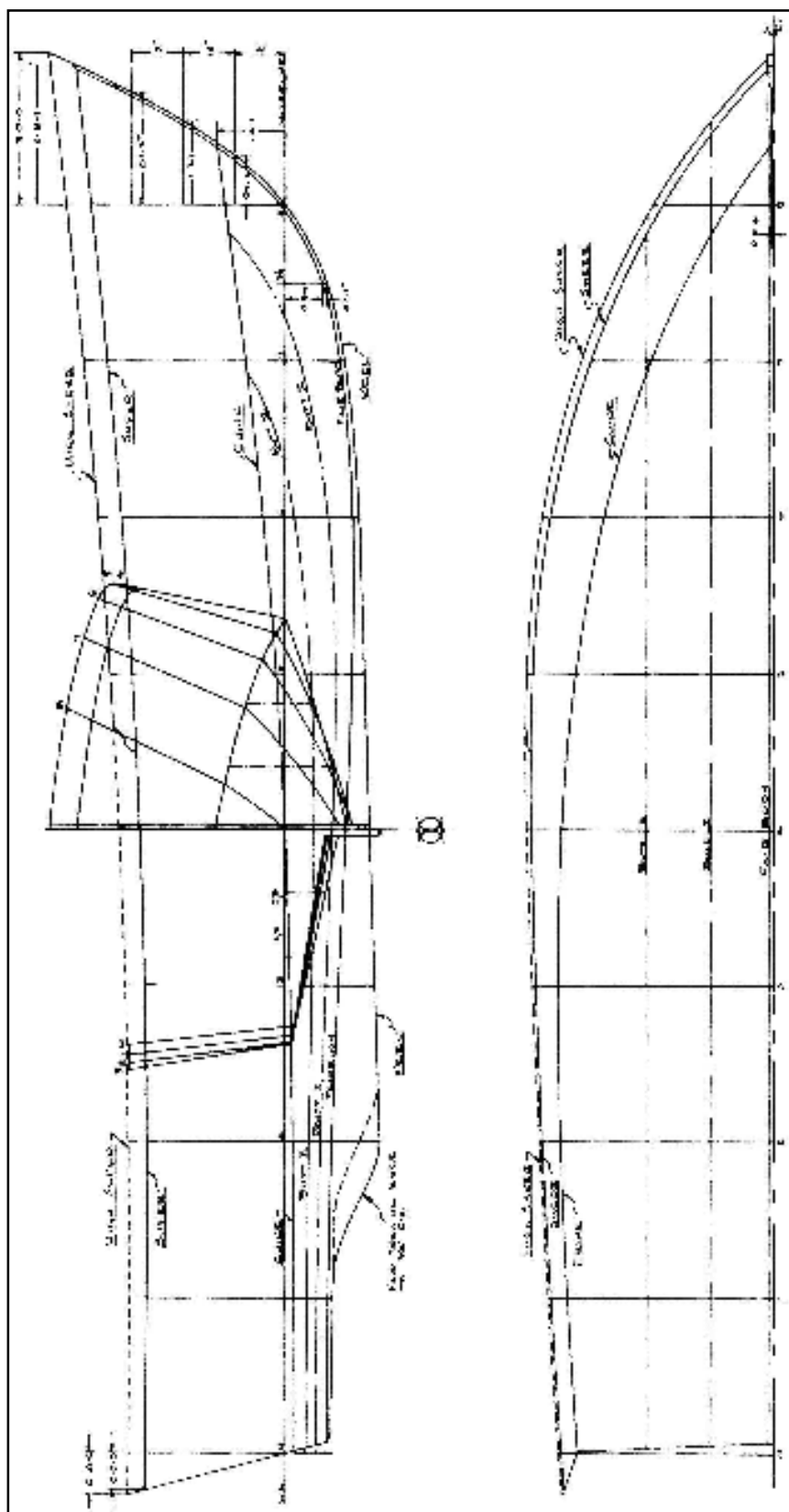
Vodne linije su razmagnute svakih 0.2 m od projektnog gaza naniže, a svaka 0.4 m naviše. Uzdužnice su raspoređene svakih 0.4 m od linije statve-dna prema boku.

Nacrt forme F10 prikazan je dodatno i širnicama zbog pripadajućih tabličnih očitanja. Inače, ostalim formama su linije očitanja su gušćeg rasporeda nego što je to u nacrtu prikazano; vodne linije su postavljene svakih 0.1 m, a uzdužnice svaka 0.2 m.

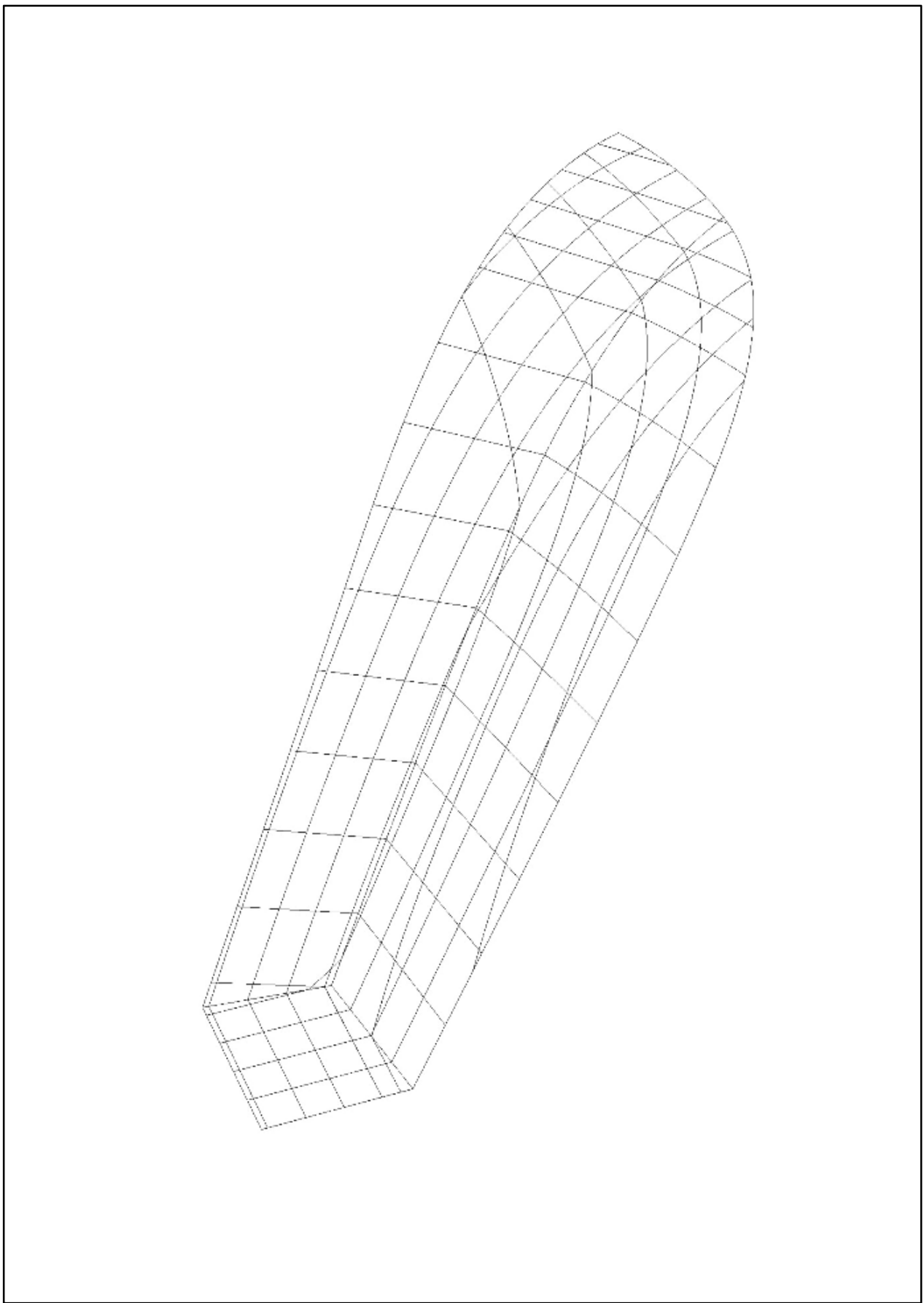
Tabela 1 - Osnovne izmjere formi

Forma	Loa [m]	LVL [m]	B0A [m]	BVL [m]	H [m]	T <sub>0</sub> [m]	Ν [m <sup>3</sup> ]	Δ [kg]
F1	11.584	9.969	4.012	3.478	2.443	0.550	7.046	7228
F2	11.462	9.999	4.433	3.467	2.127	0.623	8.876	9106
F3	11.672	10.008	4.110	3.518	2.445	0.717	8.739	8966
F4	10.490	10.005	3.789	3.301	2.148	0.739	10.374	10643
F5	11.561	10.002	4.222	3.732	2.218	0.609	7.699	7898
F6	10.253	9.997	3.597	3.223	1.535	0.648	9.027	9261
F7	11.272	9.957	4.528	3.954	2.726	0.701	9.756	10008
F8	11.018	9.991	3.455	3.204	1.951	0.631	8.847	9076
F9	10.542	10.001	3.430	3.204	1.384	0.648	8.362	8579
F10	11.332	10.003	4.009	3.425	1.745	0.660	11.572	11872

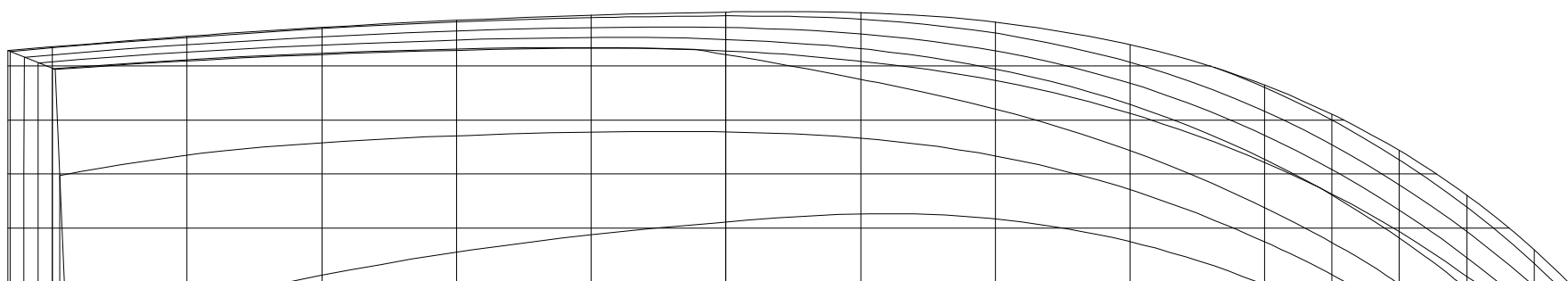
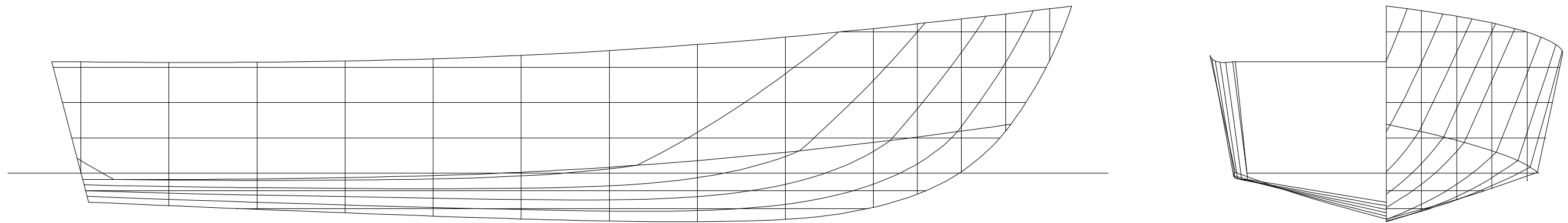
## 2.1 Forma F1



### Slika 3-Predložak za formu F1



Slika 4 - 3D prikaz linija forme F1



**Glavne izmjere**

**Loa=** 11.58 m  
**Lwl=** 9.97 m  
**Boa=** 4.01 m  
**Bwl=** 3.48 m  
**T=** 0.55 m  
**H=** 2.44 m

**Istisnina** 7230 kg

	Datum	Ime i prezime	Potpis	
Projektirao		Marin Valerjev		
Razradio				
Crtao				
Pregledao				
Objekt :				
Forma s hidrodinamičkim uzgonom			Objekt br.	
			F1	
			Listova	Mjerilo
			1	1:50
				Str. 20



FSB Zagreb

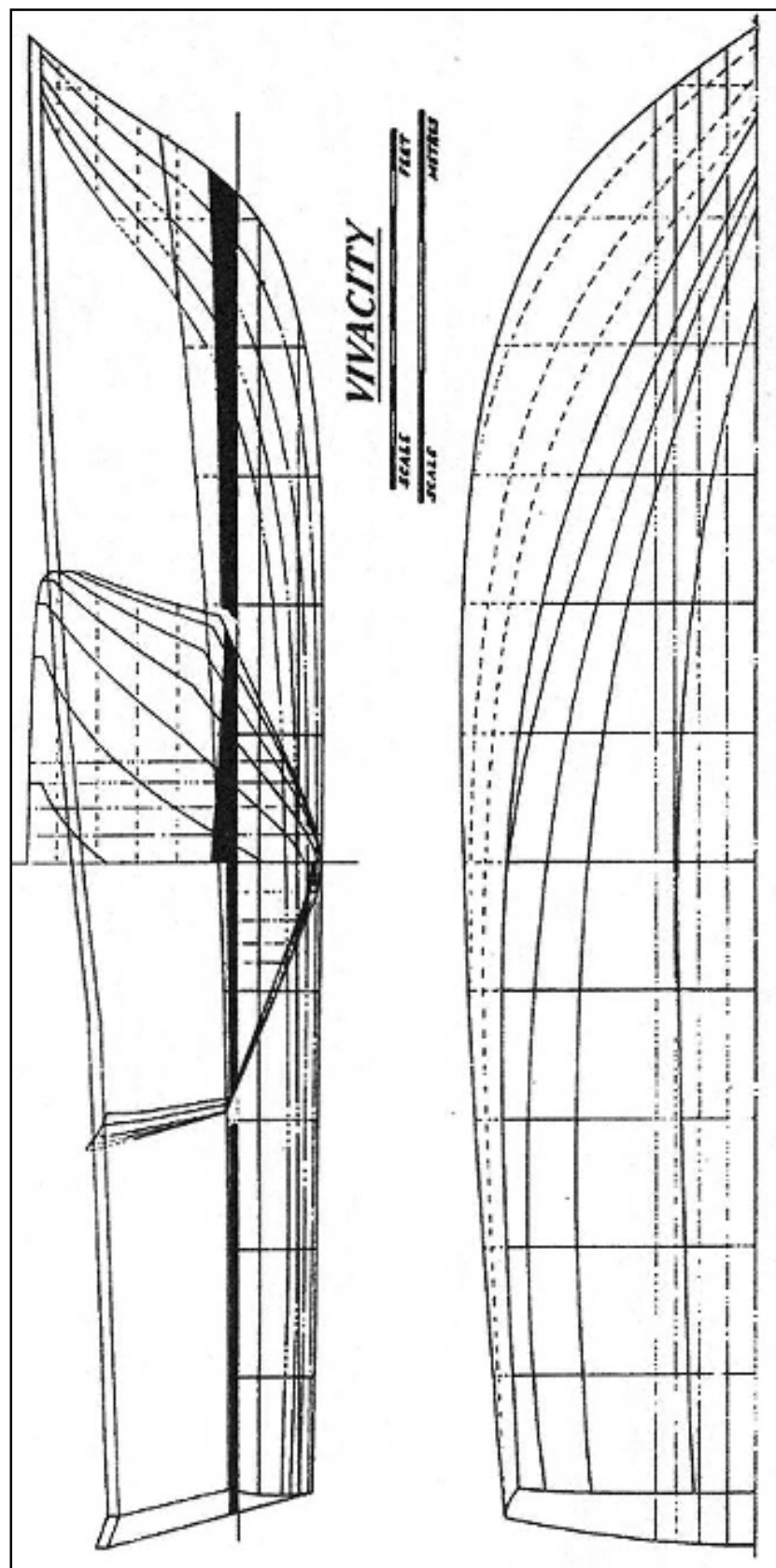
Tabela 2-Očitanja F1

Forma: Jedinice:		TABLICA OČITANJA																												
		Vodne I. POLUŠIRINE																												
Rebra		Vodne I.	Vodne I.	Vodne I.	Vodne I.	Vodne I.	Vodne I.	Vodne I.	Vodne I.	Vodne I.	Vodne I.	Vodne I.	Vodne I.	Vodne I.	Vodne I.	Vodne I.	Vodne I.	Vodne I.	Vodne I.	Vodne I.	Vodne I.	Vodne I.	Vodne I.	Statva- Dno	Razma	Zgib	Rebra			
<b>0.000</b>																											1.744	<b>0.000</b>		
<b>1.000</b>																											0.000	1.821	1.639	<b>1.000</b>
<b>2.000</b>																											0.000	1.888	1.686	<b>2.000</b>
<b>3.000</b>																											0.000	1.940	1.718	<b>3.000</b>
<b>4.000</b>																											0.000	1.977	1.734	<b>4.000</b>
<b>5.000</b>																											0.000	2.002	1.714	<b>5.000</b>
<b>6.000</b>																											0.000	1.998	1.637	<b>6.000</b>
<b>7.000</b>																											0.000	1.927	1.495	<b>7.000</b>
<b>8.000</b>																											0.000	1.759	1.251	<b>8.000</b>
<b>9.000</b>																											0.000	1.461	0.886	<b>9.000</b>
<b>9.500</b>																											0.000	1.243	0.652	<b>9.500</b>
<b>10.000</b>																											0.000	0.974	0.374	<b>10.000</b>
<b>10.500</b>																											0.000	0.646	0.043	<b>10.500</b>
<b>11.000</b>																											0.011	0.055	0.000	<b>11.000</b>

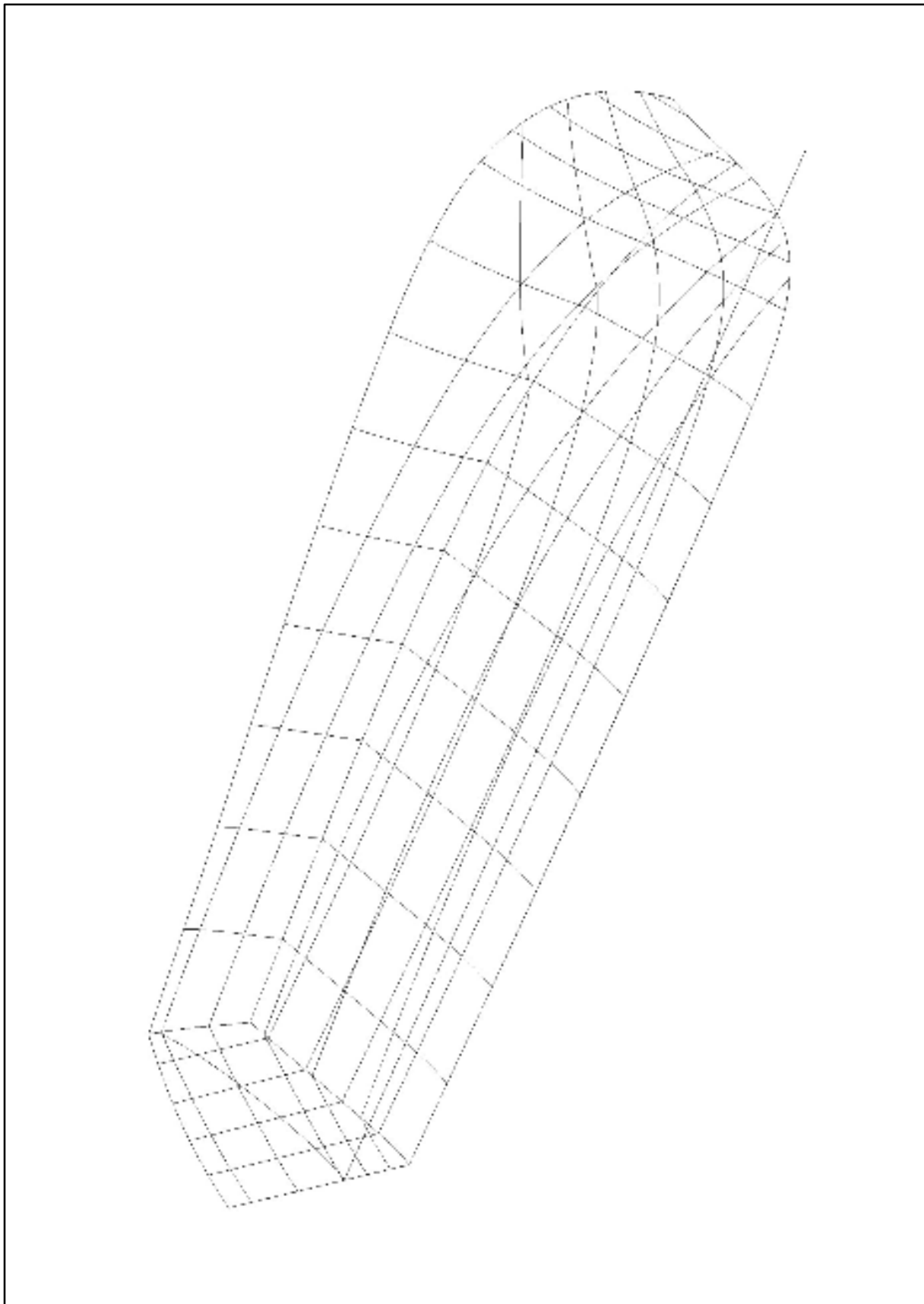
Forma: Jedinice:		Uzdužnice - VISINE												Statva- Dno				Razma				Zgib				Rebra			
Rebra		Uzd.	Uzd.	Uzd.	Uzd.	Uzd.	Uzd.	Uzd.	Uzd.	Uzd.	Uzd.	Uzd.	Uzd.	Uzd.	Uzd.	Uzd.	Uzd.	Uzd.	Uzd.	Uzd.	Uzd.	Uzd.	Uzd.	Uzd.	Uzd.	Uzd.			
<b>0.000</b>		0.000	0.000	0.001	0.001	0.001	0.001	0.002	0.002	0.143								1.260								<b>0.000</b>			
<b>1.000</b>		-0.333	-0.297	-0.262	-0.225	-0.189	-0.153	-0.116	-0.079	1.101	-0.368	1.255	-0.072													<b>1.000</b>			
<b>2.000</b>		-0.370	-0.330	-0.289	-0.248	-0.207	-0.166	-0.124	-0.083	0.681	-0.410	1.257	-0.064													<b>2.000</b>			
<b>3.000</b>		-0.405	-0.360	-0.314	-0.267	-0.220	-0.173	-0.125	-0.078	0.435	-0.449	1.270	-0.050													<b>3.000</b>			
<b>4.000</b>		-0.437	-0.387	-0.336	-0.284	-0.230	-0.176	-0.121	-0.065	0.331	-0.486	1.296	-0.028													<b>4.000</b>			
<b>5.000</b>		-0.466	-0.412	-0.357	-0.298	-0.237	-0.171	-0.103	-0.031	0.405	-0.518	1.334	0.011													<b>5.000</b>			
<b>6.000</b>		-0.488	-0.431	-0.370	-0.302	-0.227	-0.143	-0.051	0.049	0.654	-0.543	1.388	0.068													<b>6.000</b>			
<b>7.000</b>		-0.489	-0.424	-0.351	-0.266	-0.166	-0.051	0.079	0.461	1.064	-0.550	1.456	0.143													<b>7.000</b>			
<b>8.000</b>		-0.443	-0.353	-0.249	-0.126	0.020	0.190	0.611	1.125		-0.524	1.541	0.236													<b>8.000</b>			
<b>9.000</b>		-0.267	-0.125	0.043	0.246	0.603	1.051	1.501		-0.387	1.639	0.348														<b>9.000</b>			
<b>9.500</b>		-0.083	0.106	0.339	0.730	1.165	1.599		-0.238	1.692	0.410															<b>9.500</b>			
<b>10.000</b>		0.231	0.528	0.942	1.369				0.018	1.747	0.476															<b>10.000</b>			
<b>10.500</b>		0.837	1.252	1.698					0.474	1.804	0.545															<b>10.500</b>			
<b>11.000</b>		1.756							1.274	1.862																<b>11.000</b>			

TRANSOM	x	y	z
Simetrala	-0.3327	0	1.2638
	-0.0865	0	0.3285
Bok	0.01934	1.5746	0.0715

## 2.2 Forma F2



Slika 6-Predložak forme F2



Slika 7-3D prikaz linija forme F2

Str.	24
Mjedilo	1.50
Lislova	1
F2	Forma s hidrodinamickim uzgonom
Objekt br.	Objekt
Pregledač	Pregledač
Crtao	Crtao
Razradio	Razradio
Projektilač	Projektilač
Marin Valenjev	ime i prezime
Datum	Datum
FSB Zagreb	Objekt br.
Logo	Forma s hidrodinamickim uzgonom
Str.	24

Glavne izmjere

Loa= 11.46 m  
LWI= 9.99 m  
Boa= 4.43 m  
BWI= 3.47 m  
T= 0.62 m  
H= 2.13 m  
Istisnina 9110 kg

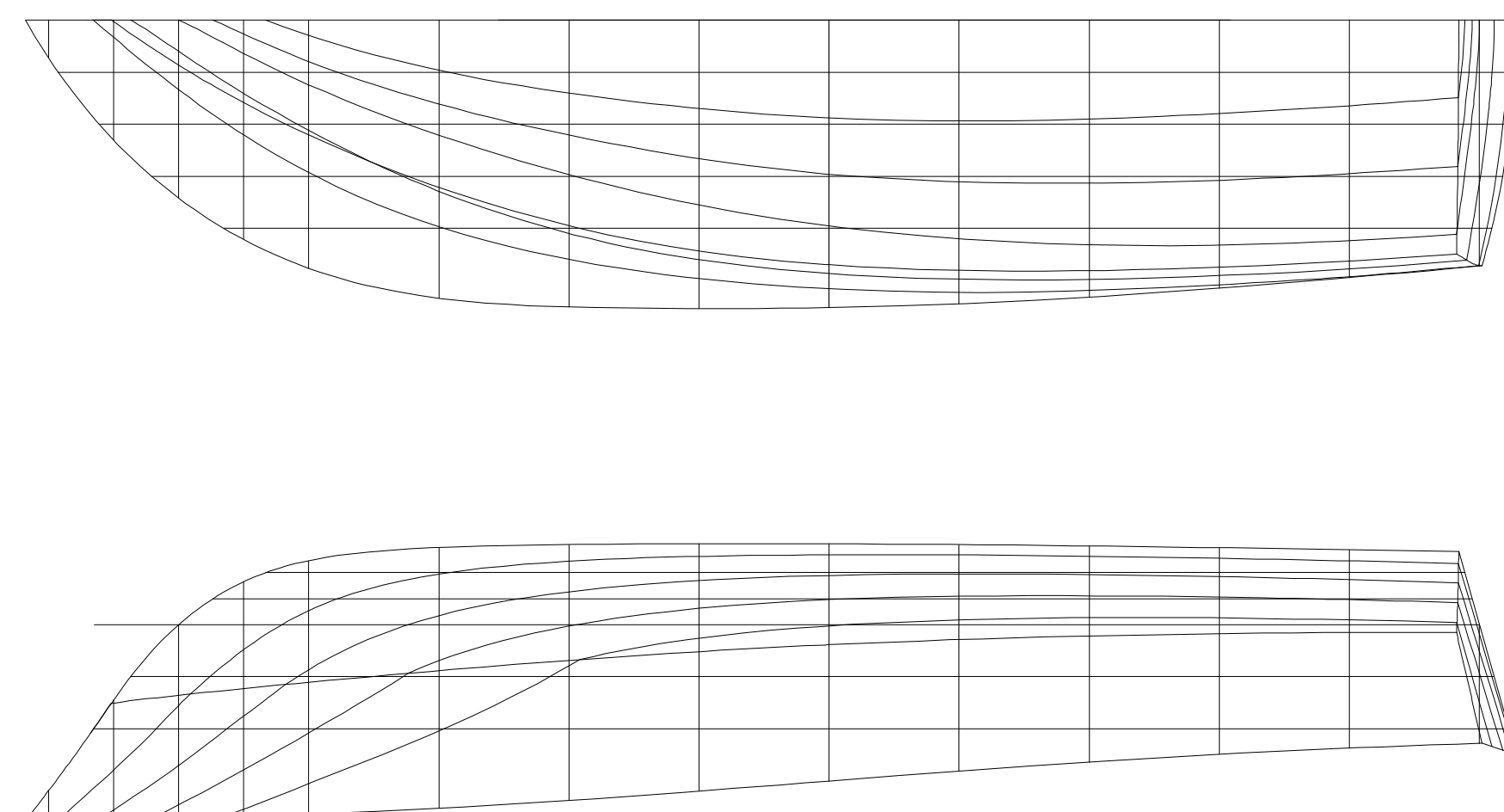
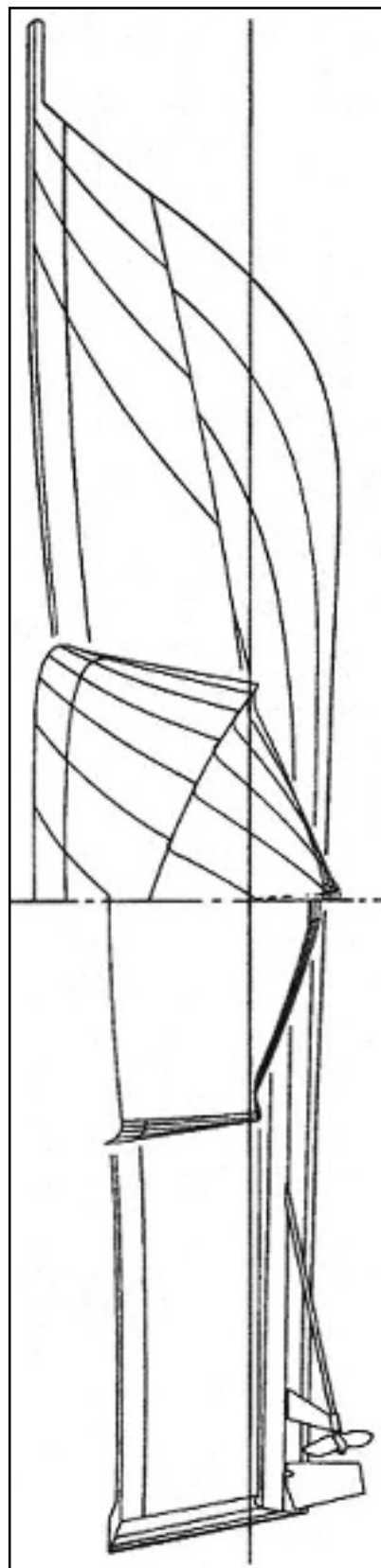


Tabela 3-Očitanja F2

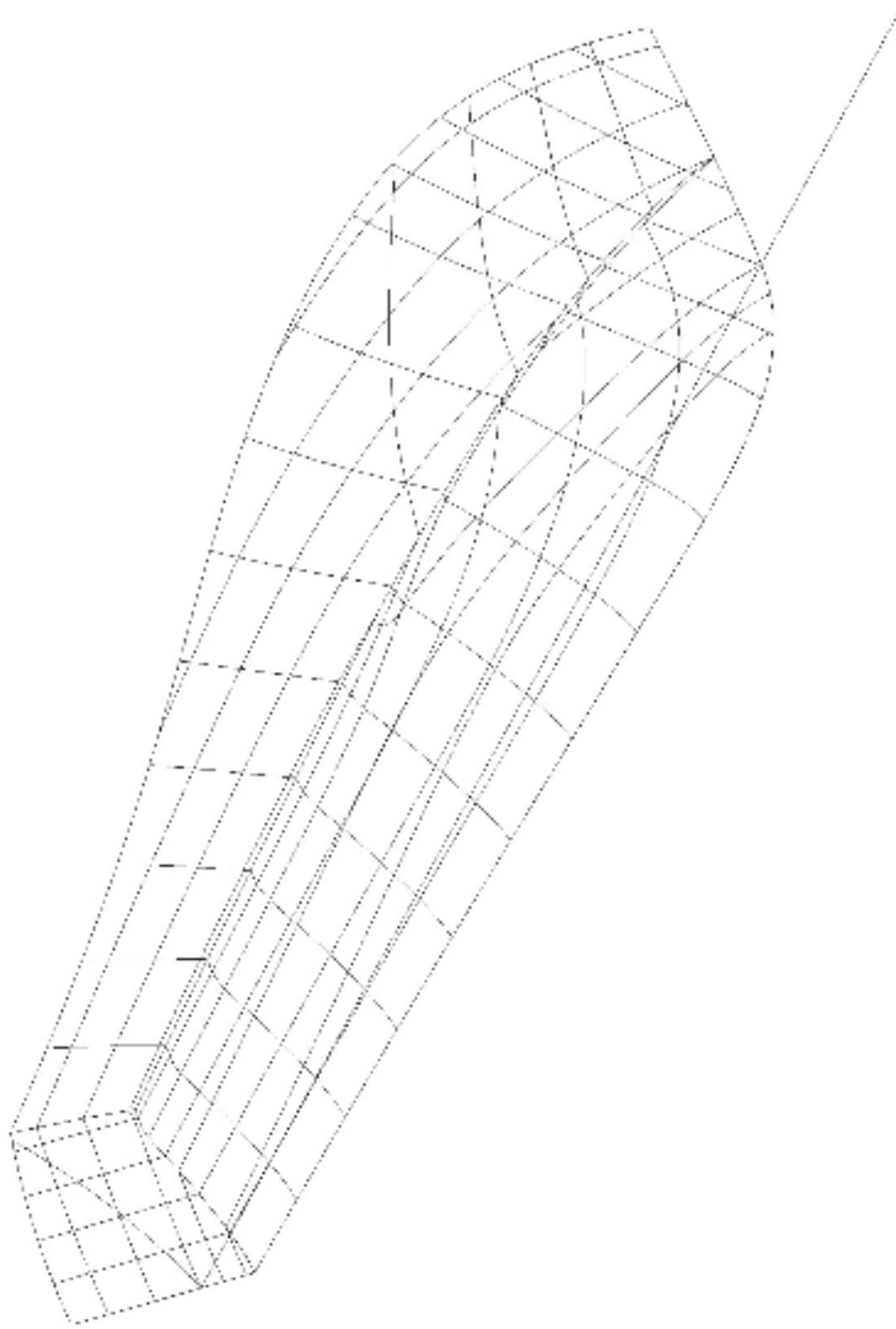
		TABLICA OČITANJA																															
Forma: Jedinice		Vodne linije - poluširine																															
rebra	I.	Vodne I.	Vodne I.	Vodne I.	Vodne I.	Vodne I.	Vodne I.	Vodne I.	Vodne I.	Vodne I.	Vodne I.	Vodne I.	Vodne I.	Vodne I.	Vodne I.	Vodne I.	Vodne I.	Vodne I.	Vodne I.	Vodne I.	Vodne I.	Vodne I.	Vodne I.	Vodne I.	Statva	Dno	rebra						
		-0.500	-0.400	-0.300	-0.200	-0.100	0.000	0.100	0.200	0.300	0.400	0.500	0.600	0.700	0.800	0.900	1.000	1.100	1.200	1.300	1.400	1.500	razma	Zgib	Dno	rebra							
<b>0.000</b>																											1.890		<b>0.000</b>				
<b>1.000</b>	0.370	0.657	0.921	1.179	1.436	1.694	1.858	1.876	1.894	1.912	1.930	1.946	1.960	1.971	1.977											1.978	1.852	0.000	<b>1.000</b>				
<b>2.000</b>	0.434	0.718	0.978	1.231	1.481	1.730	1.905	1.924	1.944	1.964	1.983	2.002	2.019	2.035	2.048											2.059	1.900	0.000	<b>2.000</b>				
<b>3.000</b>	0.485	0.760	1.010	1.253	1.492	1.726	1.928	1.949	1.970	1.993	2.015	2.036	2.058	2.078	2.098	2.118										2.129	1.925	0.000	<b>3.000</b>				
<b>4.000</b>	0.511	0.775	1.013	1.241	1.463	1.679	1.892	1.943	1.967	1.992	2.016	2.041	2.067	2.092	2.119	2.146	2.173									2.180	1.923	-0.001	<b>4.000</b>				
<b>5.000</b>	0.504	0.751	0.974	1.184	1.386	1.583	1.776	1.893	1.920	1.948	1.976	2.004	2.034	2.065	2.097	2.132	2.169	2.208								2.209	1.881	-0.001	<b>5.000</b>				
<b>6.000</b>	0.462	0.679	0.877	1.064	1.245	1.421	1.594	1.764	1.807	1.841	1.875	1.910	1.947	1.986	2.027	2.071	2.118	2.171								2.217	1.775	-0.001	<b>6.000</b>				
<b>7.000</b>	0.377	0.560	0.725	0.883	1.036	1.186	1.333	1.476	1.592	1.639	1.687	1.736	1.787	1.839	1.895	1.954	2.017	2.087	2.163							2.206	1.580	-0.001	<b>7.000</b>				
<b>8.000</b>	0.230	0.385	0.519	0.644	0.765	0.883	1.000	1.114	1.226	1.314	1.379	1.447	1.516	1.587	1.662	1.742	1.827	1.918	2.017	2.126						2.137	1.284	0.000	<b>8.000</b>				
<b>9.000</b>		0.117	0.223	0.318	0.408	0.496	0.584	0.671	0.759	0.846	0.926	1.004	1.086	1.172	1.262	1.358	1.462	1.574	1.696	1.829						1.906	0.883	0.000	<b>9.000</b>				
<b>9.500</b>			0.026	0.106	0.182	0.256	0.330	0.406	0.483	0.562	0.642	0.718	0.798	0.882	0.973	1.072	1.180	1.299	1.430	1.574						1.685	0.635	0.000	<b>9.500</b>				
<b>10.000</b>						0.000	0.053	0.111	0.173	0.240	0.313	0.386	0.457	0.534	0.619	0.714	0.821	0.940	1.073	1.225						1.367	0.345	0.000	<b>10.000</b>				
<b>10.500</b>																0.012	0.069	0.132	0.204	0.286	0.382	0.491	0.616	0.762						0.922	0.013	0.000	<b>10.500</b>
<b>11.000</b>																											0.025	0.145	0.287	0.291	0.000	<b>11.000</b>	

		TABLICA OČITANJA																										
Forma: Jedinice		Uzdužnice - visine																										
rebra	I.	Uzd.	Uzd.	Uzd.	Uzd.	Uzd.	Uzd.	Uzd.	Uzd.	Uzd.	Uzd.	Uzd.	Uzd.	Uzd.	Uzd.	Uzd.	Uzd.	Uzd.	Uzd.	Uzd.	Uzd.	Uzd.	Uzd.	Uzd.	Uzd.	Statva	Dno	rebra
		0.200	0.400	0.600	0.800	1.000	1.200	1.400	1.600	1.800	2.000	razma	Zgib	Dno														
<b>0.000</b>		0.023	0.072	0.135	0.207	0.287	0.376	0.477	0.596	0.745		0.912																<b>0.000</b>
<b>1.000</b>		-0.547	-0.491	-0.421	-0.346	-0.270	-0.192	-0.114	-0.036	0.040		0.949	0.060	-0.576														<b>1.000</b>
<b>2.000</b>		-0.564	-0.511	-0.443	-0.369	-0.291	-0.212	-0.133	-0.052	0.028	0.590	0.997	0.069	-0.592														<b>2.000</b>
<b>3.000</b>		-0.578	-0.527	-0.460	-0.384	-0.304	-0.222	-0.139	-0.054	0.032	0.434	1.056	0.086	-0.605														<b>3.000</b>
<b>4.000</b>		-0.588	-0.536	-0.468	-0.390	-0.306	-0.218	-0.129	-0.037	0.057	0.434	1.126	0.114	-0.616														<b>4.000</b>
<b>5.000</b>		-0.594	-0.537	-0.463																								

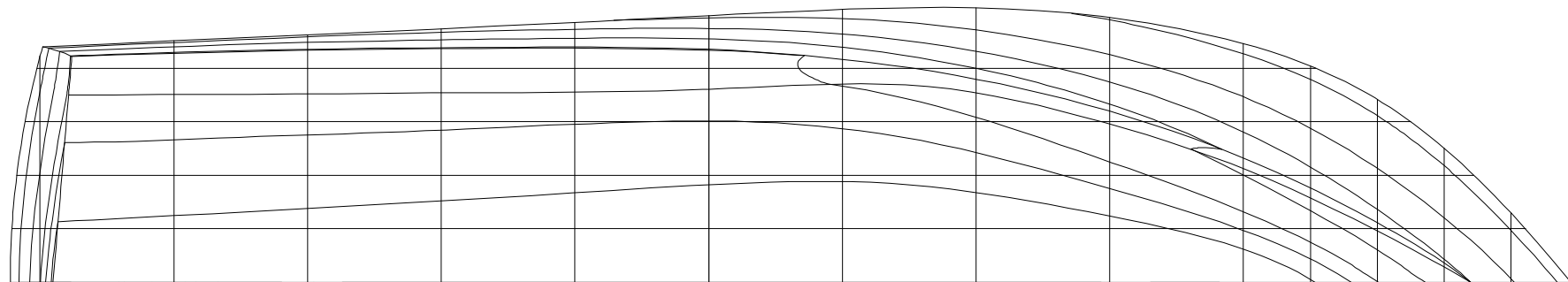
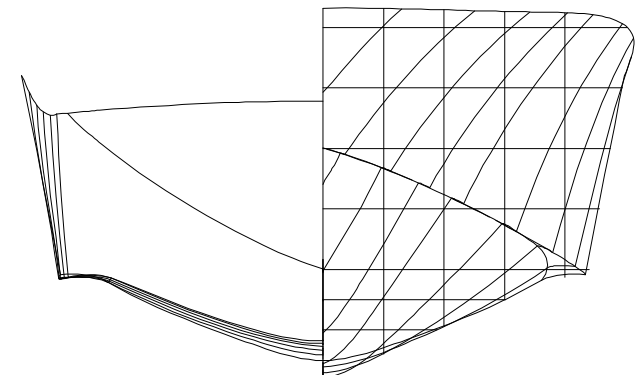
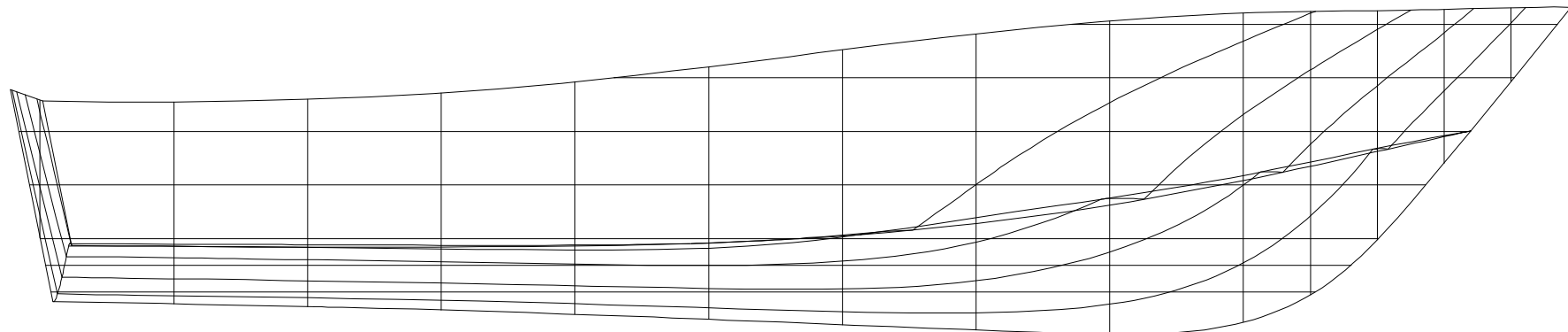
## 2.3 Forma F3



Slika 9-Predložak forme F3



Slika 10-3D prikaz linija forme F3



**Glavne izmjere**

**Loa= 11.67 m**  
**Lwl= 10.01 m**  
**Boa= 4.11 m**  
**Bwl= 3.52 m**  
**T= 0.72 m**  
**H= 2.13 m**

Istisnina 8970 kg

	Datum	Ime i prezime	Potpis	
Projektirao		Marin Valerjev		
Razradio				
Crtao				
Pregledao				
Objekt			Objekt br.	
Forma broda s hidrodinamičkim uzgonom			F3	
	Listova 1	Mjerilo 1:50	Str. 28	



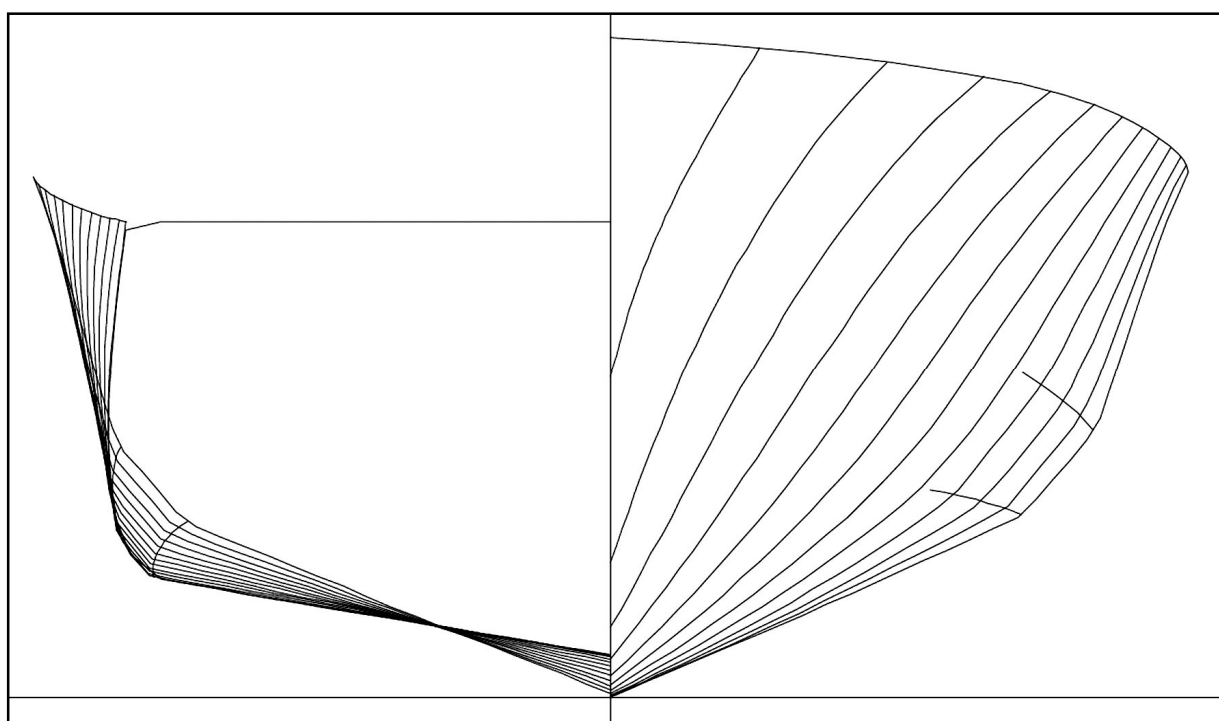
FSB Zagreb

Tabela 4-Očitanja F3

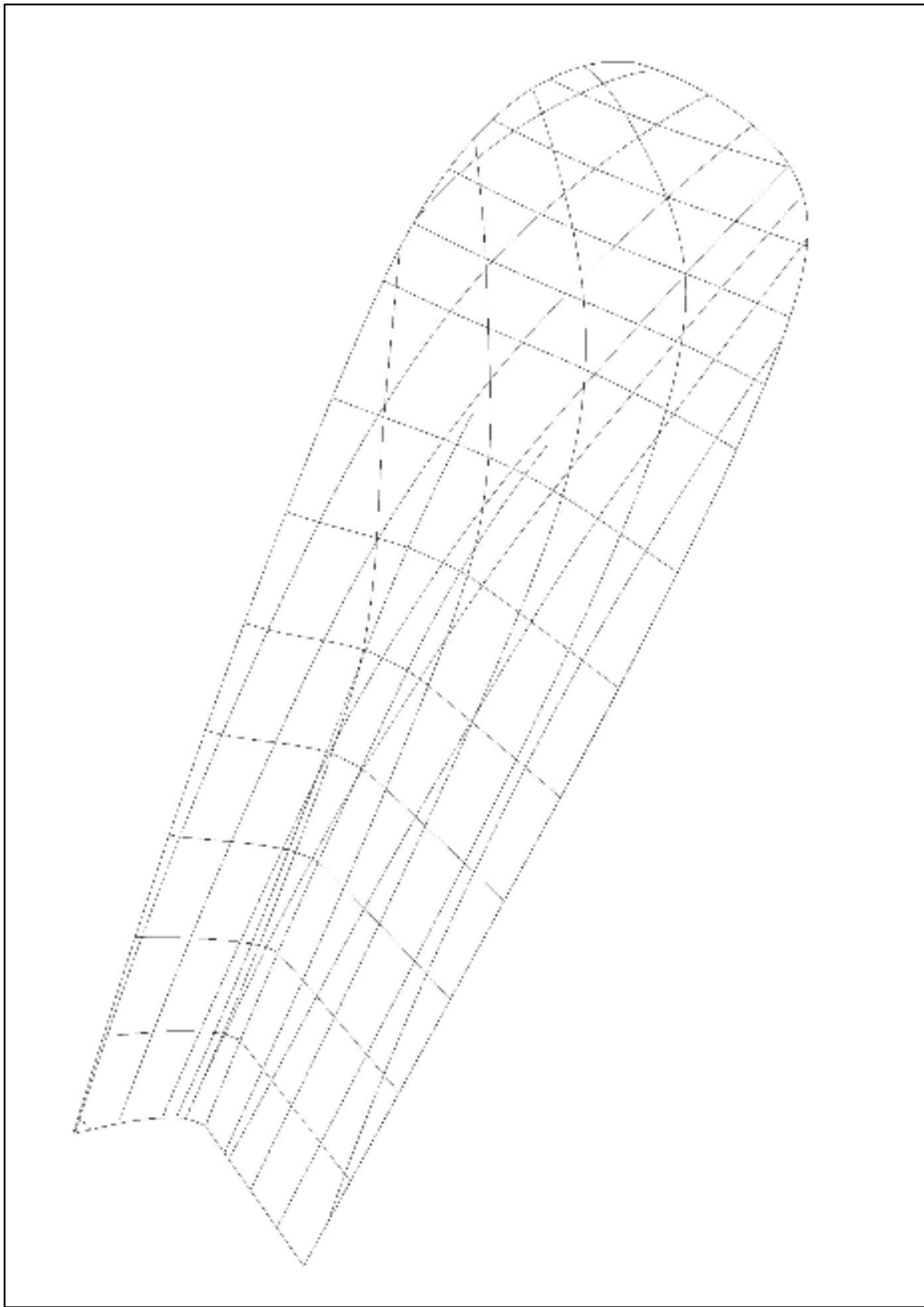
Forma: Jedinice:		TABELA OČITANJA																							
		Vodne linije - poluširine																							
Rebro		Vodne I.	Vodne I.	Vodne I.	Vodne I.	Vodne I.	Vodne I.	Vodne I.	Vodne I.	Vodne I.	Vodne I.	Vodne I.	Vodne I.	Vodne I.	Vodne I.	Vodne I.	Vodne I.	Vodne I.	Statva- Dno	Vanjski zgib	Unutarnji zgib	Razma			
0.000		-0.500	-0.400	-0.300	-0.200	-0.100	0.000	0.100	0.200	0.300	0.400	0.500	0.600	0.700	0.800	0.900	1.000	1.100	1.200	1.400		0.000	0.000		
1.000		0.497	0.803	1.064	1.303	1.719	1.731	1.742	1.752	1.761	1.769	1.777	1.785	1.792	1.798	1.803		0.000	1.712	1.402	1.805	1.000			
2.000		0.118	0.550	0.845	1.101	1.336	1.742	1.755	1.767	1.780	1.792	1.805	1.816	1.826	1.835	1.842	1.848		0.000	1.735	1.408	1.849	2.000		
3.000		0.247	0.608	0.891	1.138	1.368	1.754	1.767	1.781	1.796	1.812	1.827	1.842	1.856	1.869	1.880	1.889		0.000	1.746	1.415	1.895	3.000		
4.000		0.359	0.669	0.941	1.181	1.393	1.758	1.774	1.790	1.807	1.824	1.841	1.858	1.875	1.891	1.907	1.921	1.934		0.000	1.750	1.421	1.943	4.000	
5.000		0.454	0.729	0.983	1.206	1.396	1.742	1.761	1.780	1.800	1.819	1.839	1.858	1.878	1.898	1.917	1.937	1.957	1.977		0.000	1.735	1.443	1.993	5.000
6.000		0.522	0.753	0.961	1.149	1.317	1.467	1.686	1.710	1.733	1.757	1.781	1.805	1.830	1.856	1.883	1.911	1.941	1.971	2.037	0.000	1.668	1.483	2.040	6.000
7.000		0.503	0.670	0.825	0.969	1.105	1.233	1.353	1.543	1.571	1.599	1.630	1.661	1.694	1.728	1.764	1.803	1.844	1.887	1.983	0.000	1.518	1.417	2.052	7.000
8.000		0.391	0.496	0.599	0.701	0.801	0.900	0.996	1.089	1.181	1.332	1.370	1.410	1.452	1.496	1.543	1.593	1.645	1.701	1.822	0.000	1.278	1.183	1.979	8.000
9.000		0.163	0.246	0.317	0.387	0.457	0.526	0.595	0.664	0.732	0.801	0.961	1.012	1.067	1.124	1.184	1.248	1.315	1.386	1.538	0.000	0.928	0.849	1.784	9.000
9.500		0.022	0.106	0.175	0.238	0.299	0.360	0.419	0.478	0.535	0.591	0.739	0.798	0.861	0.928	0.999	1.073	1.152	1.324	0.000	0.704	0.631	1.617	9.500	
10.000		0.006	0.064	0.126	0.186	0.243	0.298	0.349	0.478	0.544	0.614	0.689	0.768	0.851	0.1035	0.000	0.445	0.383	1.367	10.000					
10.500		0.017	0.080	0.173	0.245	0.320	0.399	0.482	0.663	0.000	0.000	0.143	0.114	1.002	10.500										
11.000		0.026	0.200	0.000	0.519	11.000																			

Forma: Jedinice:		TABELA OČITANJA																				
		Uzdužnice - visine																				
Rebro		Uzd. 0.200	Uzd. 0.400	Uzd. 0.400	Uzd. 0.600	Uzd. 0.600	Uzd. 0.800	Uzd. 0.800	Uzd. 1.000	Uzd. 1.200	Uzd. 1.400	Uzd. 1.600	Uzd. 1.800	Statva- Dno	Vanjski zgib	Unutarnji zgib	Razma	Rebro				
0.000		0.073	0.162	0.263	0.263	0.374	0.495	0.628	0.775	0.940									0.000			
1.000		-0.475	-0.429	-0.368		-0.301	-0.226	-0.143	-0.059	-0.043	0.938	-0.488	-0.060	-0.058	1.020			1.000				
2.000		-0.488	-0.443	-0.384		-0.316	-0.241	-0.159	-0.072	-0.047	0.461	-0.509	-0.064	-0.068	1.039			2.000				
3.000		-0.509	-0.462	-0.402		-0.334	-0.257	-0.173	-0.086	-0.051	0.325	-0.534	-0.063	-0.079	1.087			3.000				
4.000		-0.540	-0.488	-0.423		-0.353	-0.277	-0.192	-0.096	-0.050	0.260	-0.566	-0.057	-0.086	1.170			4.000				
5.000		-0.577	-0.519	-0.448		-0.373	-0.293	-0.203	-0.098	-0.034	0.301	-0.604	-0.034	-0.072	1.282			5.000				
6.000		-0.613	-0.549	-0.467		-0.378	-0.280	-0.171	-0.046	0.025	0.579	-0.644	0.019	0.011	1.408			6.000				
7.000		-0.644	-0.557	-0.443		-0.316	-0.178	-0.026	0.140	0.402	0.993	-0.684	0.111	0.155	1.528			7.000				
8.000		-0.649	-0.492	-0.299		-0.101	0.105	0.298	0.575	1.014	1.365	-0.718	0.250	0.302	1.625			8.000				
9.000		-0.458	-0.181	0.107		0.399	0.577	0.925	1.219	1.475		-0.626	0.433	0.471	1.684			9.000				
9.500		-0.162	0.168	0.515		0.703	1.002	1.258	1.482	1.680		-0.422	0.538	0.571	1.696			9.500				
10.000		0.324	0.669	0.880		1.139	1.364	1.559														

## 2.4 Forma F4



Slika 12-Predložak forme F4



Slika 13-3D prikaz linija forme F4

Str.	32
Mjerilo	1:50
Lislova	1
Objekt br.	F4
Objekt	Forma broda s hidrodinamickim uzgonom
Pregleđao	
Crtao	
Razradilo	
Projektilao	Martin Vajerjev
Datum	ime i prezime
Potpis	
Projektilao	Martin Vajerjev
Razradilo	
Crtao	
Pregleđao	
Objekt	Forma broda s hidrodinamickim uzgonom
Str.	32

**FSB Zagreb**

**Glavne izmjere**

**Istisnina 10640 kg**

$L_{oa} = 10.49 \text{ m}$   
 $L_{wi} = 10.01 \text{ m}$   
 $B_{oa} = 3.79 \text{ m}$   
 $B_{wi} = 3.30 \text{ m}$   
 $T = 0.74 \text{ m}$   
 $H = 2.15 \text{ m}$

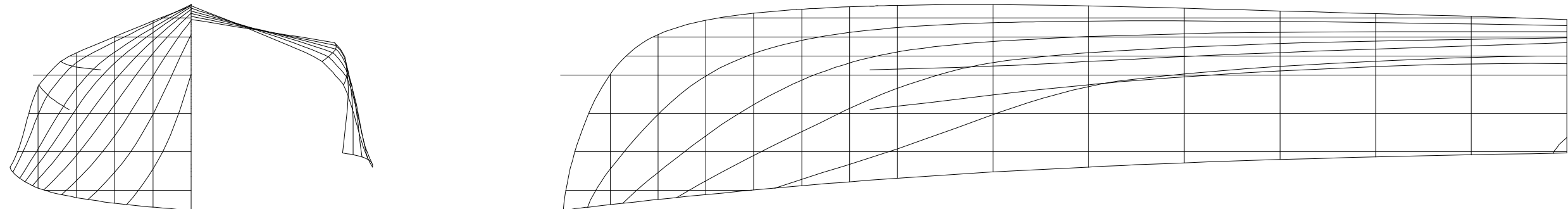
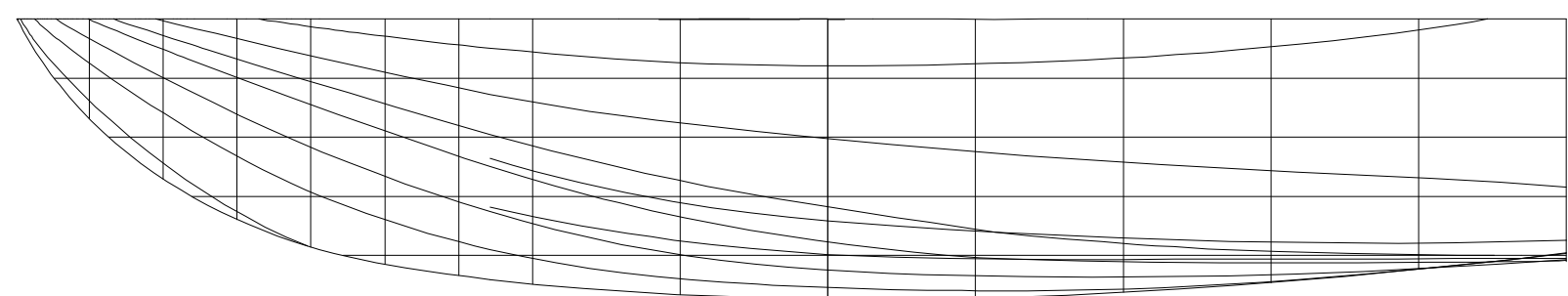
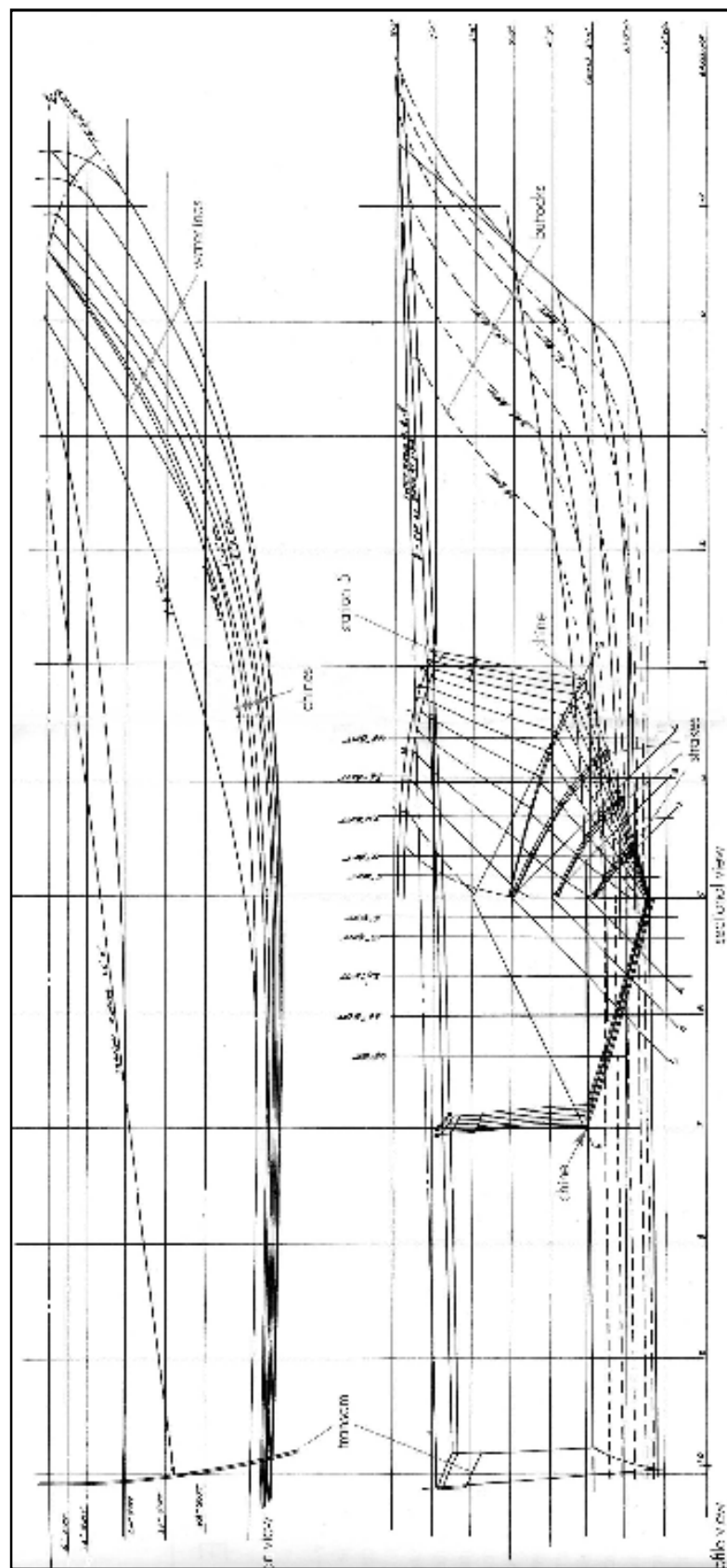



Tabela 5-Očitanja F4

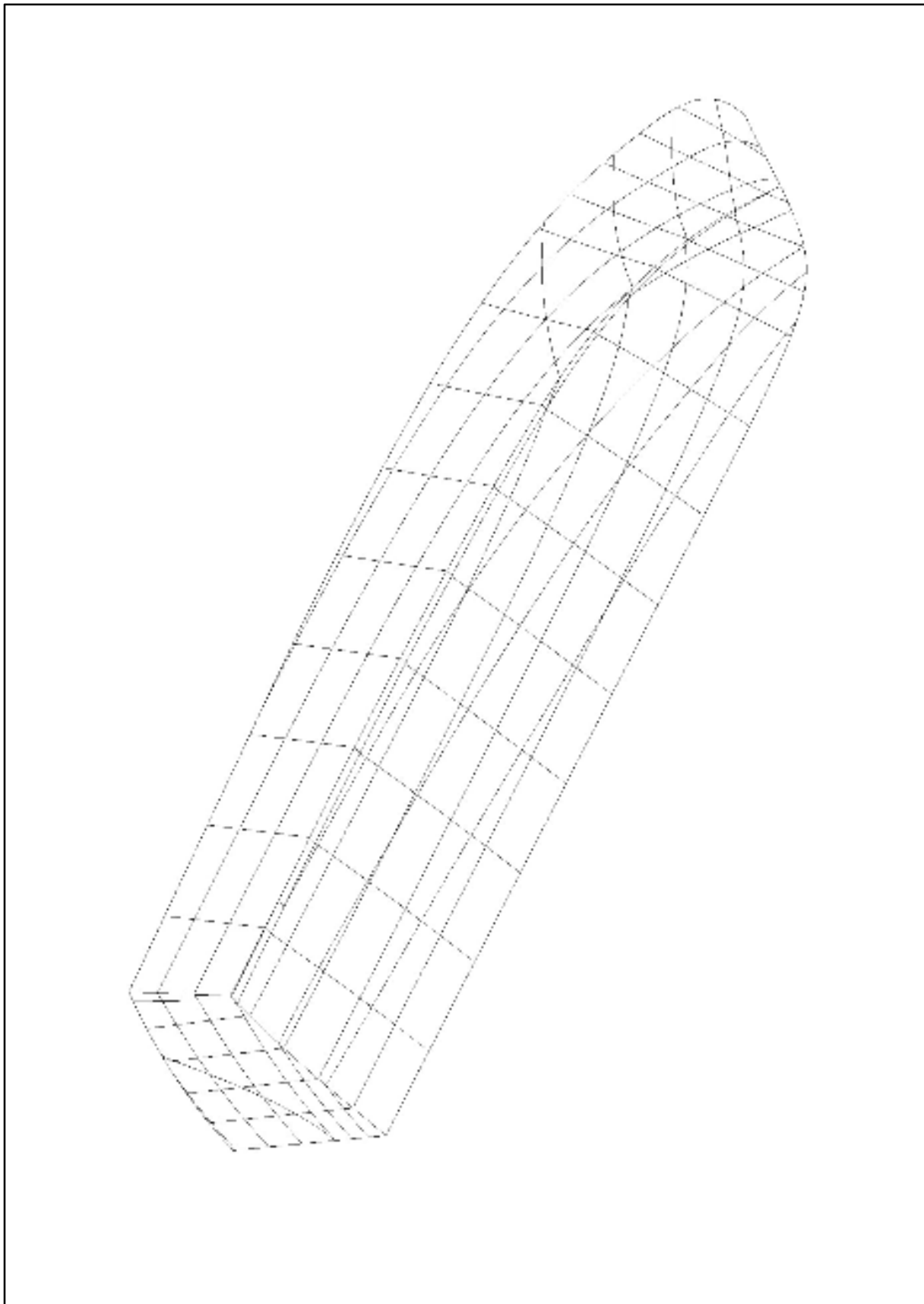
Forma:		F4		TABLICA OČITANJA																							
Jedinica		[m]																									
		Vodne linije - poluširine																									
Rebro	Vodne I.	Vodne I.	Vodne I.	Vodne I.	Vodne I.	Vodne I.	Vodne I.	Vodne I.	Vodne I.	Vodne I.	Vodne I.	Vodne I.	Vodne I.	Vodne I.	Vodne I.	Vodne I.	Vodne I.	Vodne I.	Vodne I.	Vodne I.	Statva- Dno	Vanjski zgib	Unutarnji zgib	Rebro			
0.001	0.516	1.136	1.535	1.600	1.624	1.634	1.639	1.640	1.636	1.628	1.618	1.606	1.594	1.584							1.583	0.000	1.620	1.497	0.001		
1.000	0.075	0.580	1.075	1.524	1.594	1.626	1.648	1.664	1.676	1.684	1.689	1.691	1.691	1.691	1.692						1.694	0.000	1.621	1.515	1.000		
2.000	0.188	0.612	1.025	1.419	1.572	1.620	1.651	1.676	1.698	1.715	1.730	1.742	1.753	1.764	1.776						1.784	0.000	1.623	1.510	2.000		
3.000	0.264	0.621	0.969	1.300	1.518	1.595	1.642	1.674	1.702	1.725	1.746	1.765	1.784	1.803	1.826						1.849	0.000	1.626	1.482	3.000		
4.000	0.303	0.605	0.898	1.178	1.422	1.525	1.612	1.656	1.688	1.715	1.738	1.760	1.782	1.807	1.838	1.880					1.887	0.000	1.624	1.434	4.000		
5.000	0.317	0.563	0.807	1.051	1.271	1.413	1.507	1.593	1.634	1.669	1.699	1.726	1.752	1.782	1.817	1.862					1.893	0.000	1.592	1.366	5.000		
6.000	0.294	0.499	0.702	0.903	1.093	1.239	1.338	1.421	1.497	1.549	1.595	1.636	1.676	1.716	1.759	1.806	1.859				1.865	0.000	1.501	1.243	6.000		
7.000	0.223	0.396	0.562	0.717	0.858	0.983	1.085	1.170	1.249	1.320	1.383	1.443	1.502	1.560	1.621	1.682	1.745				1.793	0.000	1.335	1.025	7.000		
7.500	0.176	0.324	0.465	0.597	0.720	0.830	0.928	1.016	1.095	1.168	1.236	1.302	1.368	1.436	1.507	1.579	1.653	1.727			1.736	0.000			7.500		
8.000	0.115	0.240	0.358	0.469	0.572	0.667	0.756	0.839	0.917	0.992	1.064	1.135	1.207	1.280	1.357	1.438	1.523	1.612			1.660	0.000			8.000		
8.500	0.051	0.153	0.249	0.339	0.423	0.503	0.579	0.653	0.725	0.797	0.868	0.940	1.014	1.090	1.170	1.255	1.345	1.441			1.542	0.000			8.500		
9.000		0.058	0.132	0.203	0.270	0.334	0.396	0.457	0.518	0.580	0.644	0.709	0.778	0.851	0.929	1.011	1.101	1.198	1.304		1.356	0.000			9.000		
9.500		0.013	0.063	0.111	0.158	0.205	0.251	0.298	0.346	0.396	0.449	0.506	0.568	0.635	0.708	0.788	0.877	0.976			1.082	0.000			9.500		
10.000											0.004	0.035	0.066	0.098	0.132	0.168	0.207	0.250	0.299	0.353	0.414	0.480	0.552	0.631	0.674	0.000	10.000

Pramac	x	y	z
Razma	10.49	0	1.409
Vanjski z.	7.288	1.274	0.358
Unut. z.	7.288	0.944	-0.056

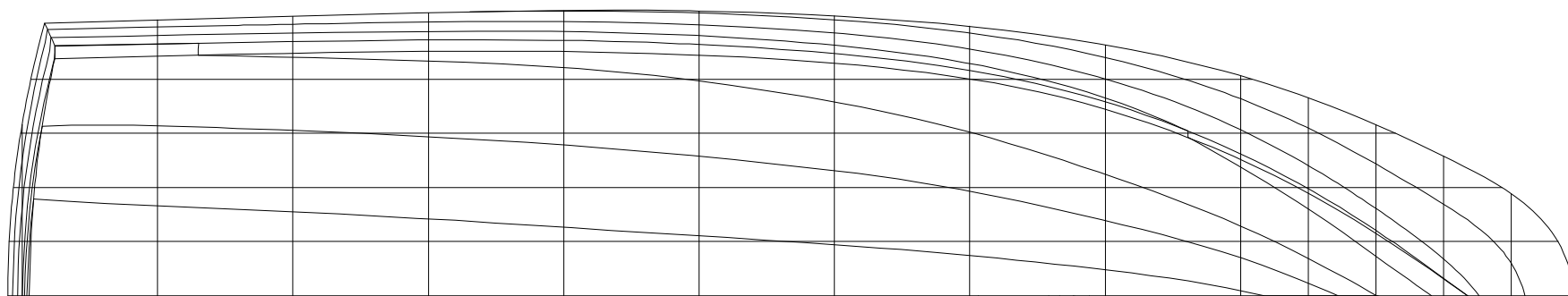
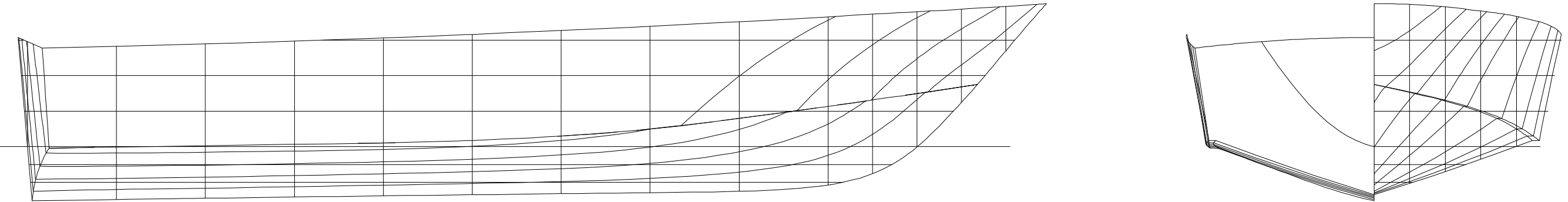
## 2.5 Forma F5



Slika 15-Predložak forme F5



Slika 16-3D prikaz linija forme F5



**Glavne izmjere**

**Loa=** 11.56 m  
**Lwl=** 10.00 m  
**Boa=** 4.22 m  
**Bwl=** 3.73 m  
**T=** 0.61 m  
**H=** 2.22 m

**Istisnina** 7800 kg

	Datum	Ime i prezime	Potpis			
Projektirao		Marin Valerjev				
Razradio						
Crtao						
Pregledao						
Objekt			Objekt br.			
Forma broda s hidrodinamičkim uzgonom			F5	1	1:50	Str. 36



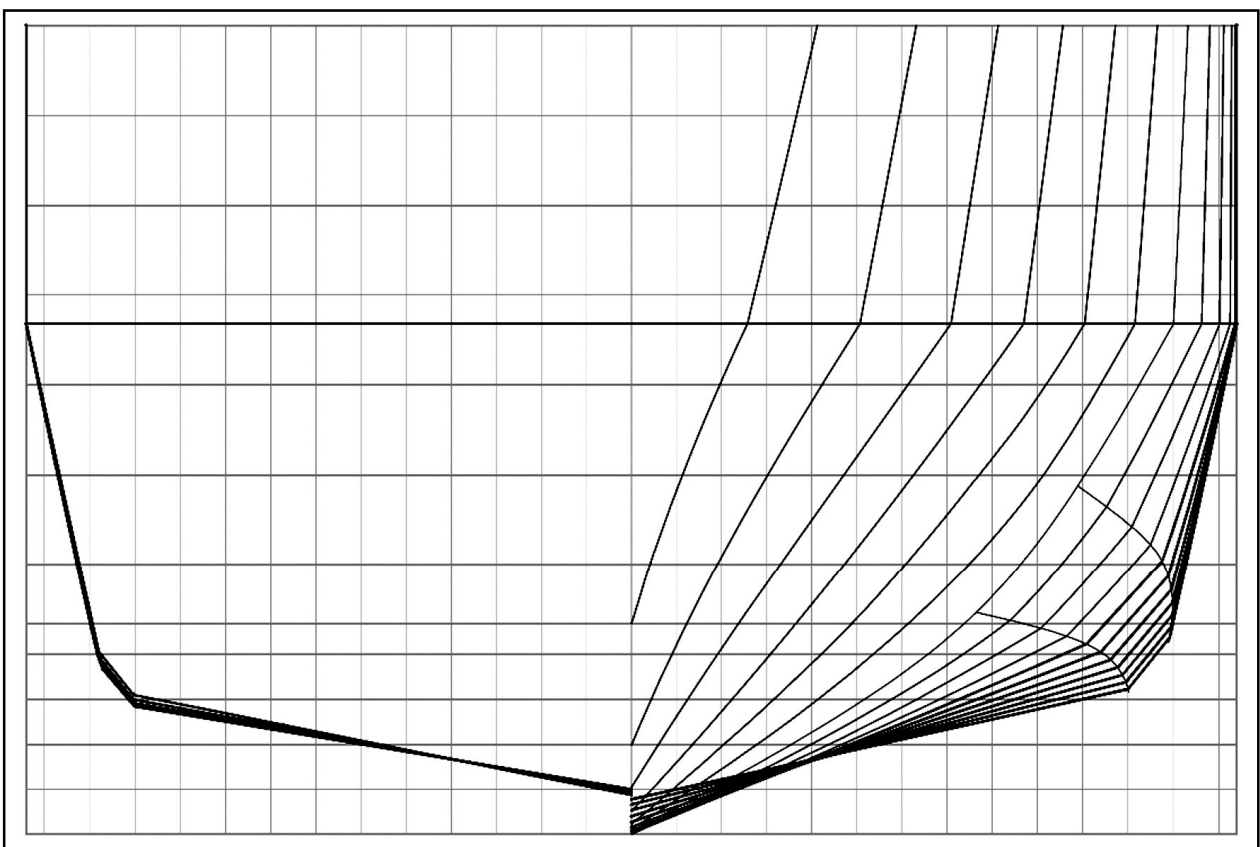
FSB Zagreb

Tabela 6-Očitanja F5

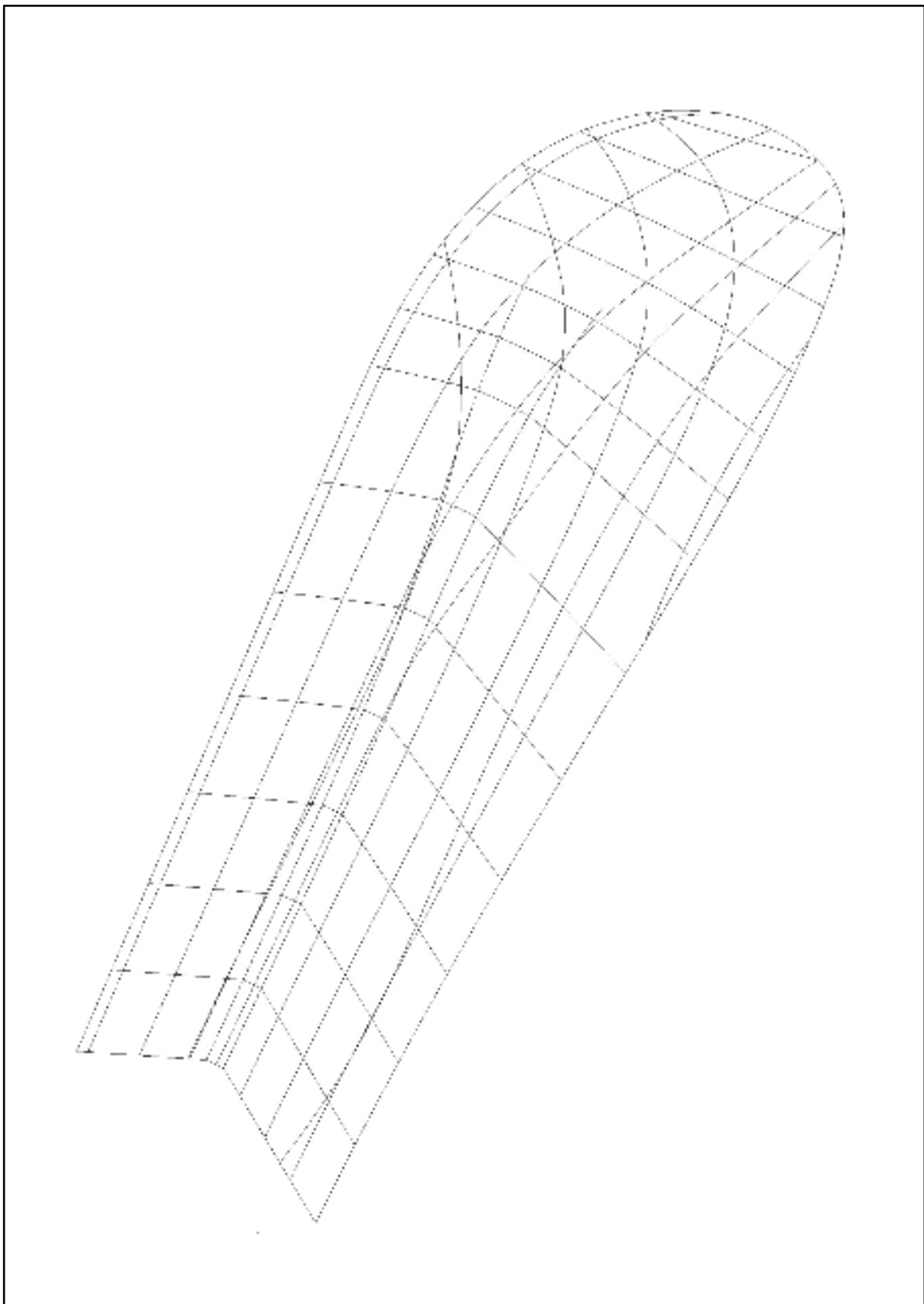
Forma Jedinice:		F5 [m]		TABLICA OČITANJA																			
Rebro	Vodne linije - poluširine																		Statva dno	Razma	Vanjski zgib	Unutarnji zgib	Rebro
	Vodna I.	Vodna I.	Vodna I.	Vodna I.	Vodna I.	Vodna I.	Vodna I.	Vodna I.	Vodna I.	Vodna I.	Vodna I.	Vodna I.	Vodna I.	Vodna I.	Vodna I.	Vodna I.	Vodna I.						
0.000	-0.500	-0.400	-0.300	-0.200	-0.100	0.000	0.100	0.200	0.300	0.400	0.500	0.600	0.700	0.900	1.100	1.300	Statva dno	Razma	Vanjski zgib	Unutarnji zgib	Rebro		
1.000	0.337	0.664	0.969	1.255	1.526	1.861	1.877	1.892	1.908	1.924	1.940	1.955	1.971	2.003	2.035	0.000	2.040	1.860	1.772	1.000			
2.000	0.287	0.620	0.930	1.222	1.499	1.763	1.893	1.909	1.925	1.941	1.958	1.974	1.990	2.023	2.056	0.000	2.066	1.878	1.792	2.000			
3.000	0.236	0.568	0.879	1.175	1.460	1.735	1.903	1.920	1.937	1.954	1.971	1.989	2.006	2.040	2.075	0.000	2.091	1.890	1.805	3.000			
4.000	0.182	0.506	0.815	1.114	1.403	1.686	1.898	1.916	1.934	1.953	1.971	1.990	2.008	2.046	2.085	0.000	2.109	1.887	1.805	4.000			
5.000	0.132	0.442	0.741	1.032	1.314	1.588	1.863	1.882	1.902	1.922	1.943	1.963	1.984	2.026	2.068	0.000	2.105	1.857	1.778	5.000			
6.000	0.088	0.377	0.656	0.925	1.183	1.432	1.672	1.807	1.829	1.851	1.874	1.896	1.919	1.967	2.015	2.065	0.000	2.067	1.790	1.718	6.000		
7.000	0.047	0.297	0.540	0.773	0.996	1.209	1.412	1.666	1.691	1.717	1.743	1.769	1.797	1.853	1.912	1.974	0.000	1.992	1.666	1.602	7.000		
8.000	0.005	0.191	0.376	0.555	0.729	0.897	1.057	1.209	1.354	1.461	1.495	1.530	1.566	1.641	1.720	1.806	0.000	1.854	1.434	1.379	8.000		
9.000		0.038	0.160	0.280	0.399	0.515	0.629	0.740	0.847	0.952	1.070	1.121	1.172	1.280	1.396	1.519	0.000	1.626	1.048	1.007	9.000		
9.500			0.004	0.094	0.184	0.275	0.366	0.457	0.549	0.641	0.733	0.836	0.898	1.027	1.165	1.313	0.000	1.464	0.790	0.756	9.500		
10.000				0.002	0.071	0.142	0.215	0.292	0.373	0.483	0.564	0.726	0.889	1.060	0.000	1.264	0.482	0.459	10.000				
10.500										0.001	0.066	0.160	0.379	0.579	0.774	0.000	1.032	0.130	0.124	10.500			
11.000														0.042	0.391	0.000	0.754				11.000		

Forma Jedinice:		F5 [m]		TABLICA OČITANJA																	
Rebro	Uzdužnice - visine										Statva dno	Razma	Vanjski zgib	Unutarnji zgib	Rebro						
	Uzd.	Uzd.	Uzd.	Uzd.	Uzd.	Uzd.	Uzd.	Uzd.	Uzd.	Uzd.											
0.000	0.200	0.400	0.600	0.800	1.000	1.200	1.400	1.600	1.800	2.000	Statva dno	Razma	Vanjski zgib	Unutarnji zgib	Rebro						
1.000	0.069	0.183	0.345	0.554	0.803	1.084					0.000					0.000					
2.000	-0.540	-0.481	-0.420	-0.356	-0.289	-0.220	-0.147	-0.072	-0.005	0.881	-0.595	1.130	-0.005	-0.005	1.000						
3.000	-0.525	-0.467	-0.406	-0.343	-0.276	-0.208	-0.136	-0.062	0.011	0.758	-0.580	1.158	0.011	0.011	2.000						
4.000	-0.510	-0.451	-0.390	-0.326	-0.260	-0.191	-0.121	-0.049	0.024	0.666	-0.567	1.190	0.026	0.026	3.000						
5.000	-0.494	-0.433	-0.370	-0.305	-0.238	-0.170	-0.101	-0.031	0.041	0.655	-0.554	1.225	0.043	0.043	4.000						
6.000	-0.478	-0.414	-0.348	-0.280	-0.211	-0.141	-0.069	0.004	0.071	0.778	-0.541	1.265	0.071	0.071	5.000						
7.000	-0.462	-0.392	-0.320	-0.247	-0.171	-0.093	-0.013	0.070	0.166	1.039	-0.530	1.308	0.120	0.120	6.000						
8.000	-0.439	-0.358	-0.275	-0.188	-0.098	-0.004	0.094	0.198	0.712		-0.518	1.356	0.199	0.199	7.000						
9.000	-0.395	-0.287	-0.175	-0.058	0.064	0.194	0.318	0.793	1.287		-0.502	1.407	0.318	0.318	8.000						
9.500	-0.267	-0.099	0.074	0.256	0.448	0.753	1.107	1.425			-0.431	1.463	0.454	0.454	9.000						
10.000	0.280	0.531	0.745	0.992	1.231	1.453					-0.003	1.519	0.599	0.598	10.000						
10.500	0.735	0.921	1.121	1.326	1.519						0.498	1.548	0.673	0.672	10.500						
11.000																					

## 2.6 Forma F6



Slika 18-Predložak forme F6



Slika 19-3D prikaz linija forme F6

Str.	40	Mjelić	1.50	Lisova	1	F6	Objekt br.	Objekt F6 Forma broda s hidrodinamickim uzgonom
Crtao								
Razradilo								
Projektila								
Datum	Ime i prezime	Potpis	Marin Valenđev					
Pregleđao								
Crtao								
Objekt br.								
Str.	40	Mjelić	1.50	Lisova	1	F6	Objekt br.	Objekt F6 Forma broda s hidrodinamickim uzgonom

**FSB Zagreb**

**ljetosnina 9260 kg**

**Glavne izmjere**

**Loa= 10.25 m**  
**LWI= 10.00 m**  
**Boa= 3.60 m**  
**Bwi= 3.22 m**  
**T= 0.65 m**  
**H= 1.54 m**

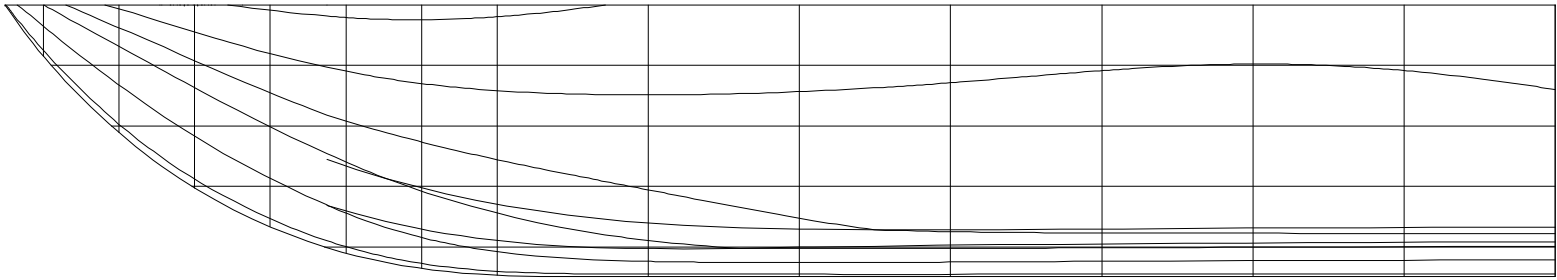
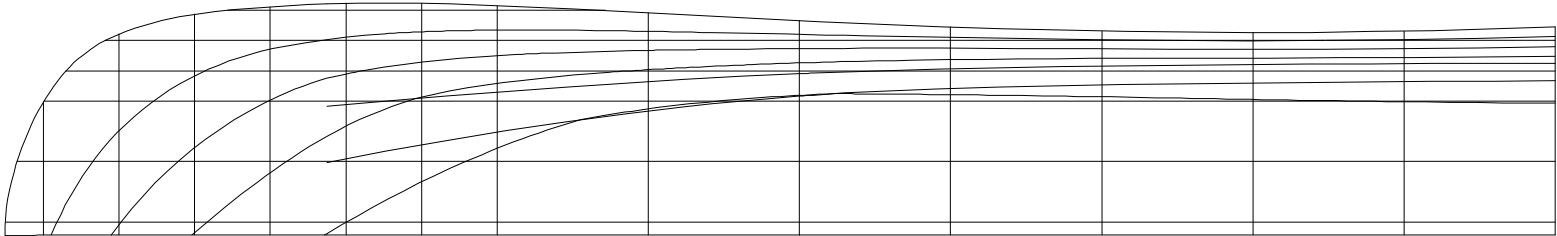
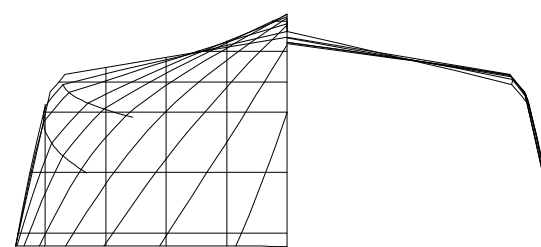




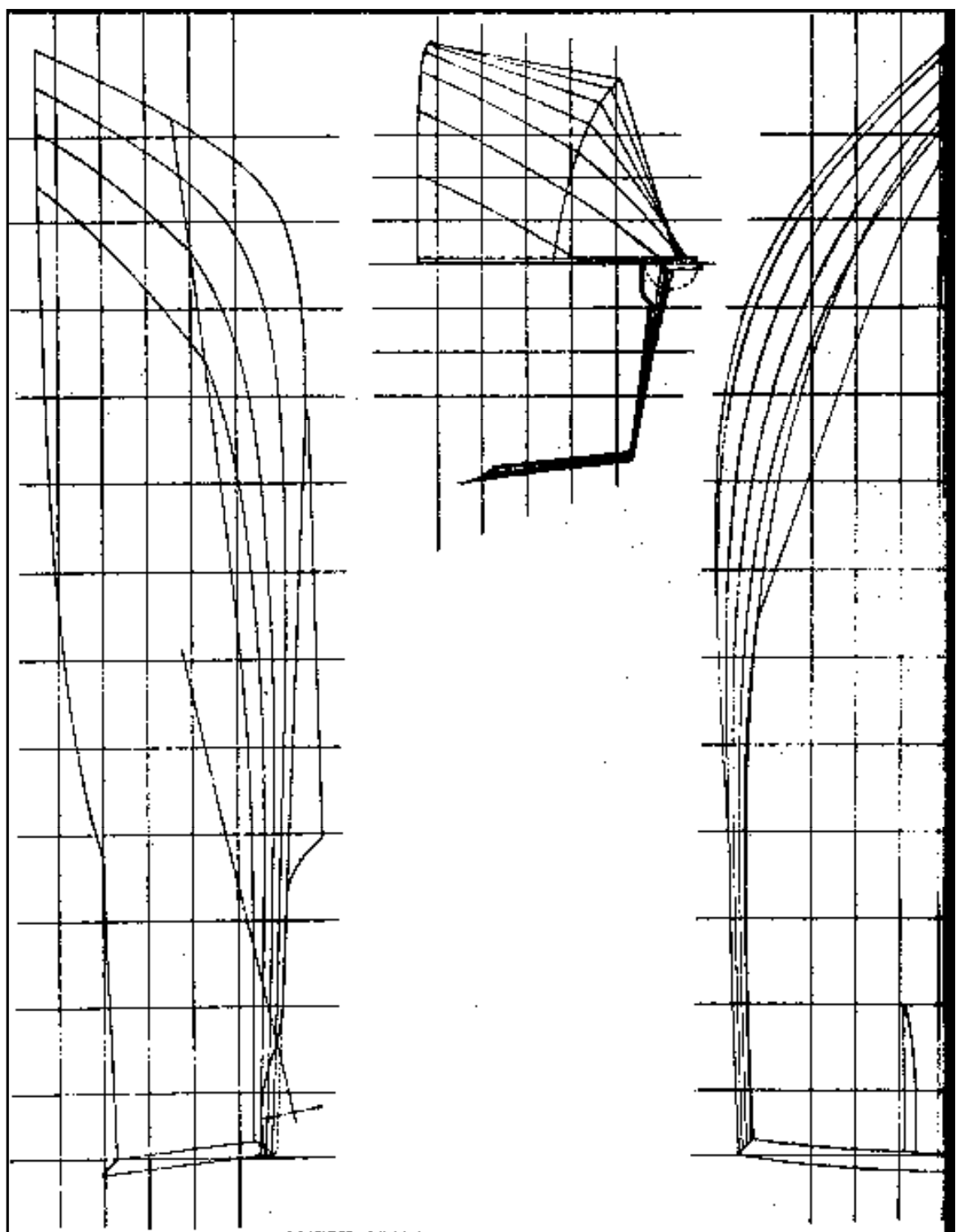
Tabela 7-Očitanja F6

		TABLICA OČITANJA																			
Forma: Jedinice:		Vodna linija - poluširine																			
Rebro.		Vodna I.	Vodna I.	Vodna I.	Vodna I.	Vodna I.	Vodna I.	Vodna I.	Vodna I.	Vodna I.	Vodna I.	Vodna I.	Vodna I.	Vodna I.	Vodna I.	Statva- Dno	razma	Vanjski zgib	Unutanji zgib	Rebro.	
<b>0.000</b>		0.560	1.163	1.512	1.574	1.597	1.619	1.642	1.665	1.687	1.710	1.733	1.755	1.778	0.000	1.797	1.567	1.471	<b>0.000</b>		
<b>1.000</b>		0.435	1.120	1.511	1.576	1.599	1.622	1.644	1.667	1.689	1.711	1.734	1.756	1.778	0.000	1.797	1.570	1.473	<b>1.000</b>		
<b>2.000</b>		0.392	1.100	1.511	1.580	1.602	1.625	1.648	1.670	1.692	1.714	1.736	1.757	1.779	0.000	1.797	1.575	1.476	<b>2.000</b>		
<b>3.000</b>		0.435	1.092	1.509	1.583	1.607	1.630	1.652	1.674	1.696	1.717	1.738	1.759	1.779	0.000	1.797	1.581	1.482	<b>3.000</b>		
<b>4.000</b>		0.515	1.068	1.500	1.578	1.610	1.634	1.657	1.679	1.701	1.722	1.742	1.762	1.782	0.000	1.798	1.590	1.488	<b>4.000</b>		
<b>5.000</b>		0.143	0.574	1.001	1.412	1.552	1.612	1.637	1.660	1.682	1.704	1.724	1.744	1.763	1.781	0.000	1.796	1.604	1.484	<b>5.000</b>	
<b>6.000</b>		0.276	0.595	0.911	1.223	1.470	1.558	1.621	1.648	1.673	1.697	1.719	1.740	1.760	1.780	0.000	1.796	1.612	1.443	<b>6.000</b>	
<b>7.000</b>		0.079	0.326	0.567	0.801	1.024	1.235	1.378	1.469	1.553	1.595	1.632	1.667	1.700	1.732	1.762	0.000	1.787	1.558	1.318	<b>7.000</b>
<b>7.500</b>		0.099	0.312	0.520	0.719	0.907	1.081	1.232	1.328	1.414	1.489	1.538	1.585	1.628	1.670	1.710	0.000	1.743	1.483	1.211	<b>7.500</b>
<b>8.000</b>		0.084	0.264	0.439	0.608	0.768	0.912	1.039	1.142	1.229	1.307	1.377	1.438	1.494	1.548	1.599	0.000	1.641	1.364	1.065	<b>8.000</b>
<b>8.500</b>		0.036	0.183	0.323	0.457	0.583	0.701	0.808	0.904	0.991	1.072	1.147	1.218	1.286	1.351	1.414	0.000	1.468			<b>8.500</b>
<b>9.000</b>		0.078	0.180	0.277	0.370	0.460	0.548	0.632	0.714	0.793	0.870	0.943	1.015	1.084	1.152	0.000	1.211			<b>9.000</b>	
<b>9.500</b>		0.027	0.090	0.152	0.214	0.276	0.339	0.403	0.466	0.531	0.595	0.660	0.725	0.790	0.000	0.846			<b>9.500</b>		
<b>10.000</b>									0.033	0.068	0.104	0.142	0.181	0.220	0.261	0.303	0.000	0.341			<b>10.000</b>

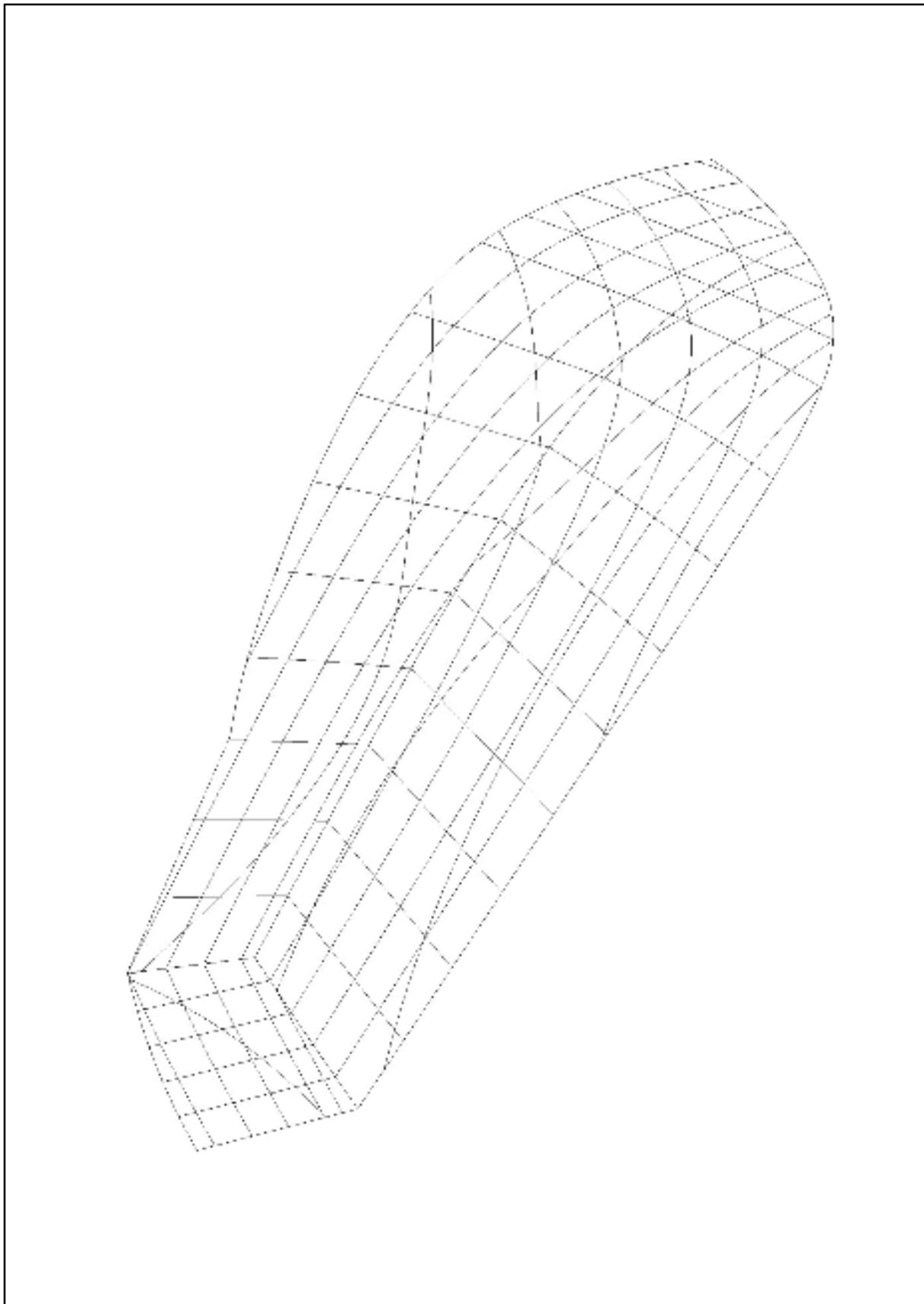
		TABLICA OČITANJA																			
Forma: Jedinice:		Uzdužnice - visine																			
Rebro.		Uzd.	Uzd.	Uzd.	Uzd.	Uzd.	Uzd.	Uzd.	Statva- Dno	razma	Vanjski zgib	Unutanji zgib	Rebro.								
<b>0.000</b>		-0.460	-0.427	-0.393	-0.360	-0.327	-0.294	-0.261	0.014	-0.493	0.887	-0.133	-0.249	<b>0.000</b>							
<b>1.000</b>		-0.434	-0.405	-0.376	-0.347	-0.318	-0.288	-0.258	0.005	-0.463	0.887	-0.128	-0.247	<b>1.000</b>							
<b>2.000</b>		-0.426	-0.399	-0.371	-0.343	-0.315	-0.285	-0.254	-0.011	-0.453	0.887	-0.120	-0.241	<b>2.000</b>							
<b>3.000</b>		-0.434	-0.405	-0.376	-0.346	-0.315	-0.282	-0.247	-0.029	-0.463	0.887	-0.107	-0.231	<b>3.000</b>							
<b>4.000</b>		-0.455	-0.420	-0.385	-0.349	-0.313	-0.274	-0.233	-0.042	-0.490	0.887	-0.085	-0.214	<b>4.000</b>							
<b>5.000</b>		-0.487	-0.440	-0.394	-0.347	-0.300	-0.252	-0.203	-0.038	-0.533	0.887	-0.033	-0.182	<b>5.000</b>							
<b>6.000</b>		-0.524	-0.461	-0.398	-0.335	-0.272	-0.207	-0.143	0.051	-0.585	0.887	0.066	-0.129	<b>6.000</b>							
<b>7.000</b>		-0.551	-0.469	-0.386	-0.300	-0.211	-0.117	0.024	0.313	-0.632	0.887	0.207	-0.059	<b>7.000</b>							
<b>7.500</b>		-0.553	-0.458	-0.360	-0.258	-0.147	-0.027	0.183	0.534	-0.646	0.887	0.289	-0.020	<b>7.500</b>							
<b>8.000</b>		-0.536	-0.422	-0.305	-0.179	-0.032	0.165	0.437	0.803	-0.646	0.887	0.380	0.022	<b>8.000</b>							
<b>8.500</b>		-0.488	-0.343	-0.186	-0.008	0.210	0.474	0.777		-0.623	0.887			<b>8.500</b>							
<b>9.000</b>		-0.379	-0.167	0.061	0.309	0.579	0.871		-0.573	0.887			<b>9.000</b>								
<b>9.500</b>		-0.122	0.196	0.507	0.816				-0.444	0.887			<b>9.500</b>								
<b>10.000</b>		0.549							0.003	0.887			<b>10.000</b>								

Pramac	x	y	z
Razma	10.253	0	0.887
V. Zgib	8.125	1.327</	

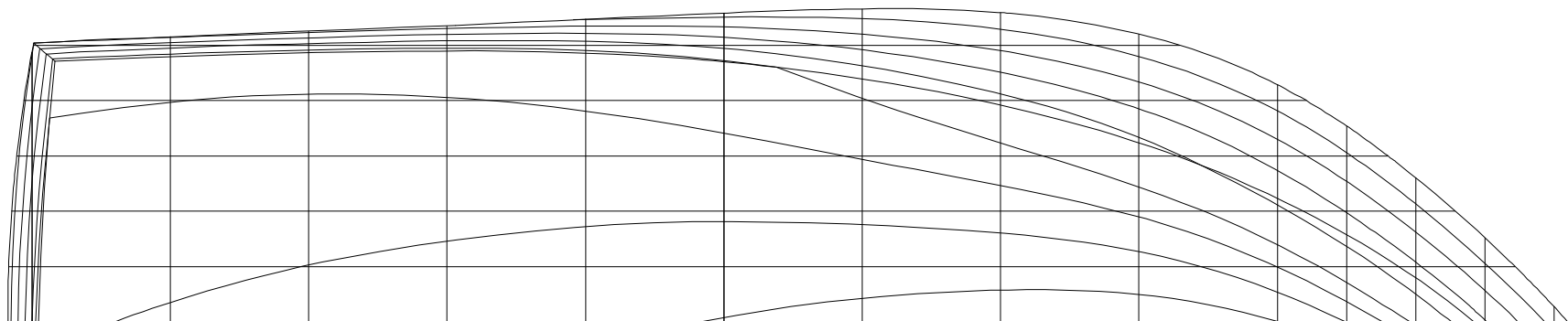
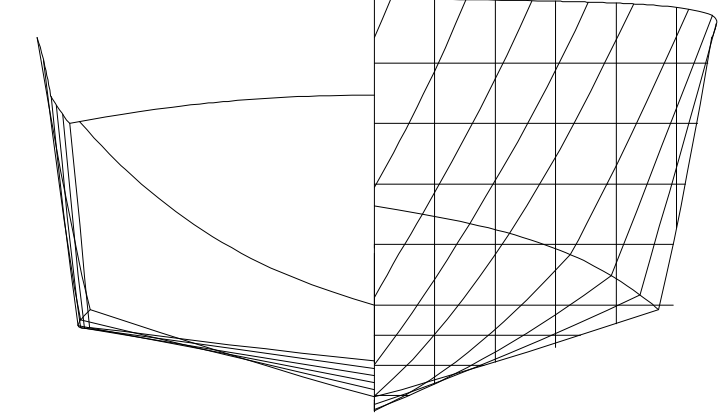
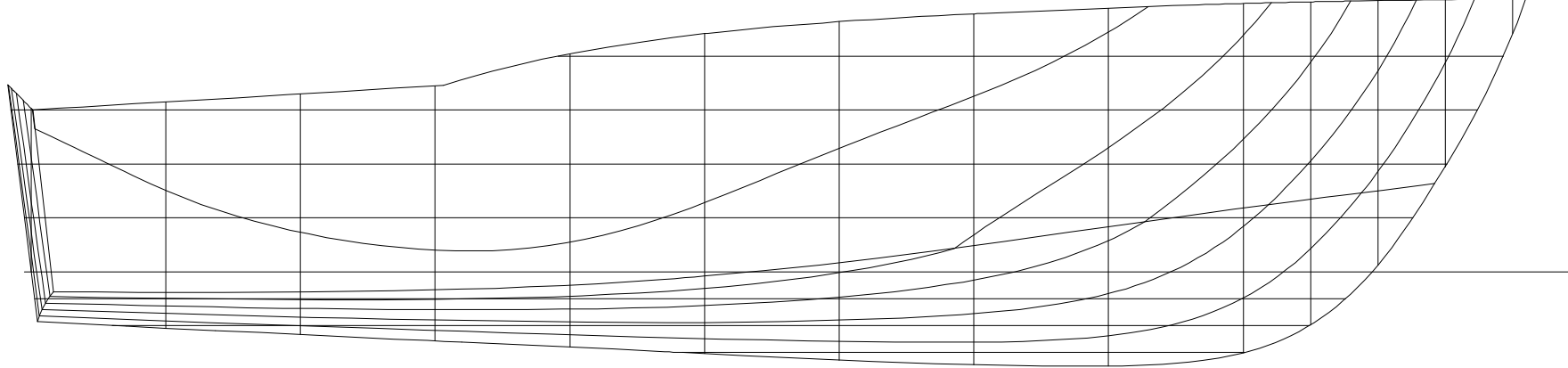
## 2.7 Forma F7



Slika 21-Predložak forme F7



Slika 22-3D prikaz linija forme F7



**Glavne izmjere**

**Loa**= 11.27 m  
**Lwl**= 9.96 m  
**Boa**= 4.53 m  
**Bwl**= 3.95 m  
**T**= 0.70 m  
**H**= 2.73 m

Istisnina 10000 kg

	Datum	Ime i prezime	Potpis			
Projektirao		Marin Valerjev				
Razradio						
Crtao						
Pregledao						
Objekt				Objekt br.		
Forma broda s hidrodinamičkim uzgonom				F7	1	1:50
					Str.	44



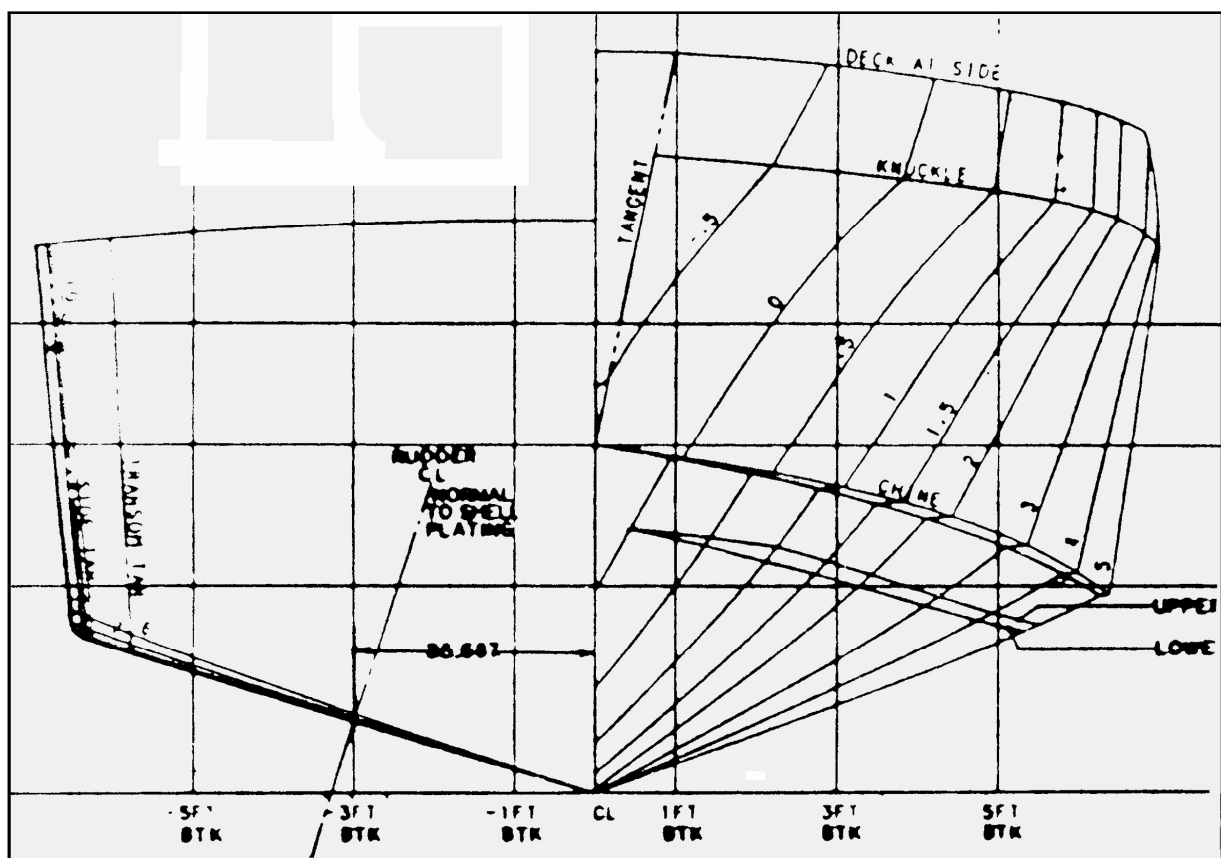
FSB Zagreb

Tabela 8-Očitanja F7

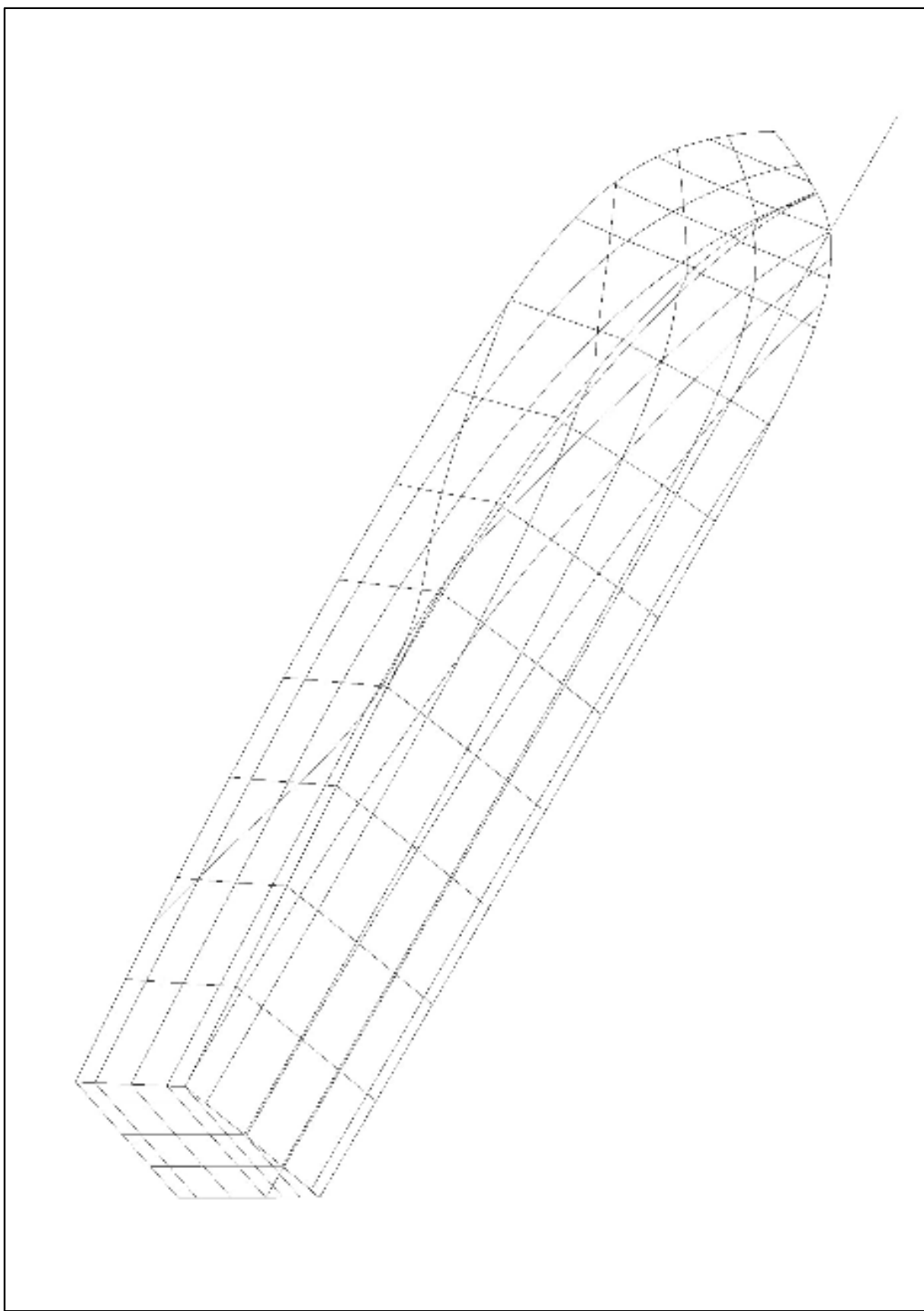
Forma Jedinice		TABLICA OČITANJA																											
		F7 [m]		Vodne linije - poluširine																									
Rebro		Vodna I.	Vodna I.	Vodna I.	Vodna I.	Vodna I.	Vodna I.	Vodna I.	Vodna I.	Vodna I.	Vodna I.	Vodna I.	Vodna I.	Vodna I.	Vodna I.	Vodna I.	Vodna I.	Vodna I.	Vodna I.	Vodna I.	Vodna I.	Vodna I.	Statva dno	Razma	Zgib	Rebro			
		-0.500	-0.400	-0.300	-0.200	-0.100	0.000	0.100	0.200	0.300	0.400	0.500	0.600	0.700	0.800	0.900	1.000	1.100	1.200	1.300	1.400								
0.000																										0.000			
1.000		0.140	0.867	1.587	1.924	1.937	1.948	1.959	1.970	1.980	1.990	2.000	2.009	2.018	2.027	2.037	2.046	2.055							2.061	1.917	1.000		
2.000		0.410	1.030	1.647	1.952	1.965	1.977	1.989	2.001	2.012	2.023	2.033	2.043	2.053	2.063	2.072	2.082	2.091	2.100							2.102	1.945	2.000	
3.000		0.069	0.584	1.102	1.623	1.964	1.978	1.992	2.005	2.019	2.031	2.043	2.055	2.067	2.078	2.089	2.100	2.110	2.121	2.131						2.139	1.958	3.000	
4.000		0.260	0.688	1.108	1.524	1.940	1.962	1.980	1.997	2.013	2.029	2.044	2.058	2.073	2.086	2.100	2.112	2.125	2.138	2.150	2.162						2.188	1.944	4.000
5.000		0.387	0.724	1.048	1.364	1.675	1.889	1.911	1.934	1.956	1.977	1.997	2.018	2.038	2.057	2.076	2.095	2.113	2.131	2.149	2.167						2.232	1.881	5.000
6.000		0.447	0.702	0.943	1.174	1.398	1.616	1.767	1.795	1.823	1.852	1.881	1.910	1.938	1.967	1.995	2.024	2.052	2.080	2.109	2.137						2.263	1.757	6.000
7.000		0.448	0.642	0.820	0.986	1.142	1.292	1.437	1.571	1.610	1.649	1.687	1.726	1.765	1.804	1.843	1.882	1.921	1.960	1.999	2.038						2.236	1.568	7.000
8.000		0.363	0.508	0.638	0.758	0.870	0.975	1.075	1.171	1.263	1.331	1.386	1.439	1.490	1.540	1.590	1.638	1.686	1.734	1.780	1.827						2.080	1.294	8.000
9.000		0.113	0.214	0.308	0.396	0.479	0.558	0.634	0.707	0.777	0.844	0.910	0.974	1.035	1.095	1.153	1.210	1.265	1.319	1.372	1.424						1.714	0.892	9.000
9.500																										1.416	0.630	9.500	
10.000																										1.042	0.317	10.000	
10.500																										0.607	0.607	10.500	

Forma Jedinice		TABLICA OČITANJA																								
		F7 [m]		Uzdužnice - visine																						
Rebro		Uzd. 0.200	Uzd. 0.400	Uzd. 0.600	Uzd. 0.800	Uzd. 1.000	Uzd. 1.200	Uzd. 1.400	Uzd. 1.600	Uzd. 1.800	Uzd. 2.000	Statva dno	Razma	Zgib	Rebro											
		0.059	0.128	0.207	0.300	0.410	0.537	0.684	0.853	1.048																0.000
1.000		-0.392	-0.364	-0.337	-0.309	-0.282	-0.254	-0.226	-0.198	-0.171	0.604	-0.419	1.259	-0.154												1.000
2.000		-0.434	-0.402	-0.369	-0.337	-0.305	-0.272	-0.240	-0.208	-0.175	0.293	-0.466	1.318	-0.151												2.000
3.000		-0.474	-0.436	-0.397	-0.358	-0.320	-0.281	-0.243	-0.204	-0.166	0.159	-0.514	1.379	-0.136												3.000
4.000		-0.514	-0.468	-0.421	-0.374	-0.326	-0.278	-0.230	-0.182	-0.134	0.219	-0.559	1.617	-0.099												4.000
5.000		-0.553	-0.496	-0.437	-0.377	-0.315	-0.252	-0.188	-0.124	-0.059	0.512	-0.608	1.766	-0.033												5.000
6.000		-0.590	-0.518	-0.441	-0.360	-0.276	-0.189	-0.099	-0.008	0.219	0.916	-0.657	1.855	0.065												6.000
7.000		-0.613	-0.523	-0.423	-0.312	-0.191	-0.062	0.074	0.275	0.789	1.302	-0.690	1.913	0.192												7.000
8.000		-0.599	-0.475	-0.330	-0.163	0.025	0.231	0.526	0.921	1.342	1.778	-0.700	1.954	0.334												8.000
9.000		-0.414	-0.195	0.054	0.334	0.643	0.982	1.354	1.753			-0.603	1.990	0.473												9.000
9.500		-0.123	0.171	0.488																						

## 2.8 Forma F8



Slika 24-Predložak forme F8



Slika 25-3D prikaz linija forme F8

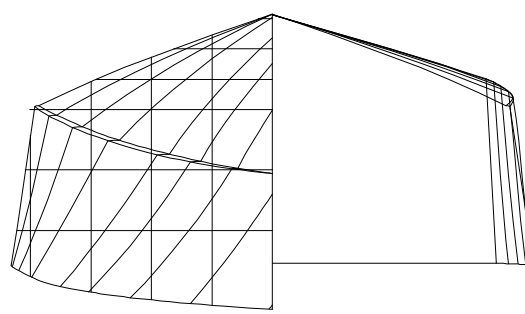
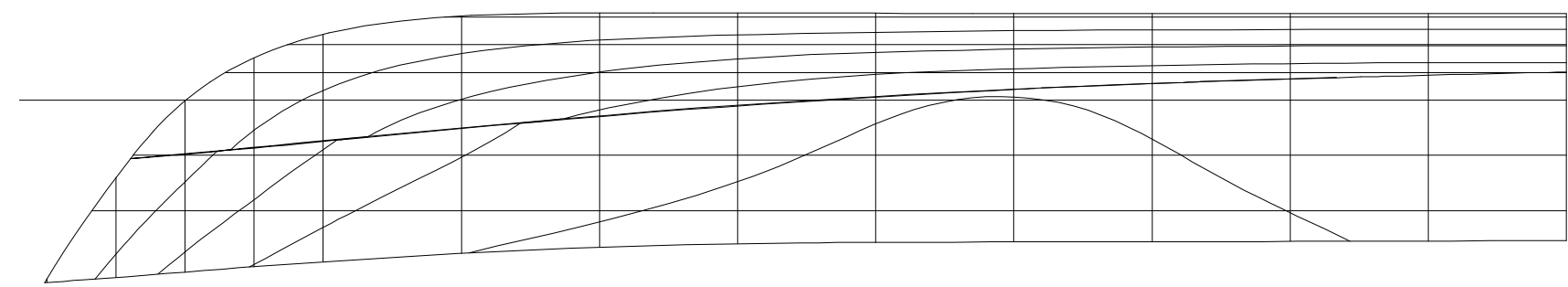
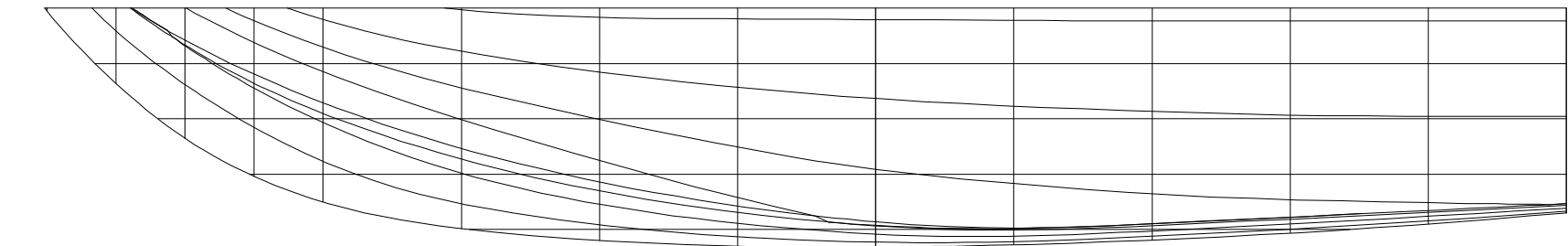
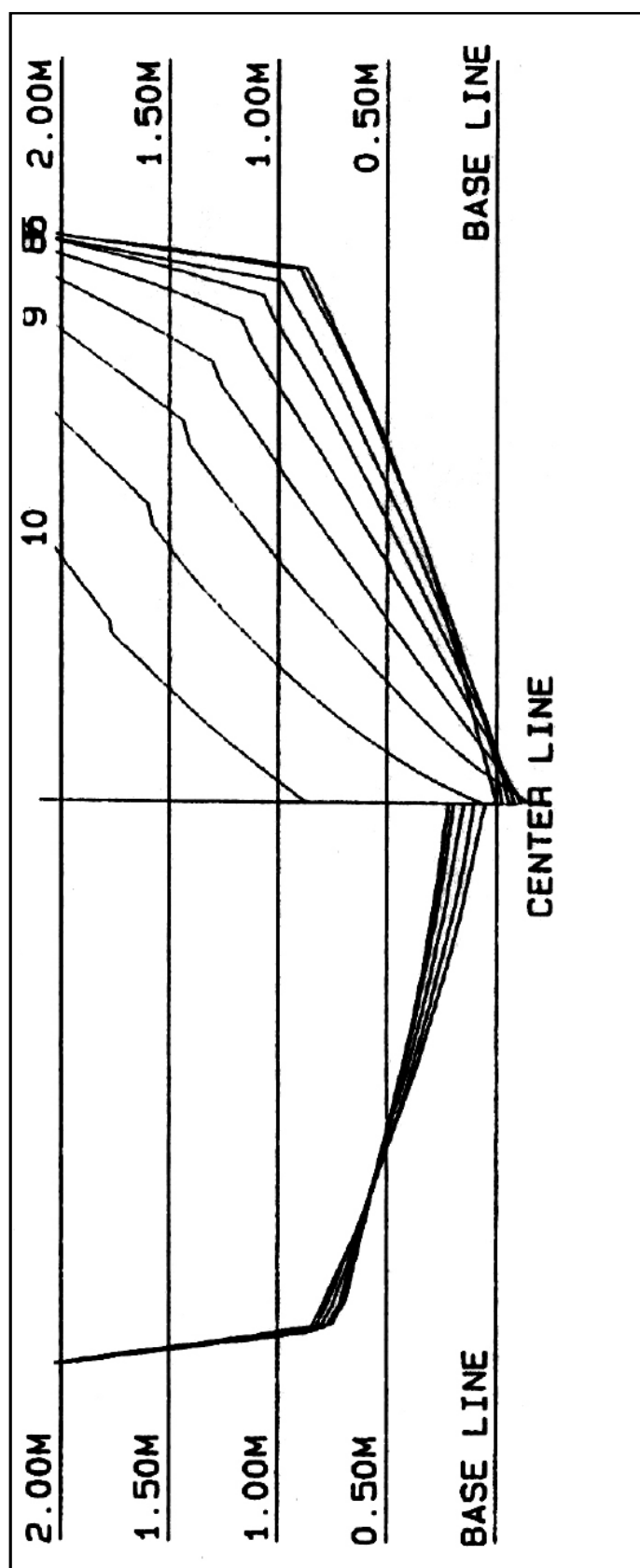
Str.	1.50	1	Lisova	Objekt br.	Objekt br.	Forma broda s hidrodinamickim uzgonom	F8	48
Pregradao								
Crtao								
Razradilo								
Projektila								
Datum	ime i prezime	Potpis	Martin Valenjev					
Projektila								
Crtao								
Razradilo								
Pregradao								
Lisovina	9080 kg							
H=	1.95 m							
T=	0.63 m							
BW=	3.20 m							
Bos=	3.46 m							
LWI=	9.99 m							
Loa=	11.02 m							
Glavne izmjere								
				FSB Zagreb				
Projektila								
Crtao								
Razradilo								
Pregradao								
Datum	ime i prezime	Potpis	Martin Valenjev					
Projektila								
Crtao								
Razradilo								
Pregradao								
Lisovina	9080 kg							
H=	1.95 m							
T=	0.63 m							
BW=	3.20 m							
Bos=	3.46 m							
LWI=	9.99 m							
Loa=	11.02 m							
Glavne izmjere								

Tabela 9 - Očitanja F8

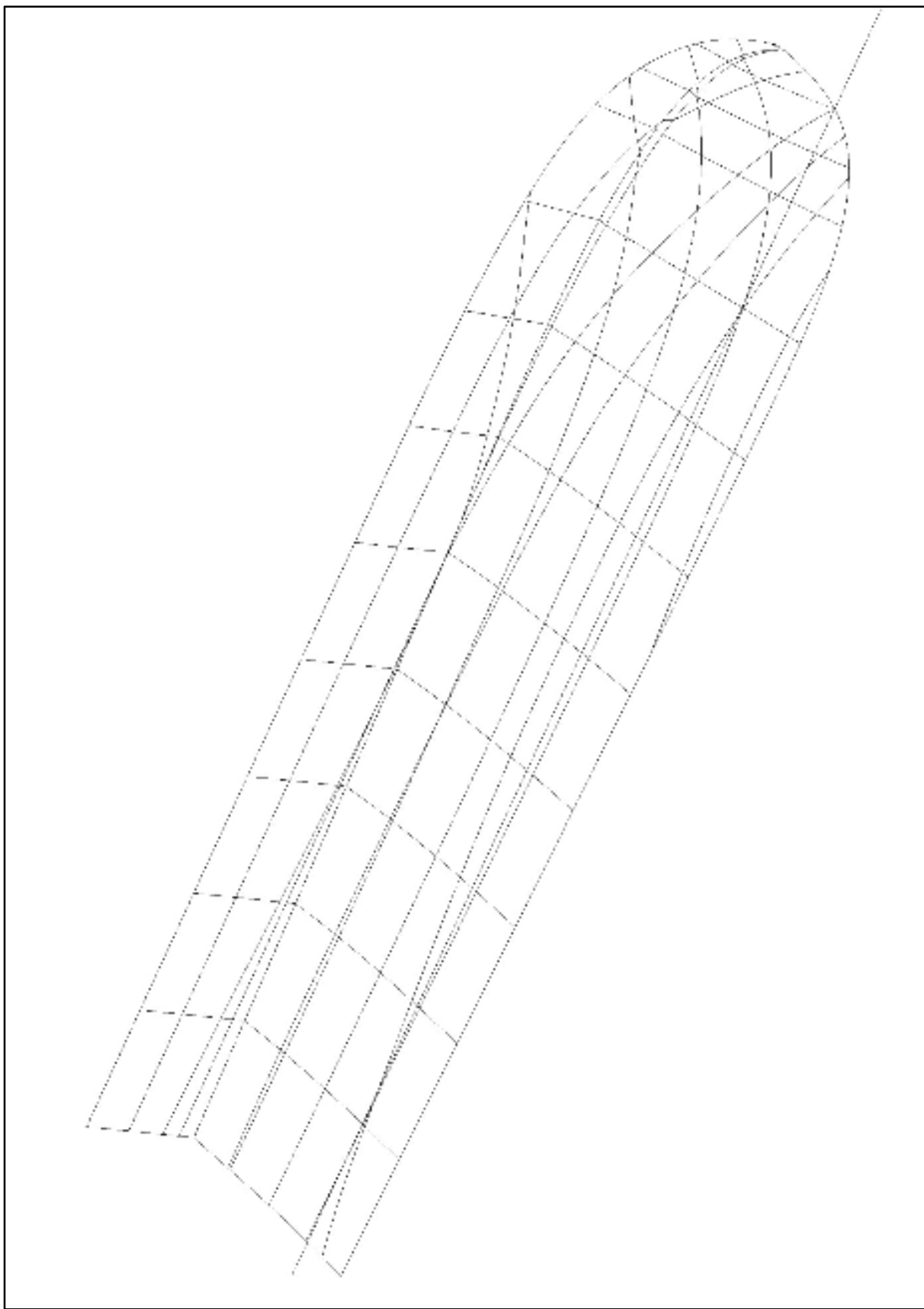
		TABLICA OČITANJA																						
Forma:	F8																							
Jedinice	[m]																							
Vodne linije - poluširine																								
rebro	Vodne I.	Vodne I.	Vodne I.	Vodne I.	Vodne I.	Vodne I.	Vodne I.	Vodne I.	Vodne I.	Vodne I.	Vodne I.	Vodne I.	Vodne I.	Vodne I.	Vodne I.	Vodne I.	Vodne I.	Vodne I.	Statva- dno	vanjski zgib	Unutarnji zgib	Razma	rebro	
<b>0.000</b>	-0.500	-0.400	-0.300	-0.200	-0.100	0.000	0.100	0.200	0.300	0.400	0.500	0.600	0.700	0.800	0.900	1.000	1.100					<b>0.000</b>		
<b>1.000</b>	0.443	0.782	1.108	1.413	1.419	1.424	1.429	1.435	1.440	1.445	1.451	1.456	1.462	1.467	1.472	1.478	0.000	1.413	1.413	1.479	<b>1.000</b>			
<b>2.000</b>	0.440	0.783	1.107	1.406	1.468	1.476	1.483	1.490	1.497	1.505	1.512	1.520	1.529	1.538	1.548	1.559	0.000	1.463	1.463	1.561	<b>2.000</b>			
<b>3.000</b>	0.433	0.772	1.092	1.384	1.516	1.525	1.533	1.542	1.550	1.559	1.568	1.577	1.587	1.598	1.610	1.623	0.000	1.510	1.510	1.626	<b>3.000</b>			
<b>4.000</b>	0.424	0.746	1.054	1.342	1.562	1.573	1.583	1.592	1.602	1.611	1.620	1.629	1.639	1.649	1.660	1.673	0.000	1.559	1.559	1.676	<b>4.000</b>			
<b>5.000</b>	0.406	0.708	0.995	1.269	1.531	1.603	1.616	1.628	1.639	1.649	1.659	1.668	1.677	1.687	1.697	1.707	0.000	1.592	1.589	1.710	<b>5.000</b>			
<b>6.000</b>	0.372	0.653	0.919	1.165	1.391	1.574	1.589	1.604	1.619	1.633	1.648	1.662	1.677	1.692	1.707	1.723	0.000	1.571	1.544	1.727	<b>6.000</b>			
<b>7.000</b>	0.331	0.572	0.797	1.005	1.195	1.369	1.490	1.511	1.533	1.555	1.578	1.602	1.627	1.653	1.680	1.709	0.000	1.478	1.429	1.721	<b>7.000</b>			
<b>8.000</b>	0.272	0.462	0.639	0.803	0.957	1.102	1.238	1.349	1.383	1.418	1.453	1.490	1.527	1.567	1.607	1.650	0.000	1.321	1.256	1.679	<b>8.000</b>			
<b>9.000</b>	0.168	0.313	0.448	0.575	0.694	0.806	0.912	1.011	1.139	1.192	1.246	1.301	1.356	1.413	1.470	1.529	1.589	0.000	1.090	1.014	1.594	<b>9.000</b>		
<b>9.500</b>		0.081	0.185	0.282	0.374	0.460	0.541	0.617	0.762	0.828	0.895	0.964	1.035	1.108	1.184	1.262	1.343	0.000	0.762	0.684	1.402	<b>9.500</b>		
<b>10.000</b>			0.005	0.091	0.172	0.248	0.320	0.388	0.452	0.578	0.644	0.713	0.786	0.862	0.941	1.026	1.116	0.000	0.543	0.477	1.217	<b>10.000</b>		
<b>10.500</b>									0.062	0.124	0.182	0.272	0.338	0.407	0.478	0.552	0.630	0.713	0.802	0.000	0.266	0.231	0.941	<b>10.500</b>

		TABLICA OČITANJA																				
Forma:	F8																					
Jedinice	[m]																					
Uzdužnice - visine																						
rebro	Uzd.	Uzd.	Uzd.	Uzd.	Uzd.	Uzd.	Uzd.	Uzd.	Statva- dno	vanjski zgib	Unutarnji zgib	Razma	rebro									
<b>0.000</b>	0.200	0.400	0.600	0.800	1.000	1.200	1.400	1.600														<b>0.000</b>
<b>1.000</b>	-0.570	-0.512	-0.454	-0.395	-0.334	-0.271	-0.207		-0.626	-0.203	-0.203	1.015										<b>1.000</b>
<b>2.000</b>	-0.569	-0.511	-0.454	-0.395	-0.334	-0.270	-0.202		-0.626	-0.180	-0.180	1.019										<b>2.000</b>
<b>3.000</b>	-0.568	-0.510	-0.451	-0.392	-0.330	-0.264	-0.194	0.815	-0.627	-0.153	-0.153	1.022										<b>3.000</b>
<b>4.000</b>	-0.567	-0.507	-0.446	-0.383	-0.318	-0.250	-0.179	0.281	-0.627	-0.120	-0.120	1.025										<b>4.000</b>
<b>5.000</b>	-0.566	-0.502	-0.436	-0.368	-0.298	-0.225	-0.150	-0.023	-0.627	-0.077	-0.077	1.027										<b>5.000</b>
<b>6.000</b>	-0.560	-0.490	-0.419	-0.346	-0.268	-0.185	-0.096	0.172	-0.628	-0.022	-0.026	1.029										<b>6.000</b>
<b>7.000</b>	-0.552	-0.472	-0.388	-0.299	-0.202	-0.097	0.019	0.591	-0.630	0.043	0.037	1.039										<b>7.000</b>
<b>8.000</b>	-0.536	-0.434	-0.323	-0.202	-0.071	0.071	0.349	0.882	-0.631	0.118	0.114	1.064										<b>8.000</b>
<b>9.000</b>	-0.478	-0.336	-0.179	-0.006	0.188	0.415	0.777		-0.607	0.206	0.202	1.109										<b>9.000</b>
<b>9.500</b>	-0.285	-0.071	0.177	0.358	0.651	0.921	1.169		-0.475	0.300	0.296	1.171										<b>9.500</b>
<b>10.000</b>	0.331	0.591	0.862																			

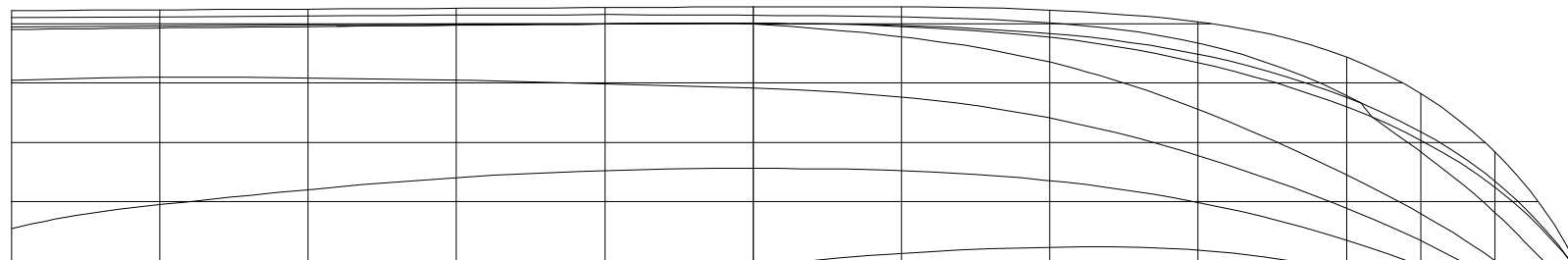
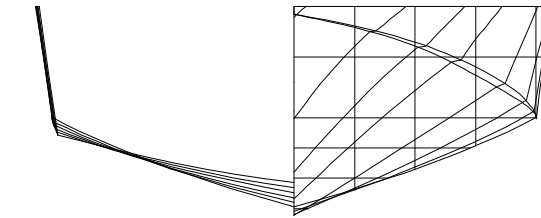
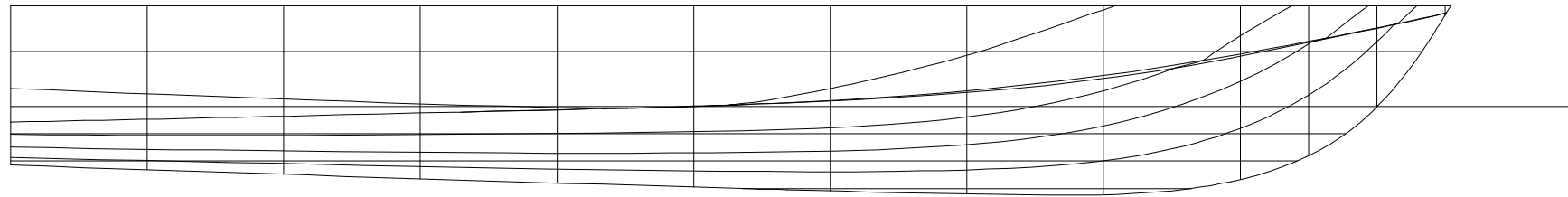
## 2.9 Forma F9



Slika 27-Predložak forme F9



Slika 28-3d prikaz linija forme F9



**Glavne izmjere**

**Loa=** 10.54 m  
**Lwl=** 10.00 m  
**Boa=** 3.43 m  
**Bwl=** 3.20 m  
**T=** 0.65 m  
**H=** 1.38 m

**Istisnina** 8580 kg

	Datum	Ime i prezime	Potpis			
Projektirao		Marin Valerjev				
Razradio						
Crtao						
Pregledao						
Objekt			Objekt br.			
Forma broda s hidrodinamičkim uzgonom			F9	1	1:50	52



**FSB Zagreb**

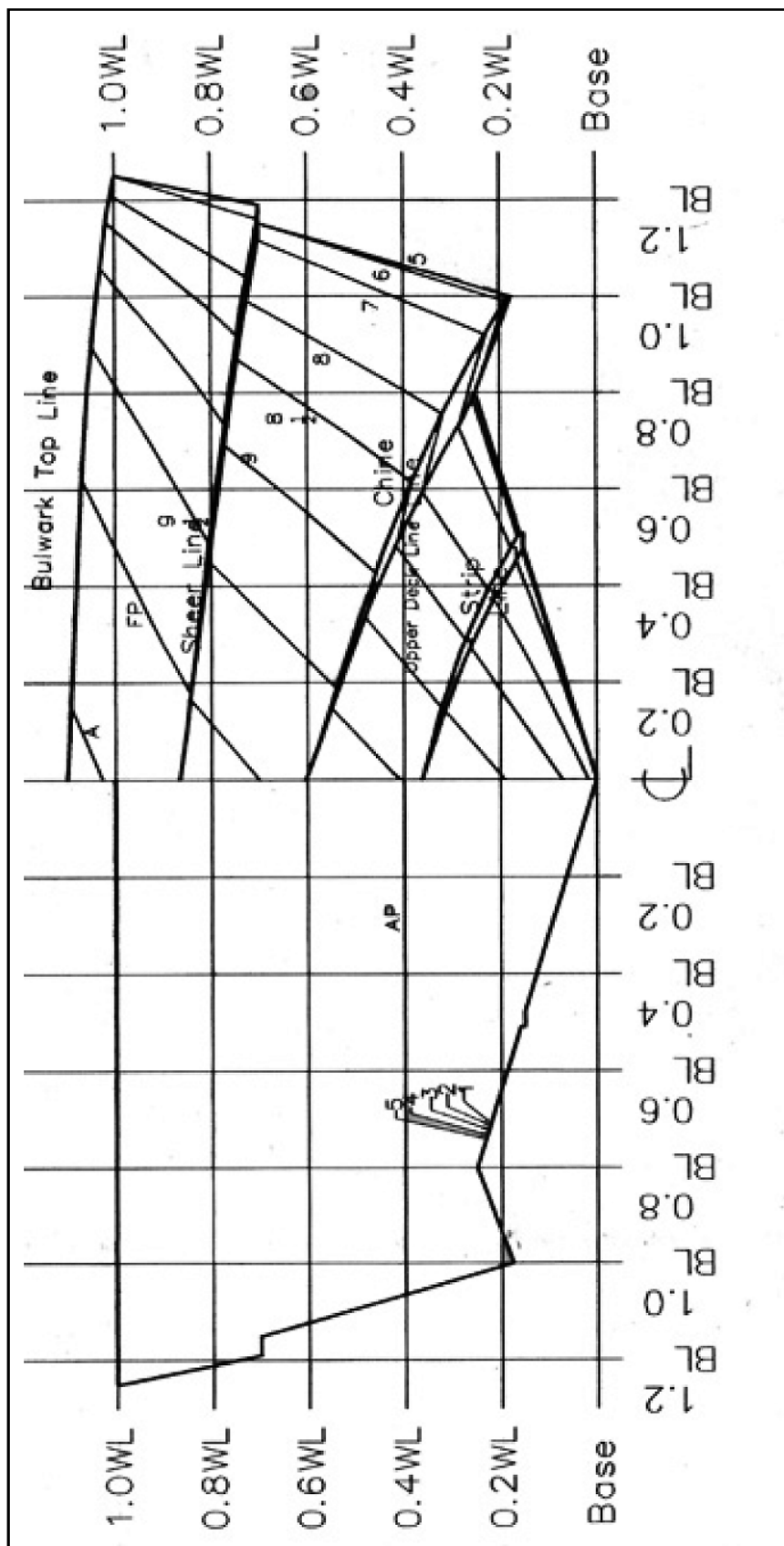
Tabela 10-Očitanja F9

TABLICA OČITANJA																			
Forma: Jedinice		F9 [m]																	
rebro	Vodna linija - poluširine																		rebro
	Vodna I.	Vodna I.	Vodna I.	Vodna I.	Vodna I.	Vodna I.	Vodna I.	Vodna I.	Vodna I.	Vodna I.	Vodna I.	Vodna I.	Vodna I.	Vodna I.	Statva- Dno	Vanjski zgib	Unutarnji zgib		
0.000	-0.500	-0.400	-0.300	-0.200	-0.100	0.000	0.100	0.200	0.300	0.400	0.500	0.600	0.700	0.736				0.000	
1.000		0.219	0.785	1.219	1.564	1.580	1.595	1.610	1.625	1.640	1.655	1.669	1.683	1.687	0.000	1.562	1.562	0.000	
2.000		0.381	0.858	1.238	1.553	1.586	1.601	1.616	1.631	1.646	1.660	1.674	1.688	1.693	0.000	1.571	1.571	1.000	
3.000		0.481	0.897	1.235	1.511	1.592	1.607	1.622	1.637	1.652	1.666	1.680	1.694	1.698	0.000	1.580	1.580	2.000	
4.000		0.136	0.563	0.920	1.219	1.473	1.597	1.612	1.627	1.642	1.657	1.671	1.685	1.699	1.704	0.000	1.589	1.590	3.000
5.000		0.244	0.611	0.925	1.196	1.435	1.601	1.616	1.631	1.646	1.661	1.675	1.690	1.704	1.709	0.000	1.597	1.597	4.000
6.000		0.308	0.625	0.910	1.166	1.394	1.597	1.614	1.627	1.642	1.657	1.673	1.690	1.707	1.713	0.000	1.601	1.602	5.000
7.000		0.337	0.609	0.867	1.106	1.321	1.511	1.595	1.611	1.628	1.646	1.665	1.685	1.706	1.714	0.000	1.587	1.582	6.000
8.000		0.320	0.542	0.757	0.964	1.159	1.340	1.506	1.556	1.581	1.606	1.632	1.657	1.683	1.692	0.000	1.534	1.508	7.000
9.000		0.237	0.396	0.554	0.711	0.867	1.022	1.177	1.331	1.426	1.469	1.512	1.555	1.597	1.611	0.000	1.394	1.338	8.000
9.500		0.036	0.141	0.247	0.356	0.468	0.582	0.700	0.822	0.950	1.115	1.187	1.265	1.347	1.376	0.000	1.103	1.039	9.000
10.000																		0.500	10.000
10.500																		0.014	10.500

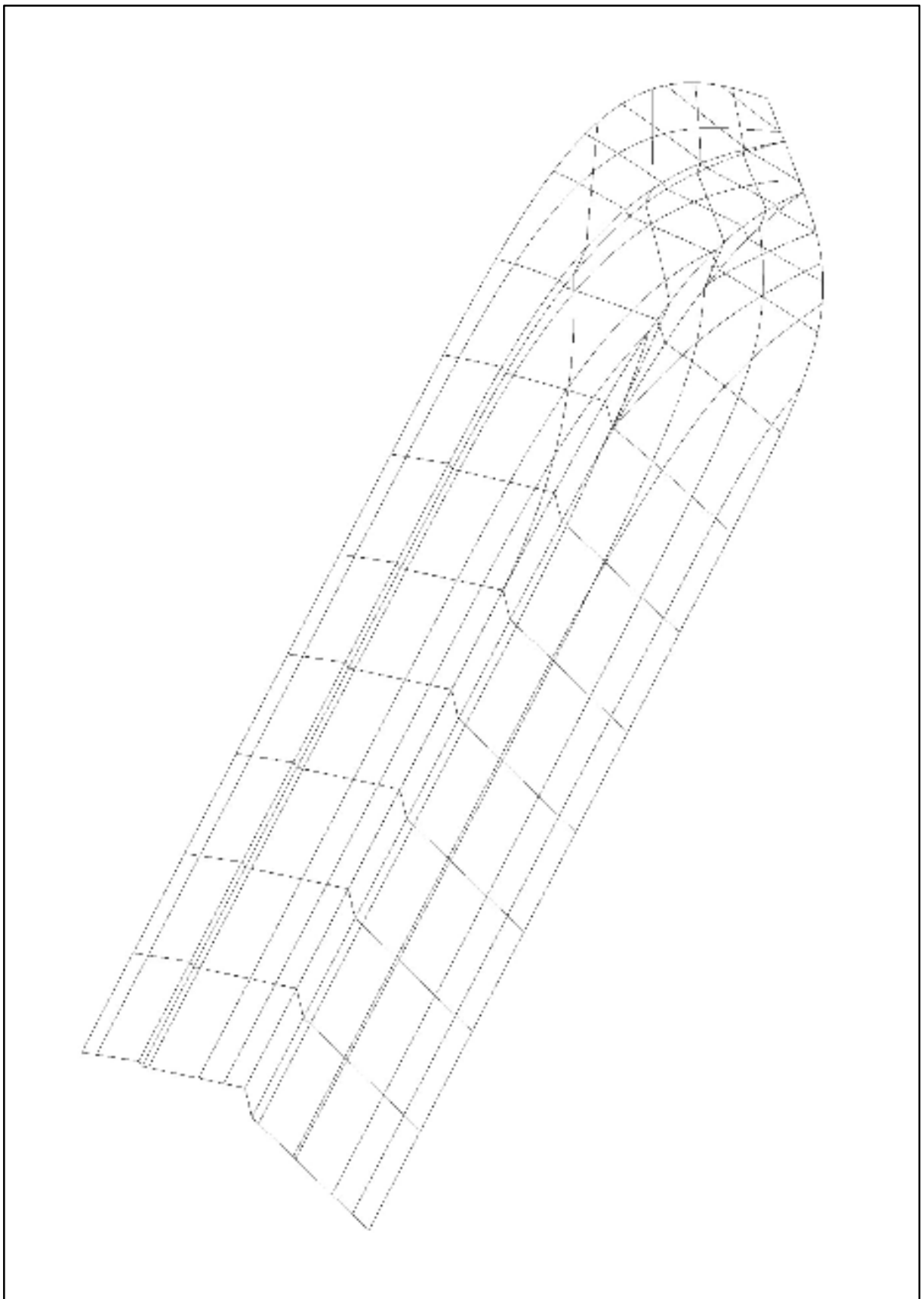
TABLICA OČITANJA												
Forma: Jedinice		F9 [m]										
rebro	Uzdužnice - visine											rebro
	Uzd..	Uzd..	Uzd..	Uzd..	Uzd..	Uzd..	Uzd..	Uzd..	Statva- Dno	Vanjski zgib	Unutarnji zgib	
0.000	0.200	0.400	0.600	0.800	1.000	1.200	1.400	1.600				0.000
1.000	-0.403	-0.372	-0.337	-0.297	-0.252	-0.205	-0.155	0.132	-0.428	-0.115	-0.115	1.000
2.000	-0.432	-0.396	-0.357	-0.313	-0.265	-0.211	-0.151	0.092	-0.463	-0.094	-0.094	2.000
3.000	-0.458	-0.417	-0.373	-0.325	-0.272	-0.211	-0.142	0.054	-0.496	-0.071	-0.071	3.000
4.000	-0.486	-0.440	-0.390	-0.335	-0.275	-0.207	-0.131	0.020	-0.528	-0.048	-0.048	4.000
5.000	-0.511	-0.459	-0.403	-0.342	-0.274	-0.198	-0.115	-0.007	-0.559	-0.025	-0.025	5.000
6.000	-0.532	-0.472	-0.408	-0.340	-0.266	-0.186	-0.097	0.002	-0.589	0.002	0.003	6.000
7.000	-0.549	-0.477	-0.404	-0.327	-0.245	-0.158	-0.060	0.131	-0.618	0.044	0.041	7.000
8.000	-0.553	-0.464	-0.373	-0.280	-0.182	-0.078	0.035	0.374	-0.640	0.115	0.101	8.000
9.000	-0.523	-0.398	-0.271	-0.143	-0.014	0.115	0.240	0.708	-0.646	0.226	0.205	9.000
9.500	-0.344	-0.161	0.015	0.182	0.338	0.517			-0.535	0.382	0.367	9.500
10.000	0.254	0.473	0.623						-0.361	0.475	0.467	10.000

Pramac	x	y	z
Razma	10.542	0	0.736
Zgib	10.511	0	0.684

## 2.10 Forma F10



Slika 30-Predložak forme F10



Slika 31-3D prikaz linija forme F10

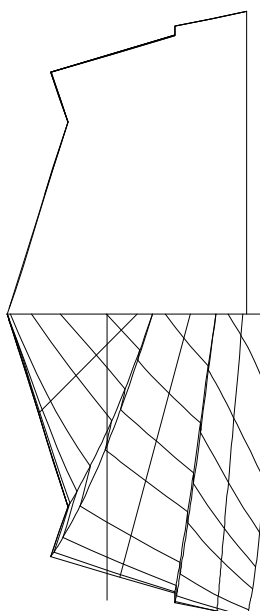
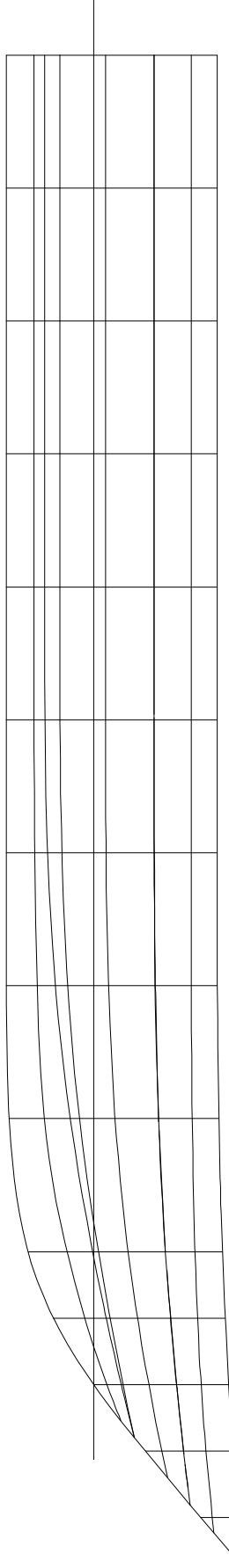
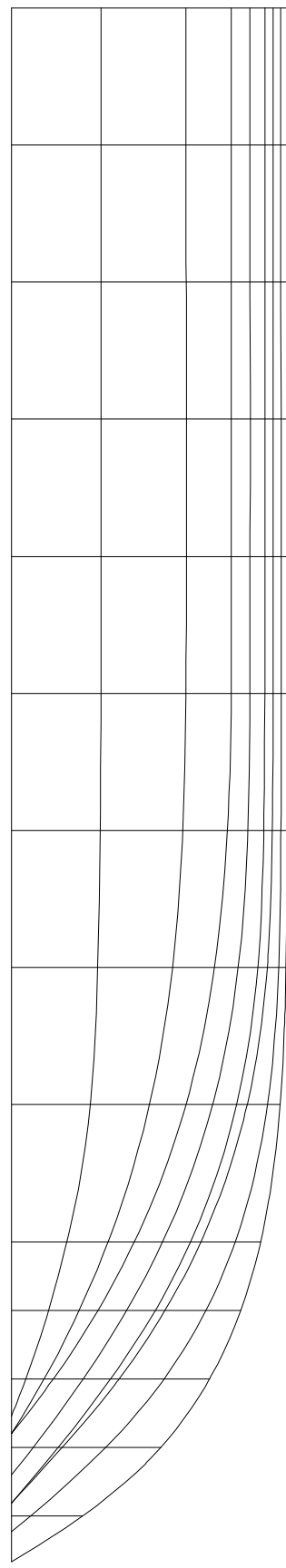
Str.	57
Mjerilo	1.50
Lislova	1/2
Objekt br.	F10
Objekt	Forma broda s hidrodinamickim uzgonom
Pregleđao	
Crtao	
Razradilo	
Projektilao	Martin Valerjev
Datum	ime i prezime
lme i prezime	Potpis
Projektilao	Martin Valerjev
Razradilo	
Crtao	
Pregleđao	
Objekt	Forma broda s hidrodinamickim uzgonom
Str.	57

FSB Zagreb

ljetosnina 11870 kg

Glavne izmjere

$L_{OA} = 11.33 \text{ m}$   
 $L_{WI} = 10.00 \text{ m}$   
 $B_{OA} = 4.01 \text{ m}$   
 $B_{WI} = 3.43 \text{ m}$   
 $T = 0.66 \text{ m}$   
 $H = 1.75 \text{ m}$



**Glavne izmjere**

**L<sub>oa</sub>**= 11.33 m  
**L<sub>wl</sub>**= 10.00 m  
**B<sub>oa</sub>**= 4.01 m  
**B<sub>wl</sub>**= 3.43 m  
**T**= 0.66 m  
**H**= 1.75 m

Istisnina 11870 kg

	Datum	Ime i prezime	Potpis
Projektirao		Marin Valerijev	
Razradio			
Crtao			
Pregledao			
Objekt	Objekt br.	Listova	Mjerilo
Forma broda s hidrodinamičkim uzgonom	F10	2/2	1:50
			Str. 56

Tabela 11-Očitanja F10

TABLICA OČITANJA										
Forma Jedinice	F10 [m]									
POLUŠIRINE										
rebro	Širnica 45Deg.,200 m	Širnica 15Deg.,550 m	Širnica 5Deg.,900 m	Donji U	Donji V	Gornji U	Gornji V	Razma	Statva	rebro
<b>0.000</b>	0.653	1.736	1.961	1.271	1.600	1.844	1.904	2.001	0.000	<b>0.000</b>
<b>1.000</b>	0.653	1.736	1.961	1.271	1.601	1.845	1.904	2.001	0.000	<b>1.000</b>
<b>2.000</b>	0.653	1.737	1.962	1.272	1.601	1.846	1.905	2.001	0.000	<b>2.000</b>
<b>3.000</b>	0.653	1.738	1.962	1.273	1.602	1.846	1.906	2.002	0.000	<b>3.000</b>
<b>4.000</b>	0.653	1.737	1.963	1.273	1.602	1.846	1.906	2.003	0.000	<b>4.000</b>
<b>5.000</b>	0.652	1.735	1.963	1.269	1.600	1.844	1.905	2.004	0.000	<b>5.000</b>
<b>6.000</b>	0.645	1.720	1.962	1.247	1.572	1.836	1.900	2.005	0.000	<b>6.000</b>
<b>7.000</b>	0.628	1.651	1.945	1.173	1.477	1.793	1.862	1.998	0.000	<b>7.000</b>
<b>8.000</b>	0.573	1.464	1.864	1.005	1.270	1.639	1.716	1.956	0.000	<b>8.000</b>
<b>9.000</b>	0.404	1.102	1.629	0.703	0.896	1.305	1.380	1.814	0.000	<b>9.000</b>
<b>9.500</b>	0.270	0.838	1.416	0.493	0.630	1.048	1.119	1.669	0.000	<b>9.500</b>
<b>10.000</b>	0.105	0.521	1.111	0.238	0.305	0.720	0.783	1.442	0.000	<b>10.000</b>
<b>10.500</b>		0.158	0.686		0.368	0.341	1.086	0.000		<b>10.500</b>
<b>11.000</b>			0.139				0.517	0.000		<b>11.000</b>
<b>11.332</b>							0.000	0.000		<b>11.332</b>

TABLICA OČITANJA										
Forma Jedinice	F10 [m]									
VISINE										
rebro	Širnica 45Deg.,200 m	Širnica 15Deg.,550 m	Širnica 5Deg.,900 m	Donji U	Donji V	Gornji U	Gornji V	Razma	Statva	rebro
<b>0.000</b>	-0.453	0.085	0.728	-0.257	-0.370	0.449	0.449	0.925	-0.657	<b>0.000</b>
<b>1.000</b>	-0.453	0.085	0.728	-0.257	-0.370	0.449	0.449	0.925	-0.657	<b>1.000</b>
<b>2.000</b>	-0.453	0.085	0.728	-0.258	-0.370	0.448	0.448	0.925	-0.657	<b>2.000</b>
<b>3.000</b>	-0.453	0.084	0.728	-0.258	-0.371	0.448	0.448	0.925	-0.658	<b>3.000</b>
<b>4.000</b>	-0.453	0.084	0.728	-0.259	-0.371	0.448	0.448	0.925	-0.659	<b>4.000</b>
<b>5.000</b>	-0.452	0.085	0.728	-0.256	-0.368	0.449	0.449	0.924	-0.659	<b>5.000</b>
<b>6.000</b>	-0.445	0.089	0.728	-0.242	-0.350	0.450	0.451	0.924	-0.659	<b>6.000</b>
<b>7.000</b>	-0.428	0.108	0.730	-0.200	-0.290	0.458	0.460	0.926	-0.660	<b>7.000</b>
<b>8.000</b>	-0.373	0.158	0.737	-0.110	-0.178	0.484	0.484	0.936	-0.637	<b>8.000</b>
<b>9.000</b>	-0.204	0.255	0.757	0.033	-0.011	0.536	0.536	0.963	-0.496	<b>9.000</b>
<b>9.500</b>	-0.070	0.325	0.776	0.121	0.091	0.573	0.574	0.984	-0.306	<b>9.500</b>
<b>10.000</b>	0.095	0.410	0.803	0.217	0.203	0.618	0.619	1.010	-0.003	<b>10.000</b>
<b>10.500</b>		0.508	0.840			0.671	0.671	1.039	0.385	<b>10.500</b>
<b>11.000</b>			0.888				1.069	0.801		<b>11.000</b>
<b>11.332</b>							1.086	1.086		<b>11.332</b>

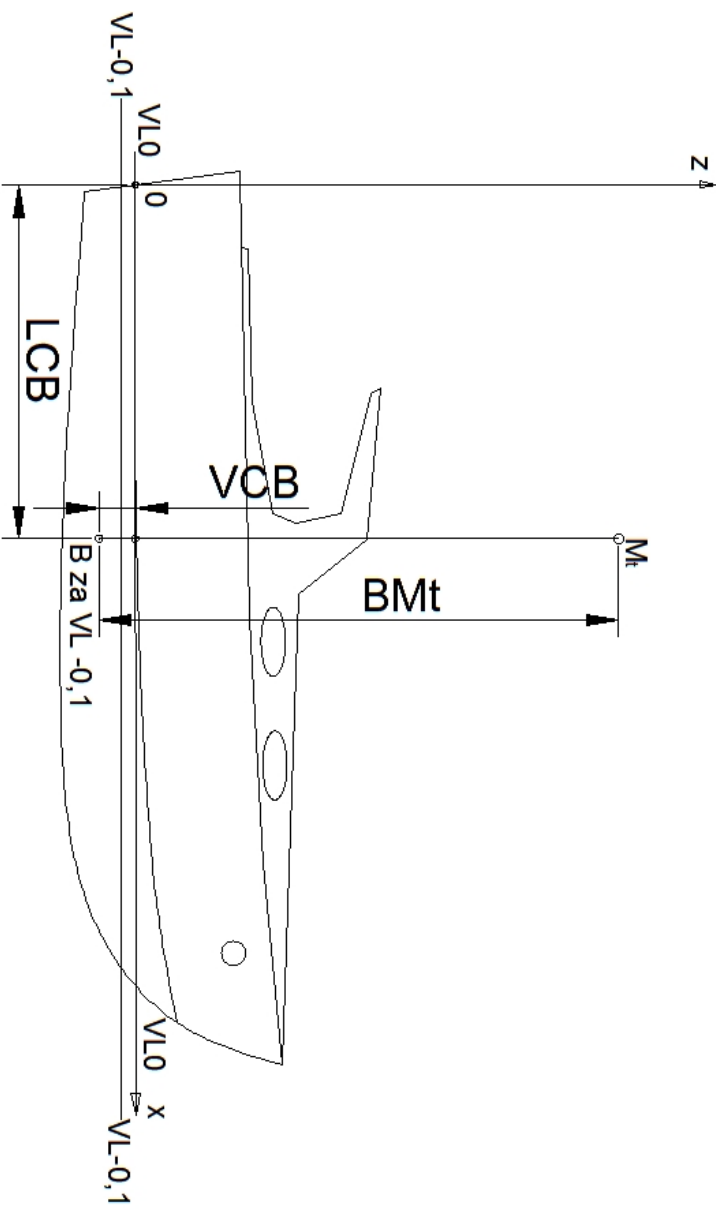
Pramac	x	y	z
Razma	11.332	0	1.086
Donji zgib	10.397	0	0.3
Gornji zgib	10.906	0	0.72

### 3. Hidrostaticki podaci

Hidrostaticki podaci izračunati su iz 3D modela brodskih formi, računalnim programom RhinoMarine. Računati su za gazove na pet vodnih linija međusobno razmaknutih po pet centimetara. Središnja vodna linija jest projektna vodna linija modela na gazu  $T_0$ .

Kao što je objašnjeno u prethodnom poglavljju, ishodište koordinatnog sustava smješteno je s obzirom na projektnu vodnu liniju pa s obzirom na to treba promatrati i navedene podatke.

Slika 34 shematski prikazuje položaj uzdužnog (LCB) i vertikalnog centra istisnine (VCB) te poprečnog metacentarskog radijusa  $BM_t$  za brod na vodnoj liniji  $VL_{0,1}$  koja je smještena 10 cm niže od projektne. Analogno tome pristupamo i drugim podacima.

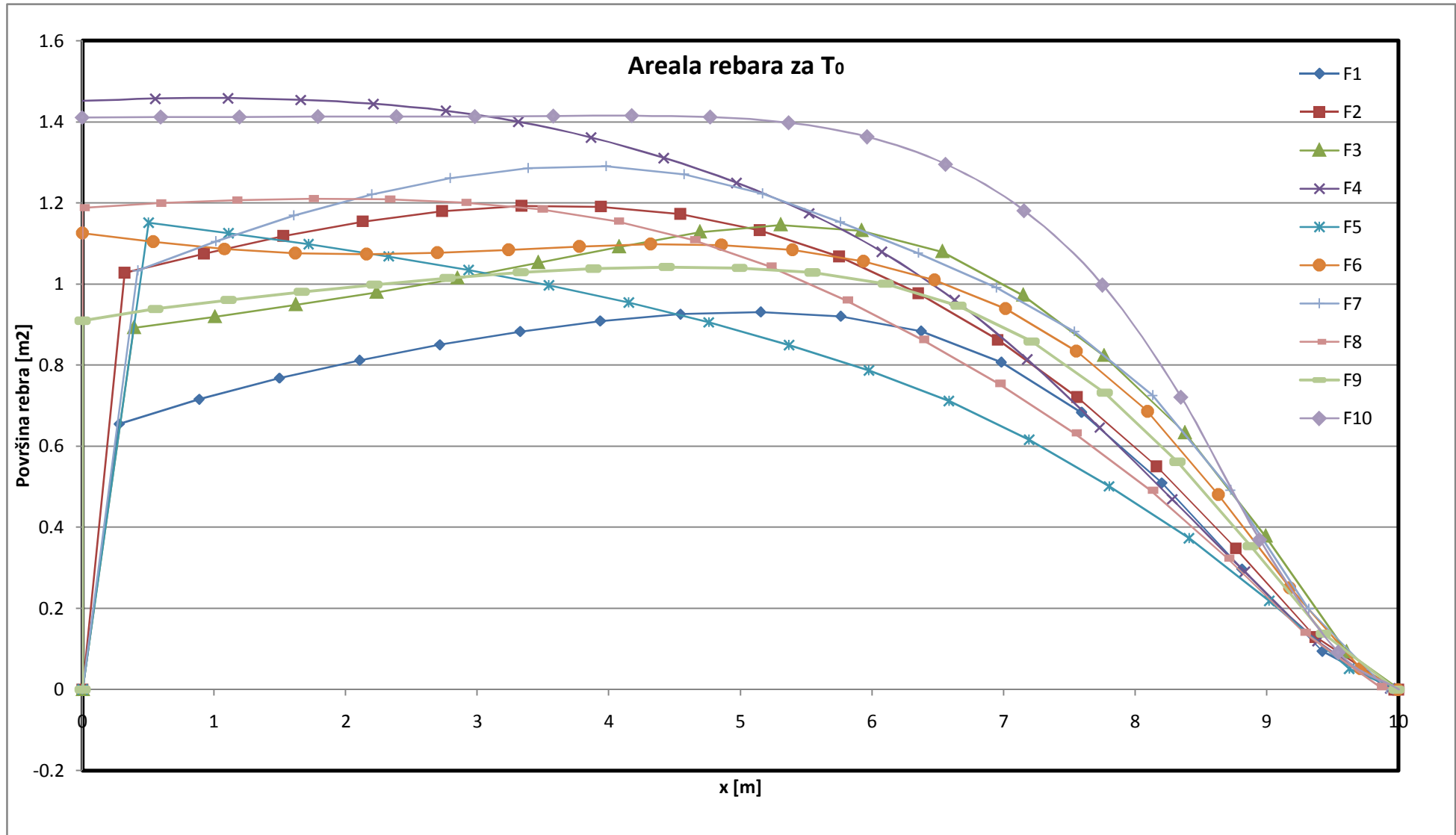


Slika 34-Položaj LCB, VCB i  $BM_t$  u odnosu na koordinatni sustav

### 3.1 Areala rebara za $T_0$

Tabela 12-Površine rebara za  $T_0$

F1	x [m]	0.000	0.277	0.887	1.496	2.106	2.716	3.325	3.935	4.545	5.154	5.764	6.374	6.983	7.593	8.202	8.812	9.422	9.969		
$T_0=0.55m$	A [ $m^2$ ]	0.000	0.655	0.716	0.768	0.812	0.850	0.883	0.909	0.926	0.931	0.921	0.884	0.807	0.684	0.510	0.297	0.094	0.000		
F2	x [m]	0.000	0.319	0.923	1.526	2.129	2.732	3.336	3.939	4.542	5.145	5.749	6.352	6.955	7.558	8.162	8.765	9.368	9.971		
$T_0=0.623m$	A [ $m^2$ ]	0.000	1.027	1.075	1.118	1.154	1.180	1.193	1.191	1.172	1.132	1.067	0.977	0.862	0.721	0.550	0.348	0.130	0.000		
F3	x [m]	0.000	0.391	1.005	1.619	2.234	2.848	3.462	4.077	4.691	5.305	5.920	6.534	7.148	7.763	8.377	8.991	9.606	10.009		
$T_0=0.717m$	A [ $m^2$ ]	0.000	0.892	0.919	0.949	0.980	1.014	1.052	1.092	1.128	1.146	1.132	1.080	0.972	0.823	0.633	0.378	0.093	0.000		
F4	x [m]	0.000	0.552	1.104	1.656	2.208	2.761	3.313	3.865	4.417	4.969	5.521	6.073	6.625	7.178	7.730	8.282	8.834	9.386	9.938	10.005
$T_0=0.739m$	A [ $m^2$ ]	1.451	1.457	1.458	1.454	1.444	1.427	1.400	1.361	1.311	1.250	1.174	1.080	0.961	0.814	0.646	0.469	0.291	0.120	0.003	0.000
F5	x [m]	0.000	0.502	1.110	1.718	2.327	2.935	3.544	4.152	4.761	5.369	5.978	6.586	7.195	7.803	8.412	9.020	9.629	10.002		
$T_0=0.609m$	A [ $m^2$ ]	0.000	1.151	1.125	1.097	1.068	1.034	0.997	0.954	0.905	0.849	0.786	0.711	0.615	0.501	0.372	0.219	0.051	0.000		
F6	x [m]	0.000	0.540	1.079	1.619	2.159	2.698	3.238	3.778	4.317	4.857	5.397	5.936	6.476	7.016	7.555	8.095	8.635	9.174	9.714	9.997
$T_0=0.648m$	A [ $m^2$ ]	1.126	1.104	1.086	1.076	1.074	1.077	1.084	1.092	1.098	1.097	1.084	1.056	1.010	0.940	0.835	0.686	0.481	0.251	0.052	0.000
F7	x [m]	0.000	0.420	1.013	1.606	2.199	2.793	3.386	3.979	4.572	5.166	5.759	6.352	6.946	7.539	8.132	8.725	9.319	9.912	9.957	
$T_0=0.701m$	A [ $m^2$ ]	0.000	1.033	1.105	1.169	1.222	1.261	1.286	1.291	1.271	1.223	1.153	1.077	0.991	0.883	0.725	0.492	0.199	0.001	0.000	
F8	x [m]	0.000	0.580	1.160	1.740	2.320	2.899	3.479	4.059	4.639	5.219	5.799	6.379	6.959	7.539	8.118	8.698	9.278	9.858	9.991	
$T_0=0.631m$	A [ $m^2$ ]	1.189	1.200	1.207	1.211	1.210	1.202	1.185	1.155	1.110	1.044	0.960	0.864	0.755	0.633	0.491	0.324	0.142	0.007	0.000	
F9	x [m]	0.000	0.555	1.110	1.665	2.219	2.774	3.329	3.884	4.439	4.994	5.548	6.103	6.658	7.213	7.768	8.323	8.877	9.432	9.987	
$T_0=0.648m$	A [ $m^2$ ]	0.910	0.939	0.961	0.980	0.999	1.015	1.029	1.038	1.042	1.040	1.029	1.001	0.947	0.859	0.732	0.562	0.354	0.138	0.000	
F10	x [m]	0.000	0.596	1.193	1.789	2.386	2.982	3.579	4.175	4.772	5.368	5.964	6.561	7.157	7.754	8.350	8.947	9.543	10.003		
$T_0=0.660m$	A [ $m^2$ ]	1.411	1.411	1.412	1.412	1.413	1.413	1.414	1.415	1.411	1.397	1.363	1.295	1.180	0.997	0.720	0.369	0.092	0.000		



Slika 35-Graf areala rebara

### 3.2 Tabelarni podaci o plovnosti

Tabela 13-Plovnost F1

<b>T [m]</b>	0.450	0.500	<b>0.550</b>	0.600	0.650
<b>V [m<sup>3</sup>]</b>	4.46	5.71	<b>7.05</b>	8.43	9.85
<b>Δ [kg]</b>	4579	5858	<b>7228</b>	8650	10109
<b>LCB [m]</b>	4.56	4.45	<b>4.39</b>	4.36	4.35
<b>VCB [m]</b>	-0.23	-0.20	<b>-0.16</b>	-0.13	-0.10
<b>S [m<sup>2</sup>]</b>	24.93	27.93	<b>29.79</b>	31.37	32.83
<b>Avl [m]</b>	23.48	26.09	<b>27.28</b>	28.12	28.77
<b>LCF [m]</b>	4.11	4.09	<b>4.17</b>	4.24	4.29
<b>BMt [m]</b>	3.25	3.48	<b>3.13</b>	2.78	2.48
<b>BMI [m]</b>	32.11	28.07	<b>24.10</b>	21.21	18.99
<b>Jedinični zagađaj [kg/cm]</b>	240.91	267.68	<b>279.89</b>	288.51	295.10
<b>Jedinični trim [kgm/cm]</b>	149.84	165.59	<b>173.57</b>	180.81	187.37
<b>Cb</b>	0.33	0.34	<b>0.37</b>	0.40	0.43
<b>Cm</b>	0.46	0.45	<b>0.49</b>	0.53	0.56
<b>Cwp</b>	0.79	0.77	<b>0.79</b>	0.80	0.81
<b>Cp</b>	0.72	0.75	<b>0.76</b>	0.76	0.76

Tabela 14 -Plovnost F2

<b>T [m]</b>	0.523	0.573	<b>0.623</b>	0.673	0.723
<b>V [m<sup>3</sup>]</b>	6.43	7.61	<b>8.88</b>	10.24	11.68
<b>Δ [kg]</b>	6601	7807	<b>9106</b>	10501	11982
<b>LCB [m]</b>	4.15	4.14	<b>4.13</b>	4.13	4.13
<b>VCB [m]</b>	-0.28	-0.25	<b>-0.22</b>	-0.19	-0.15
<b>S [m<sup>2</sup>]</b>	25.31	27.55	<b>29.81</b>	32.08	34.03
<b>Avl [m]</b>	22.57	24.42	<b>26.27</b>	28.11	29.49
<b>LCF [m]</b>	4.11	4.10	<b>4.10</b>	4.09	4.13
<b>BMt [m]</b>	2.05	2.19	<b>2.32</b>	2.45	2.44
<b>BMI [m]</b>	20.86	19.30	<b>18.00</b>	16.88	15.60
<b>Jedinični zagađaj [kgm/cm]</b>	231.59	250.53	<b>269.48</b>	288.37	302.59
<b>Jedinični trim [kgm/cm]</b>	138.57	150.23	<b>161.92</b>	173.54	181.44
<b>Cb</b>	0.42	0.42	<b>0.41</b>	0.41	0.41
<b>Cm</b>	0.56	0.56	<b>0.55</b>	0.55	0.56
<b>Cwp</b>	0.77	0.76	<b>0.76</b>	0.75	0.75
<b>Cp</b>	0.75	0.74	<b>0.74</b>	0.74	0.74

Tabela 15-Plovnost F3

<b>T [m]</b>	0.617	0.667	<b>0.717</b>	0.767	0.817
<b>V [m<sup>3</sup>]</b>	6.25	7.41	<b>8.74</b>	10.12	11.53
<b>Δ [kg]</b>	6416	7600	<b>8966</b>	10380	11826
<b>LCB [m]</b>	4.61	4.55	<b>4.49</b>	4.45	4.42
<b>VCB [m]</b>	-0.28	-0.25	<b>-0.22</b>	-0.18	-0.15
<b>S [m<sup>2</sup>]</b>	24.97	28.63	<b>31.41</b>	32.95	34.41
<b>Avl [m]</b>	22.02	25.24	<b>27.20</b>	27.90	28.48
<b>LCF [m]</b>	4.28	4.18	<b>4.15</b>	4.21	4.25
<b>BMt [m]</b>	1.87	2.49	<b>2.61</b>	2.38	2.17
<b>BMI [m]</b>	21.42	20.19	<b>18.75</b>	16.86	15.37
<b>Jedinični zagažaj [kg/cm]</b>	225.94	258.97	<b>279.09</b>	286.20	292.21
<b>Jedinični trim [kgm/cm]</b>	137.77	152.71	<b>166.00</b>	171.45	176.59
<b>C<sub>b</sub></b>	0.37	0.32	<b>0.35</b>	0.37	0.39
<b>C<sub>m</sub></b>	0.49	0.42	<b>0.45</b>	0.49	0.51
<b>C<sub>wp</sub></b>	0.80	0.72	<b>0.77</b>	0.78	0.79
<b>C<sub>p</sub></b>	0.74	0.75	<b>0.76</b>	0.76	0.76

Tabela 16-Plovnost F4

<b>T [m]</b>	0.639	0.689	<b>0.739</b>	0.789	0.839
<b>V [m<sup>3</sup>]</b>	7.94	9.14	<b>10.37</b>	11.64	12.93
<b>Δ [kg]</b>	8148	9379	<b>10643</b>	11938	13260
<b>LCB [m]</b>	3.77	3.79	<b>3.80</b>	3.83	3.85
<b>VCB [m]</b>	-0.30	-0.27	<b>-0.24</b>	-0.21	-0.18
<b>S [m<sup>2</sup>]</b>	28.13	29.56	<b>30.94</b>	32.31	33.65
<b>Avl [m]</b>	23.64	24.34	<b>24.96</b>	25.52	26.03
<b>LCF [m]</b>	3.87	3.92	<b>3.97</b>	4.01	4.06
<b>BMt [m]</b>	2.03	1.88	<b>1.75</b>	1.64	1.54
<b>BMI [m]</b>	17.45	15.80	<b>14.45</b>	13.32	12.37
<b>Jedinični zagažaj [kg/cm]</b>	242.53	249.66	<b>256.01</b>	261.81	267.04
<b>Jedinični trim [kgm/cm]</b>	141.53	146.55	<b>151.08</b>	155.25	159.09
<b>C<sub>b</sub></b>	0.38	0.41	<b>0.43</b>	0.44	0.46
<b>C<sub>m</sub></b>	0.54	0.57	<b>0.60</b>	0.62	0.64
<b>C<sub>wp</sub></b>	0.73	0.75	<b>0.76</b>	0.76	0.77
<b>C<sub>p</sub></b>	0.71	0.71	<b>0.71</b>	0.71	0.72

Tabela 17-Plovnost F5

<b>T [m]</b>	0.509	0.559	<b>0.609</b>	0.659	0.709
<b>V [m<sup>3</sup>]</b>	5.24	6.41	<b>7.70</b>	9.10	10.58
<b>Δ [kg]</b>	5379	6581	<b>7898</b>	9335	10854
<b>LCB [m]</b>	3.76	3.81	<b>3.85</b>	3.89	3.92
<b>VCB [m]</b>	-0.26	-0.22	<b>-0.19</b>	-0.16	-0.12
<b>S [m<sup>2</sup>]</b>	24.72	27.34	<b>30.11</b>	32.76	34.68
<b>Avl [m]</b>	22.32	24.56	<b>26.92</b>	28.99	30.16
<b>LCF [m]</b>	4.01	4.05	<b>4.06</b>	4.12	4.20
<b>BMT [m]</b>	2.47	2.66	<b>2.89</b>	3.01	2.83
<b>BML [m]</b>	25.82	23.41	<b>21.64</b>	19.58	17.76
<b>Jedinični zagađaj [kg/cm]</b>	228.95	251.94	<b>276.15</b>	297.38	309.42
<b>Jedinični trim [kgm/cm]</b>	140.17	154.09	<b>169.36</b>	179.78	188.18
<b>Cb</b>	0.34	0.35	<b>0.34</b>	0.36	0.39
<b>Cm</b>	0.52	0.52	<b>0.51</b>	0.54	0.56
<b>Cwp</b>	0.74	0.74	<b>0.72</b>	0.76	0.78
<b>Cp</b>	0.65	0.66	<b>0.67</b>	0.68	0.69

Tabela 18-Plovnost F6

<b>T [m]</b>	0.548	0.598	<b>0.648</b>	0.698	0.748
<b>V [m<sup>3</sup>]</b>	6.41	7.70	<b>9.03</b>	10.38	11.76
<b>Δ [kg]</b>	6573	7901	<b>9261</b>	10648	12061
<b>LCB [m]</b>	4.21	4.21	<b>4.21</b>	4.22	4.23
<b>VCB [m]</b>	-0.25	-0.22	<b>-0.19</b>	-0.16	-0.14
<b>S [m<sup>2</sup>]</b>	27.74	29.04	<b>30.26</b>	31.45	32.62
<b>Avl [m]</b>	25.52	26.22	<b>26.79</b>	27.30	27.77
<b>LCF [m]</b>	4.14	4.20	<b>4.25</b>	4.29	4.33
<b>BMT [m]</b>	2.85	2.51	<b>2.25</b>	2.04	1.86
<b>BML [m]</b>	24.65	21.40	<b>18.94</b>	17.01	15.47
<b>Jedinični zagađaj [kg/cm]</b>	261.77	268.94	<b>274.85</b>	280.06	284.88
<b>Jedinični trim [kgm/cm]</b>	162.12	168.35	<b>173.68</b>	178.39	182.77
<b>Cb</b>	0.37	0.40	<b>0.43</b>	0.46	0.48
<b>Cm</b>	0.47	0.51	<b>0.55</b>	0.57	0.60
<b>Cwp</b>	0.81	0.82	<b>0.83</b>	0.84	0.84
<b>Cp</b>	0.78	0.79	<b>0.79</b>	0.80	0.80

Tabela 19-Plovnost F7

<b>T [m]</b>	0.601	0.651	<b>0.701</b>	0.751	0.801
<b>V [m<sup>3</sup>]</b>	6.83	8.27	<b>9.76</b>	11.28	12.83
<b>Δ [kg]</b>	7007	8485	<b>10008</b>	11569	13160
<b>LCB [m]</b>	4.38	4.31	<b>4.27</b>	4.24	4.23
<b>VCB [m]</b>	-0.26	-0.23	<b>-0.20</b>	-0.17	-0.14
<b>S [m<sup>2</sup>]</b>	31.00	32.75	<b>34.34</b>	35.82	37.25
<b>Avl [m]</b>	28.28	29.30	<b>30.09</b>	30.74	31.30
<b>LCF [m]</b>	3.94	4.01	<b>4.07</b>	4.12	4.16
<b>BMt [m]</b>	4.05	3.61	<b>3.22</b>	2.90	2.63
<b>BMI [m]</b>	24.23	20.95	<b>18.52</b>	16.63	15.13
<b>Jedinični zagađaj [kg/cm]</b>	290.17	300.59	<b>308.70</b>	315.40	321.10
<b>Jedinični trim [kgm/cm]</b>	171.21	177.99	<b>184.13</b>	189.85	195.03
<b>Cb</b>	0.29	0.33	<b>0.35</b>	0.38	0.40
<b>Cm</b>	0.38	0.43	<b>0.47</b>	0.50	0.53
<b>Cwp</b>	0.73	0.75	<b>0.76</b>	0.77	0.78
<b>Cp</b>	0.77	0.76	<b>0.76</b>	0.76	0.76

Tabela 20-Plovnost F8

<b>T [m]</b>	0.531	0.581	<b>0.631</b>	0.681	0.731
<b>V [m<sup>3</sup>]</b>	6.48	7.64	<b>8.85</b>	10.09	11.35
<b>Δ [kg]</b>	6645	7840	<b>9076</b>	10347	11647
<b>LCB [m]</b>	3.81	3.84	<b>3.87</b>	3.91	3.94
<b>VCB [m]</b>	-0.28	-0.25	<b>-0.22</b>	-0.19	-0.16
<b>S [m<sup>2</sup>]</b>	25.28	26.79	<b>28.17</b>	29.48	30.73
<b>Avl [m]</b>	22.80	23.73	<b>24.47</b>	25.07	25.58
<b>LCF [m]</b>	3.97	4.05	<b>4.13</b>	4.20	4.26
<b>BMt [m]</b>	2.17	2.02	<b>1.85</b>	1.70	1.57
<b>BMI [m]</b>	20.67	18.48	<b>16.75</b>	15.34	14.17
<b>Jedinični zagađaj [kg/cm]</b>	233.91	243.45	<b>251.05</b>	257.23	262.47
<b>Jedinični trim [kgm/cm]</b>	138.13	144.36	<b>150.22</b>	155.51	160.36
<b>Cb</b>	0.39	0.42	<b>0.44</b>	0.46	0.48
<b>Cm</b>	0.54	0.57	<b>0.60</b>	0.62	0.64
<b>Cwp</b>	0.73	0.75	<b>0.76</b>	0.78	0.78
<b>Cp</b>	0.72	0.73	<b>0.73</b>	0.74	0.74

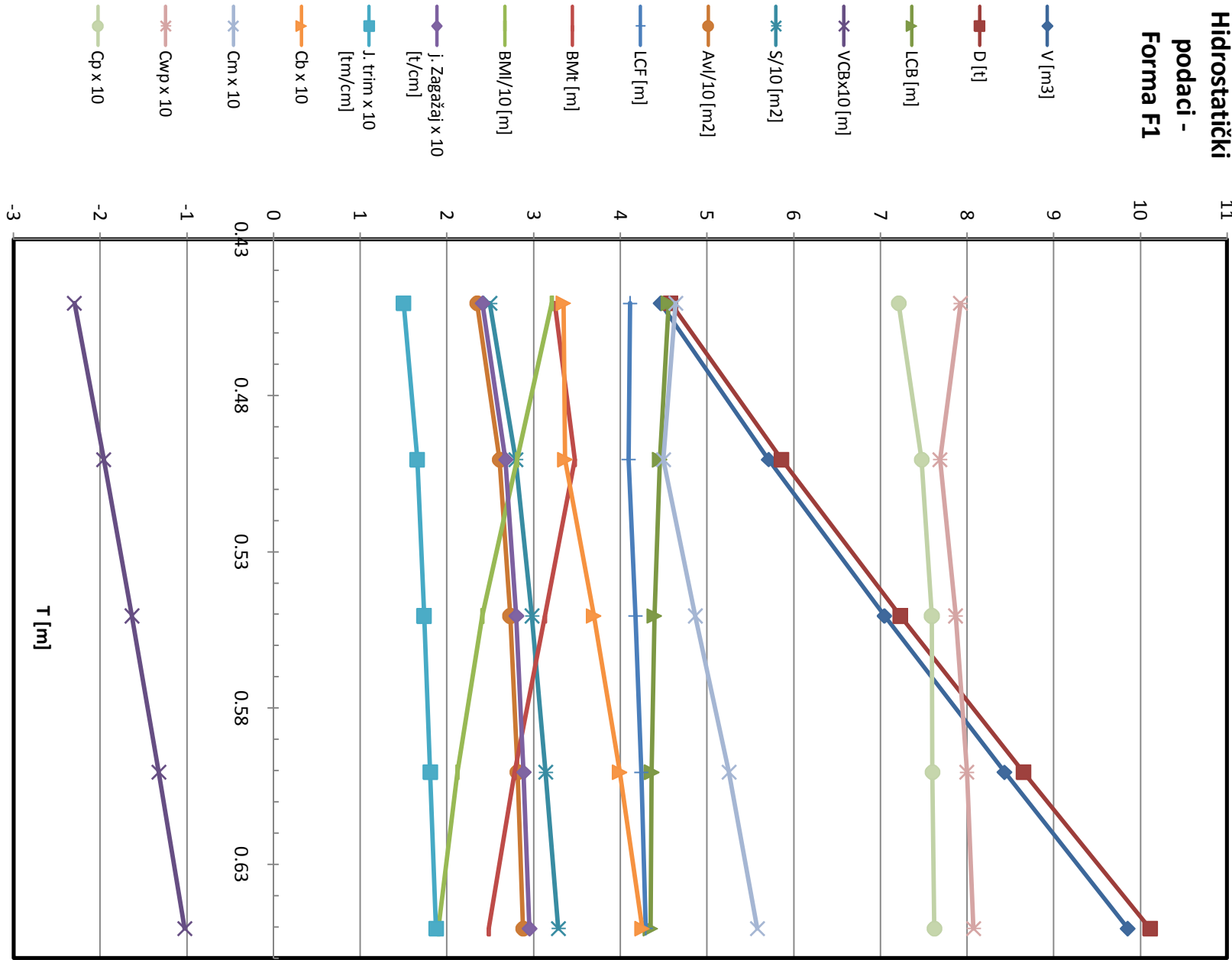
Tabela 21-Plovnost F9

<b>T [m]</b>	0.548	0.598	<b>0.648</b>	0.698	0.748
<b>V [m<sup>3</sup>]</b>	5.82	7.06	<b>8.36</b>	9.71	11.08
<b>Δ [kg]</b>	5974	7244	<b>8579</b>	9958	11372
<b>LCB [m]</b>	4.32	4.28	<b>4.27</b>	4.28	4.29
<b>VCB [m]</b>	-0.26	-0.23	<b>-0.20</b>	-0.16	-0.13
<b>S [m<sup>2</sup>]</b>	25.81	27.74	<b>29.33</b>	30.71	32.00
<b>Avl [m]</b>	23.93	25.48	<b>26.52</b>	27.25	27.85
<b>LCF [m]</b>	4.11	4.17	<b>4.25</b>	4.33	4.39
<b>BMt [m]</b>	2.57	2.51	<b>2.33</b>	2.13	1.94
<b>BMI [m]</b>	26.18	23.01	<b>20.44</b>	18.45	16.85
<b>Jedinični zagađaj [kg/m/cm]</b>	245.51	261.36	<b>272.07</b>	279.60	285.68
<b>Jedinični trim [kgm/cm]</b>	157.37	166.41	<b>173.68</b>	180.75	187.28
<b>C<sub>b</sub></b>	0.34	0.37	<b>0.40</b>	0.43	0.45
<b>C<sub>m</sub></b>	0.43	0.47	<b>0.50</b>	0.53	0.56
<b>C<sub>wp</sub></b>	0.77	0.81	<b>0.83</b>	0.84	0.85
<b>C<sub>p</sub></b>	0.80	0.80	<b>0.80</b>	0.80	0.81

Tabela 22-Plovnost F10

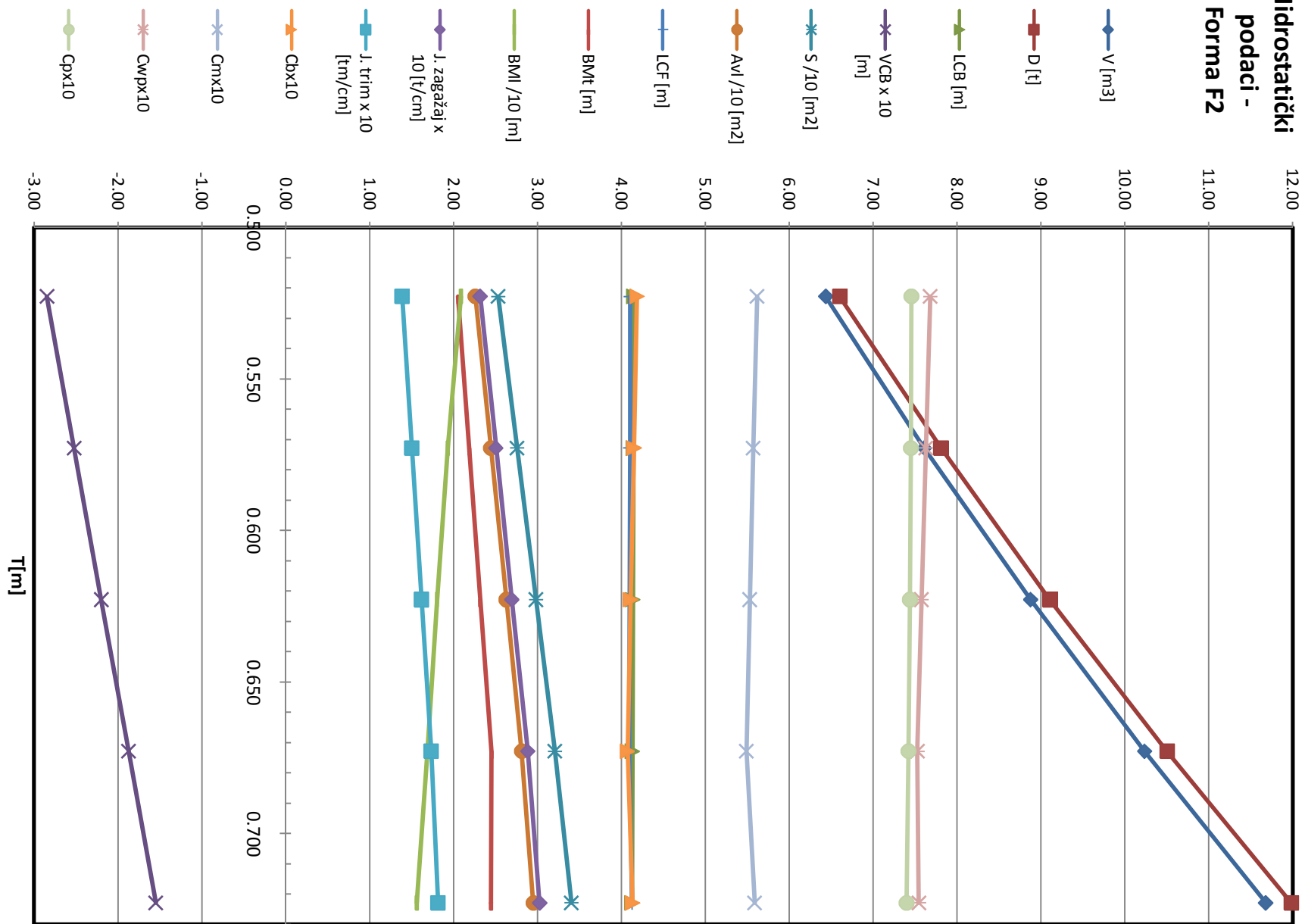
<b>T [m]</b>	0.560	0.610	<b>0.660</b>	0.710	0.760
<b>V [m<sup>3</sup>]</b>	8.65	10.10	<b>11.57</b>	13.08	14.61
<b>Δ [kg]</b>	8876	10358	<b>11872</b>	13417	14990
<b>LCB [m]</b>	4.10	4.13	<b>4.16</b>	4.19	4.22
<b>VCB [m]</b>	-0.28	-0.25	<b>-0.22</b>	-0.19	-0.17
<b>S [m<sup>2</sup>]</b>	33.35	34.72	<b>36.04</b>	37.32	38.59
<b>Avl [m]</b>	28.54	29.21	<b>29.82</b>	30.40	30.95
<b>LCF [m]</b>	4.29	4.35	<b>4.41</b>	4.45	4.50
<b>BMt [m]</b>	2.83	2.52	<b>2.28</b>	2.09	1.94
<b>BMI [m]</b>	21.05	18.97	<b>17.31</b>	15.96	14.84
<b>Jedinični zagađaj [kg/m/cm]</b>	292.82	299.66	<b>305.95</b>	311.85	317.48
<b>Jedinični trim [kgm/cm]</b>	187.89	195.72	<b>202.84</b>	209.40	215.43
<b>C<sub>b</sub></b>	0.47	0.49	<b>0.51</b>	0.53	0.54
<b>C<sub>m</sub></b>	0.57	0.60	<b>0.63</b>	0.65	0.66
<b>C<sub>wp</sub></b>	0.86	0.87	<b>0.87</b>	0.87	0.88
<b>C<sub>p</sub></b>	0.82	0.82	<b>0.82</b>	0.82	0.82

### 3.3 Grafički podaci o plovnosti

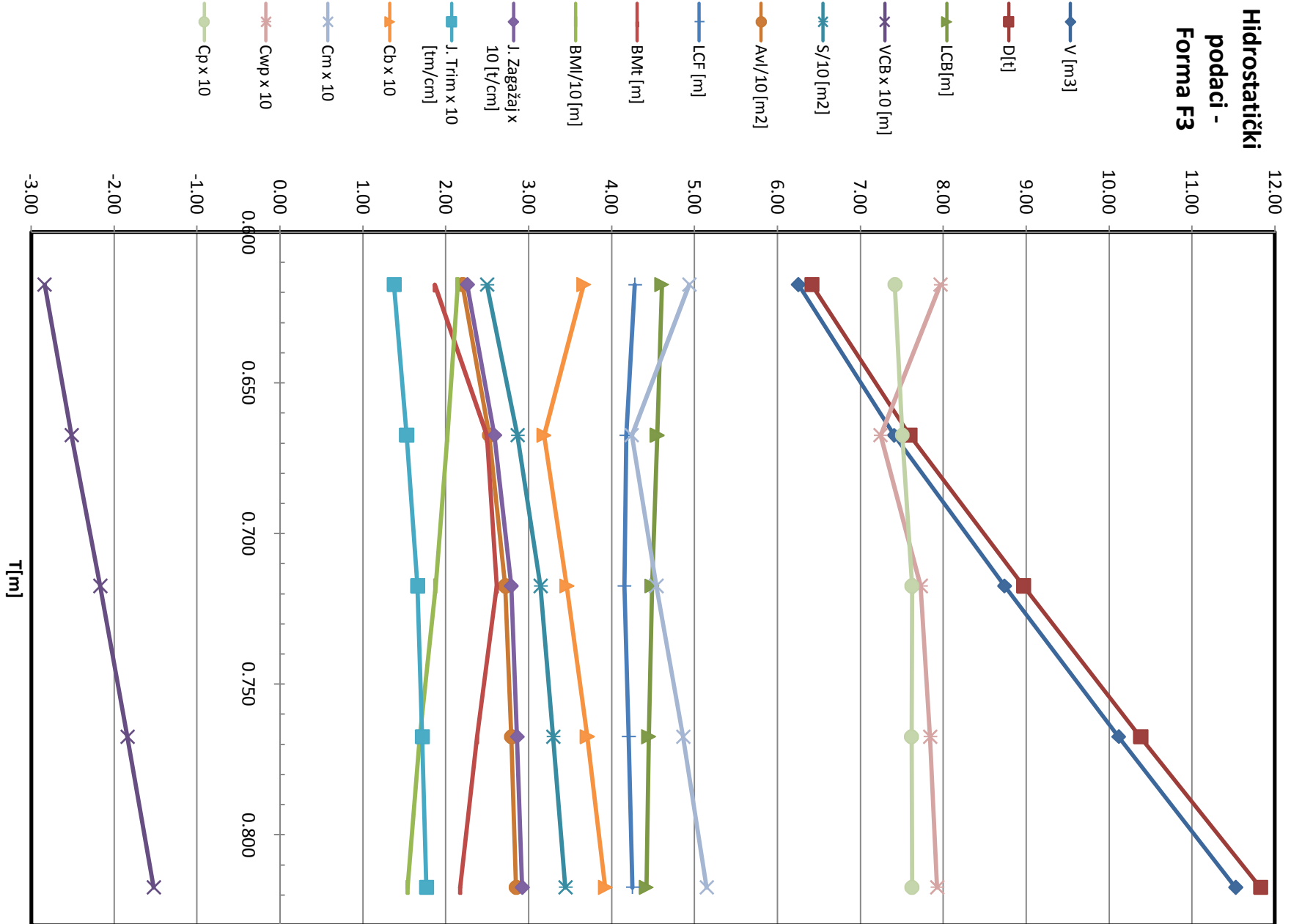


Slika 36-Plovnost F1

## Hidrostatickí podaci - Forma F2

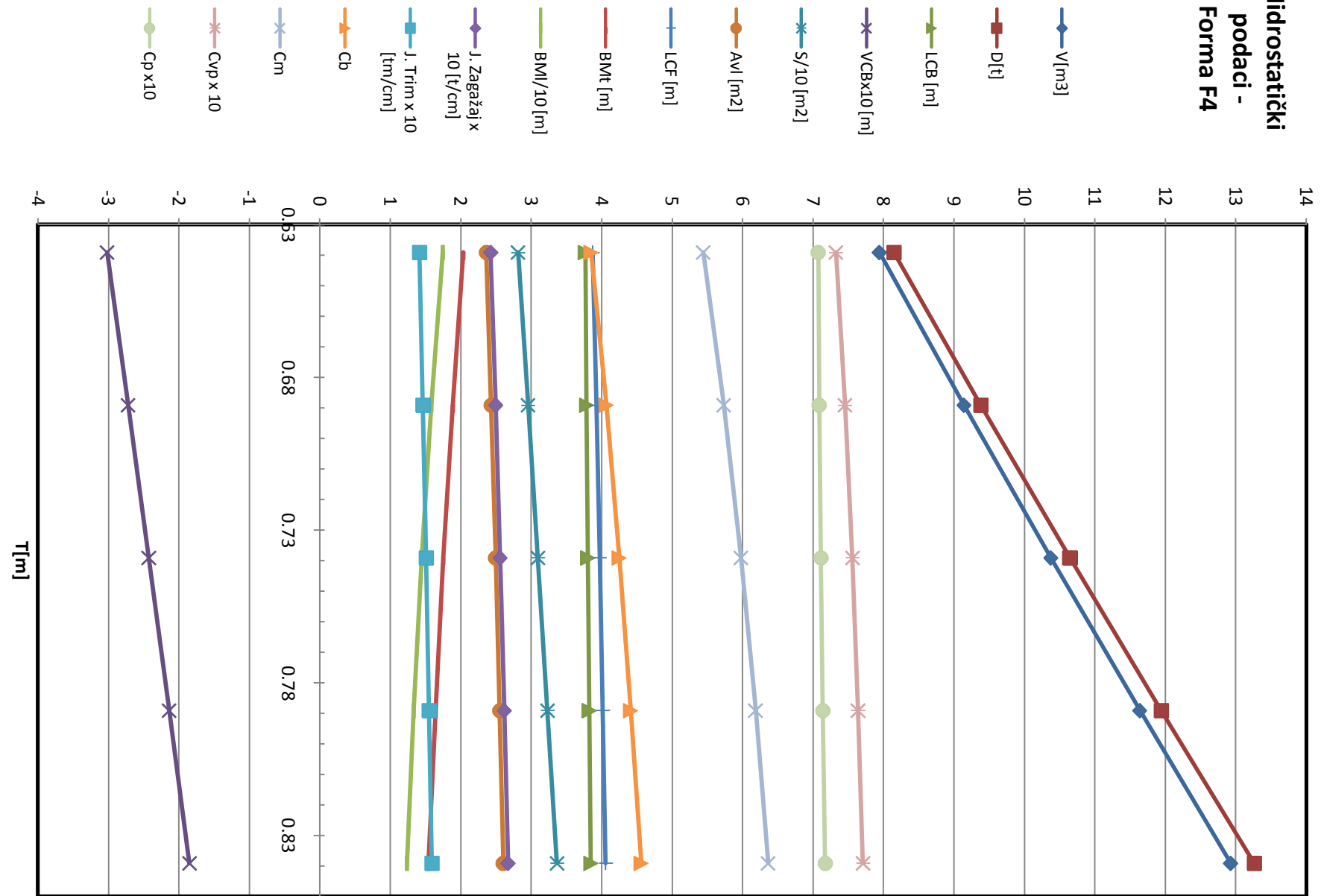


Slika 37 - Plovnost F2



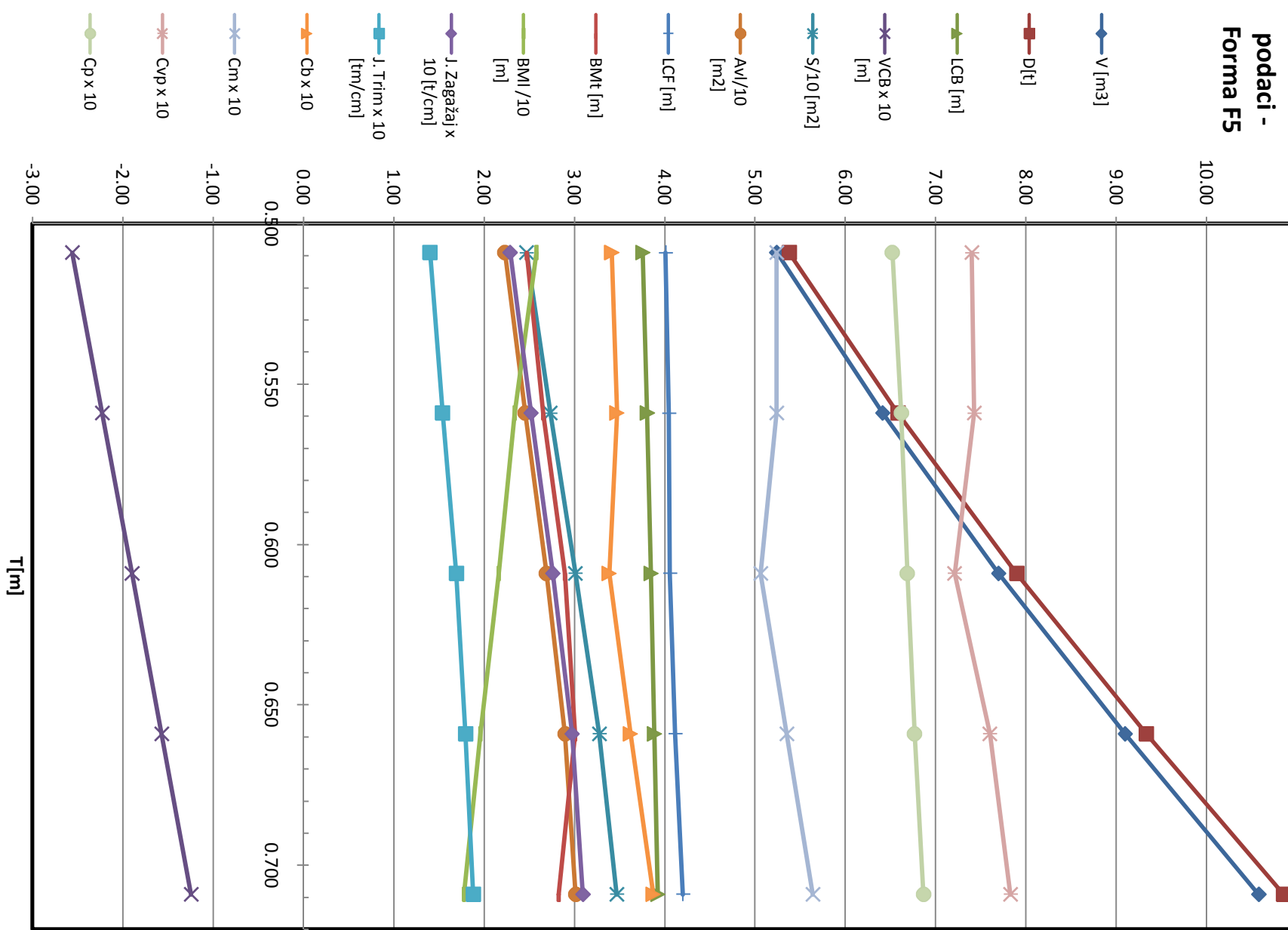
Slika 38- Plovnost F3

## Hidrostaticki podaci - Forma F4



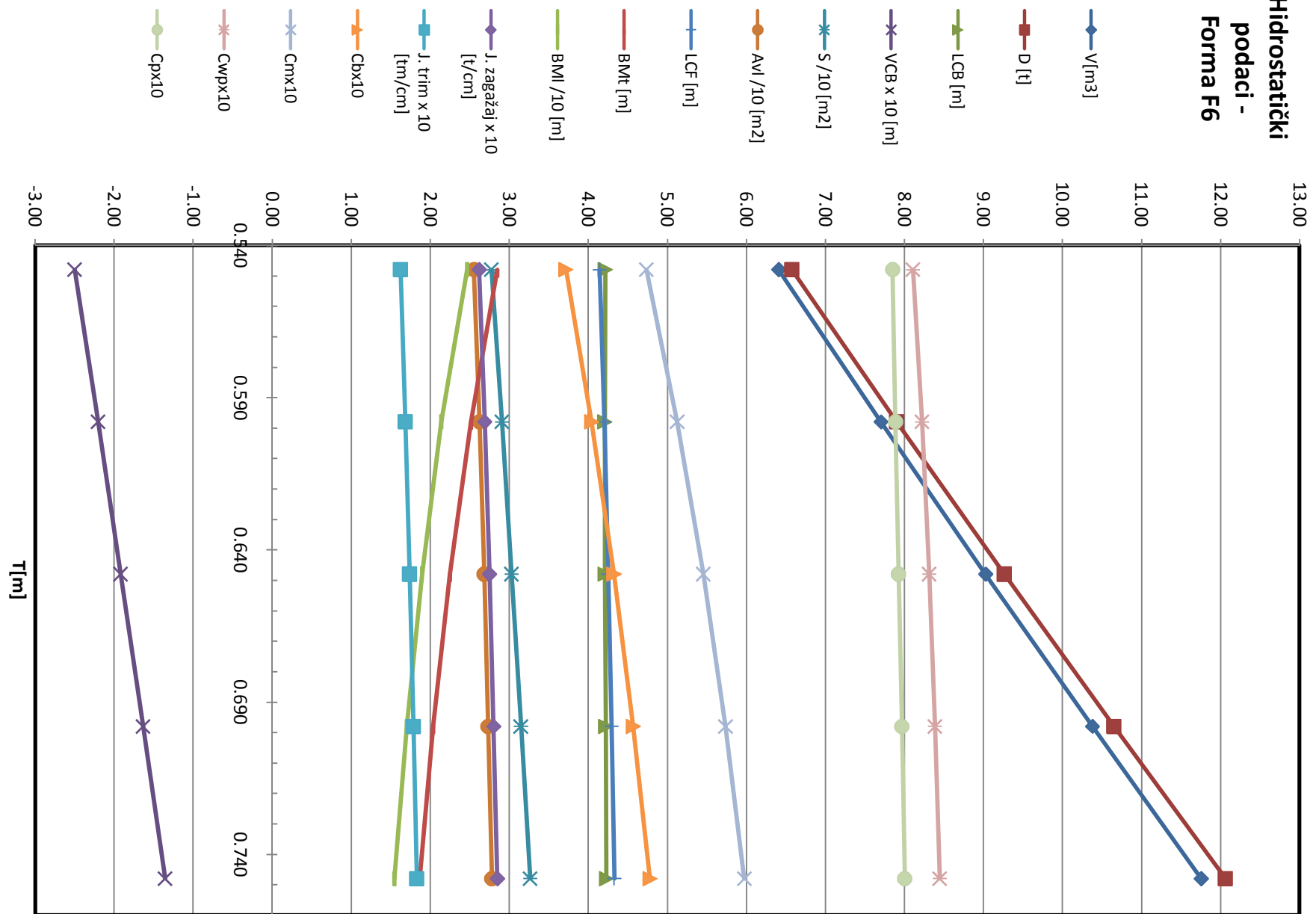
Slika 39- Plovnost F4

## Hidrostaticki podaci - Forma F5



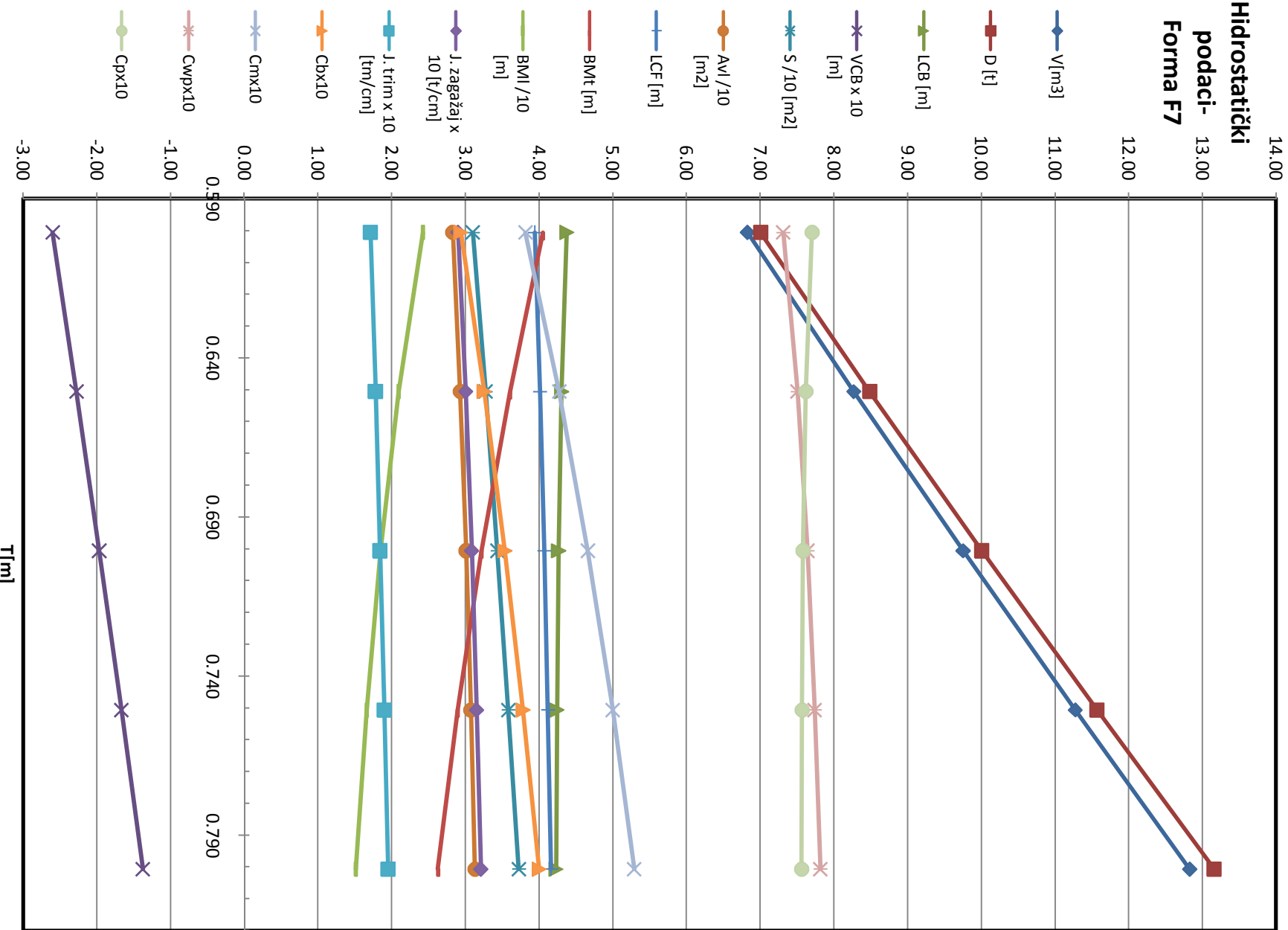
Slika 40- Plovnost F5

## Hidrostatički podaci - Forma F6



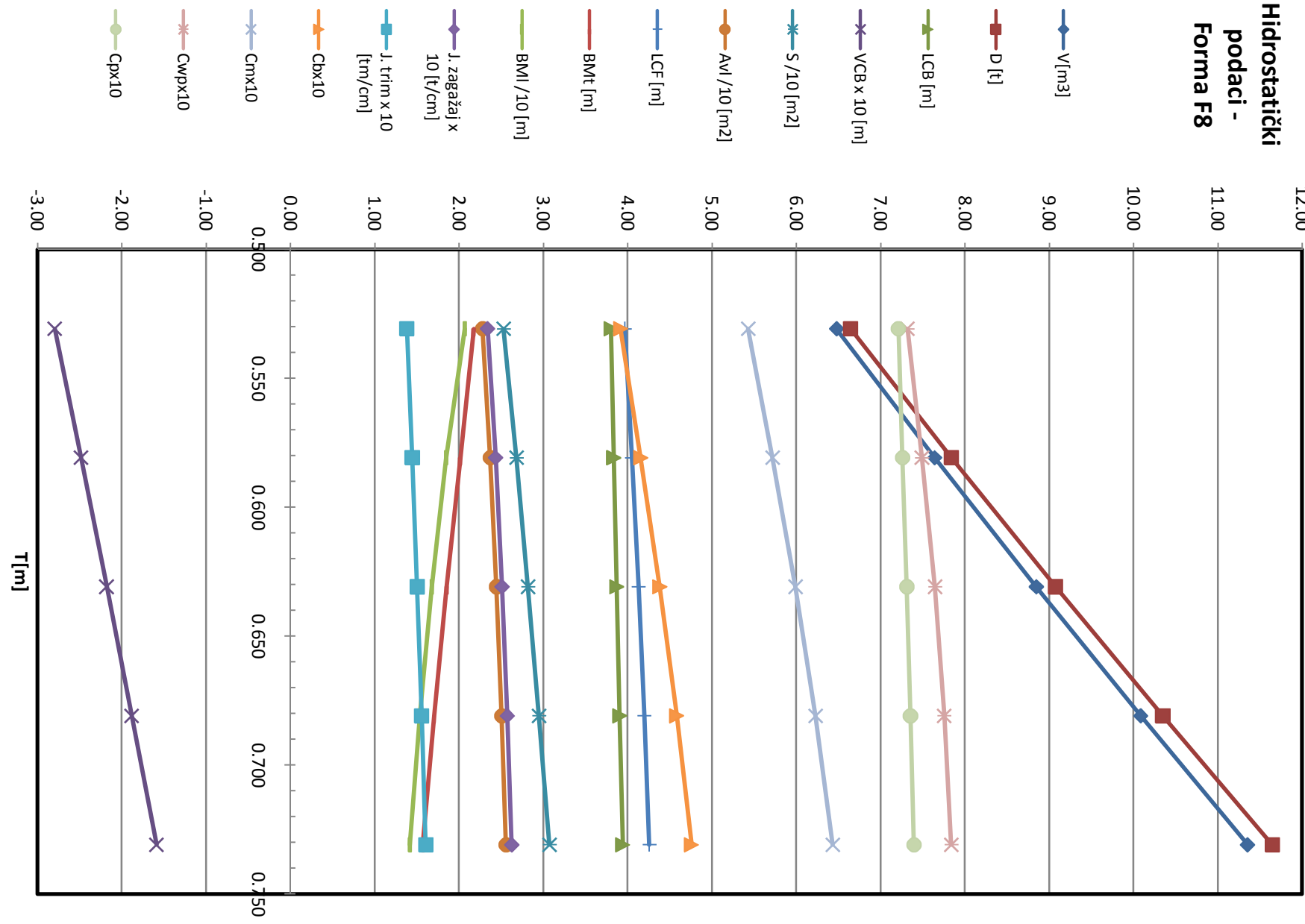
Slika 41- Plovnost F6

## Hidrostaticčki podaci- Forma F7



Slika 42- Plovnost F7

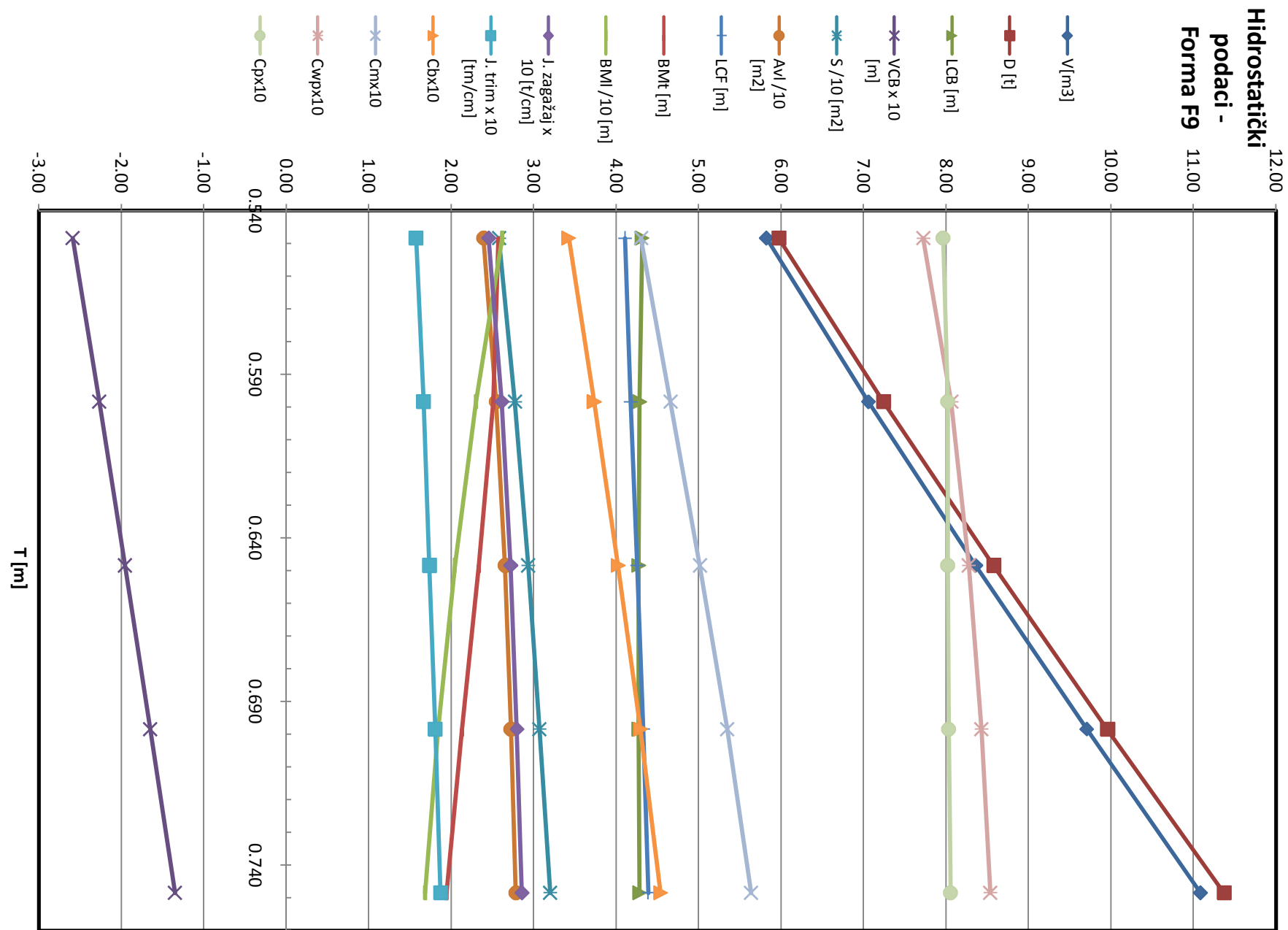
## Hidrostaticki podaci - Forma F8



Slika 43- Plovnost F8

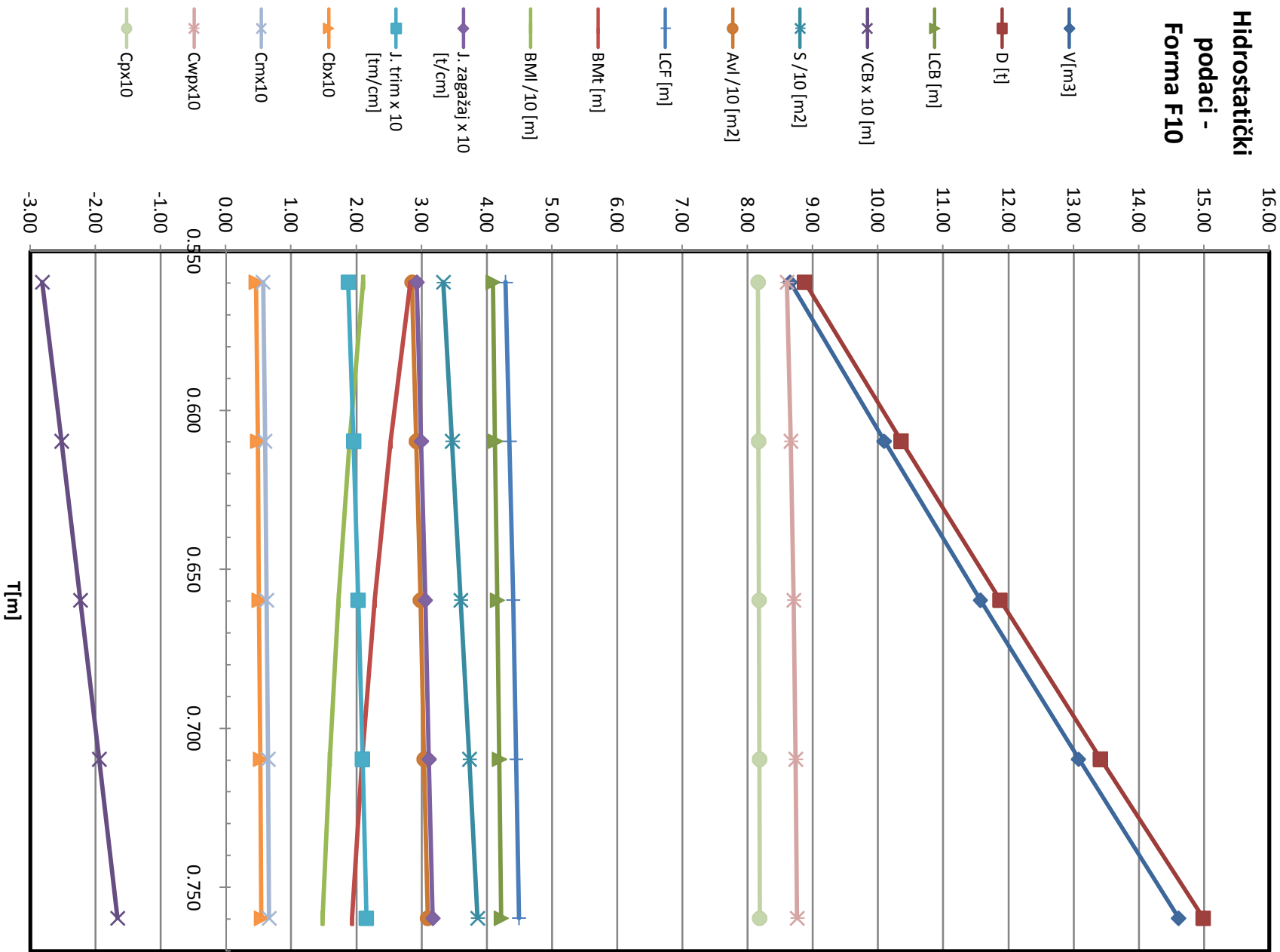
## Hidrostatickí podaci -

### Forma F9



Slika 44- Plovnost F9

## Hidrostaticki podaci - Forma F10



Slika 45- Plovnost F10

### 3.4 Stabilitet formi

Nisu poznate lokacije težista masa brodova pa je za sve forme pretpostavljeno da je njihove vertikalna pozicija 1 m iznad projektne vodne linije, osim toga pretpostavlja se i da su brodovi bez trima na projektom gazu. U modelima formi nema nadgrada koje inače kod većih nagiba bitno utječe na stabilitet. Polazeći od ovih pretpostavki zasigurno se ne mogu točno utvrditi podaci, ali se može odrediti njihov red veličina kao i međusobno uspoređivati utjecaj oblika formi na stabilitet.

Napomena: Formama F6 i F9 nadvođe neprirodno završava pa za njih podatke treba uzimati obazrivo.

Dakle za:

$$VCG = 1 \text{ m}$$

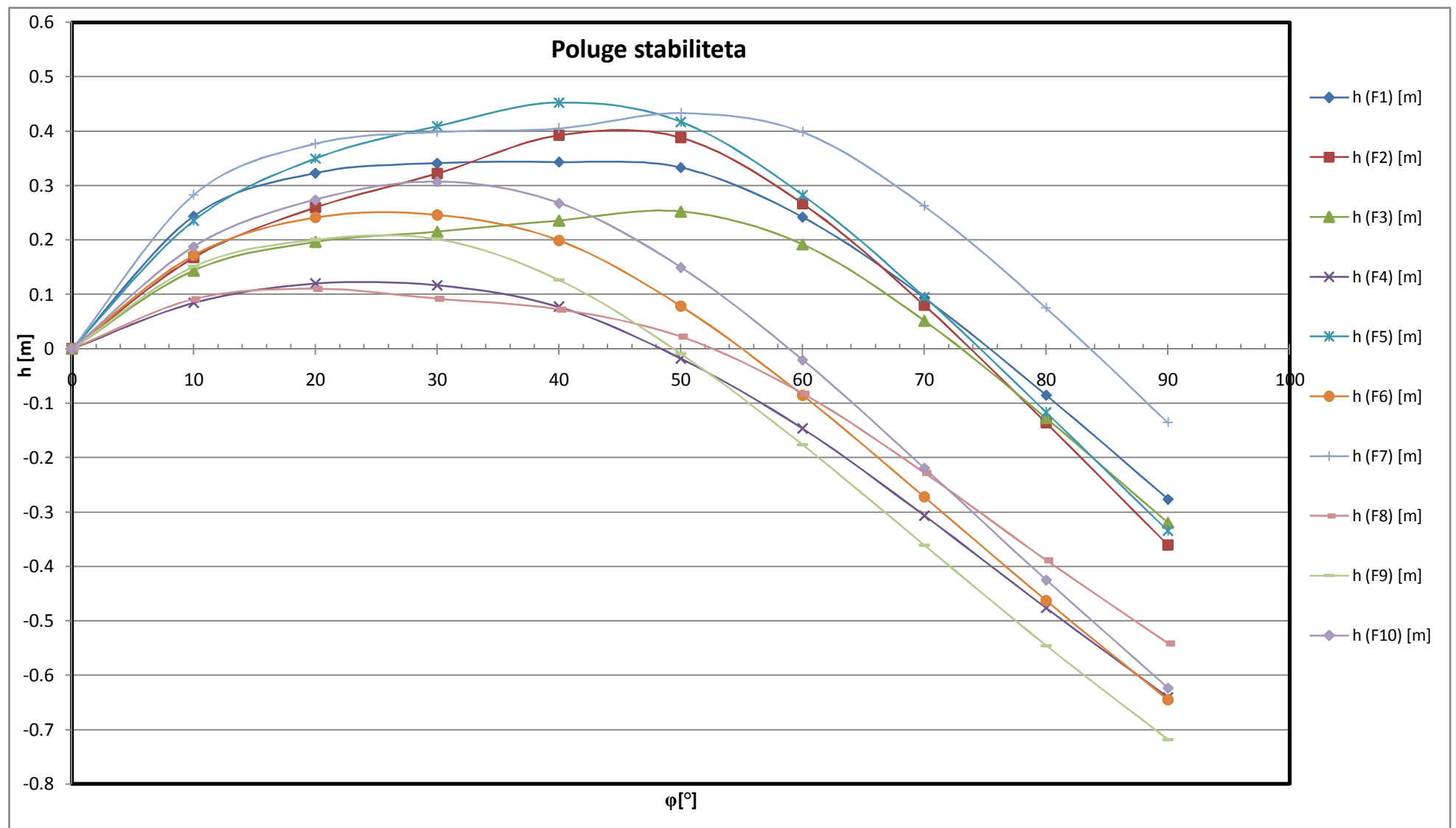
$$LCG = LCB$$

Tabela 23-Početna metacentarska visina i moment

	$T_0$ [m]	GMT [m]	Mst [kg/m] pri $1^\circ$
F1	0.550	1.97	248.59
F2	0.623	1.10	174.69
F3	0.717	1.40	218.65
F4	0.739	0.51	94.96
F5	0.609	1.70	234.91
F6	0.648	1.05	170.45
F7	0.701	2.02	353.07
F8	0.631	0.61	96.98
F9	0.648	1.14	170.59
F10	0.660	1.06	220.02

Tabela 24-Počuće stabiliteta

$\varphi^\circ$	$h(F1)$ [m]	$h(F2)$ [m]	$h(F3)$ [m]	$h(F4)$ [m]	$h(F5)$ [m]	$h(F6)$ [m]	$h(F7)$ [m]	$h(F8)$ [m]	$h(F9)$ [m]	$h(F10)$ [m]
	$T_0 = 0.55$ m	$T =$ m	$T = 0.66$ m							
0	0.000	0.000	0.000	0.000	0.000	0.000	0.000	0.000	0.000	0.000
10	0.243	0.168	0.144	0.084	0.235	0.172	0.283	0.091	0.151	0.188
20	0.323	0.260	0.196	0.120	0.349	0.241	0.377	0.110	0.200	0.274
30	0.341	0.322	0.215	0.116	0.409	0.246	0.398	0.092	0.202	0.307
40	0.343	0.392	0.236	0.077	0.452	0.199	0.405	0.072	0.127	0.268
50	0.333	0.388	0.252	-0.018	0.417	0.078	0.433	0.022	-0.009	0.150
60	0.242	0.267	0.192	-0.146	0.282	-0.085	0.398	-0.082	-0.177	-0.021
70	0.094	0.080	0.051	-0.306	0.095	-0.272	0.262	-0.228	-0.361	-0.219
80	-0.085	-0.136	-0.127	-0.476	-0.117	-0.463	0.075	-0.389	-0.545	-0.425
90	-0.276	-0.361	-0.320	-0.641	-0.335	-0.645	-0.136	-0.541	-0.718	-0.623



Slika 46-Poluge stabiliteta

## 4. Hidrodinamika formi

Otpor i hidrodinamički parametri formi računati su računalnim programom Orca 3D, a programom MaxSurf odnosno njegovim modulom Hullspeed je vršena kontrola.

NavCAD koji je inače bio zadan za upotrebu pri izradi ovog rada, nije bio primjenjen zbog njegove privremene nedostupnosti pa je korištena Orca 3D. To je software kompatibilan s NavCAD-om i služi se istom HydroComp-ovom bazom podataka za predviđenje otpora [8]. Prednost Orce 3D i MaxSurfa u odnosu na NavCAD je ta što 3D modele formi može izravno koristiti kao ulazne podatke za proračun otpora pri čemu analiziraju i transformiraju formu u prigodni ekvivalent za proračun metodom Savitsky, kojom se koriste svi navedeni programi pri svojim predviđanjima otpora.

Metoda Savitsky je razvijena [9] na temelju modelskih ispitivanja u bazenu. Ispitivanja su višena na pojednostavljenim, prizmatičnim, klinastim trupovima, konstantnog kuta dna (eng. deadrise), ravnih rebara cijelom dužinom i bez eventualnih deflektora pjene ili sličnih složenosti forme.

Otpor se računa prema [9]:

$$R = R_U + R_T$$

gdje su:

R- sila otpora golog trupa [N]

$R_U = \Delta \cdot g \tan \tau$  - otpor tlaka

$$R_T = \frac{T}{\cos \tau} - \text{otpor trenja}$$

pri čemu je:

$\Delta \cdot g$  - težina broda [N]

$\tau$ - kut trima [ $^\circ$ ]

$$T = \frac{1}{2} \rho V_1^2 \cdot C_T \cdot S_{EF} - \text{sila trena} [N]$$

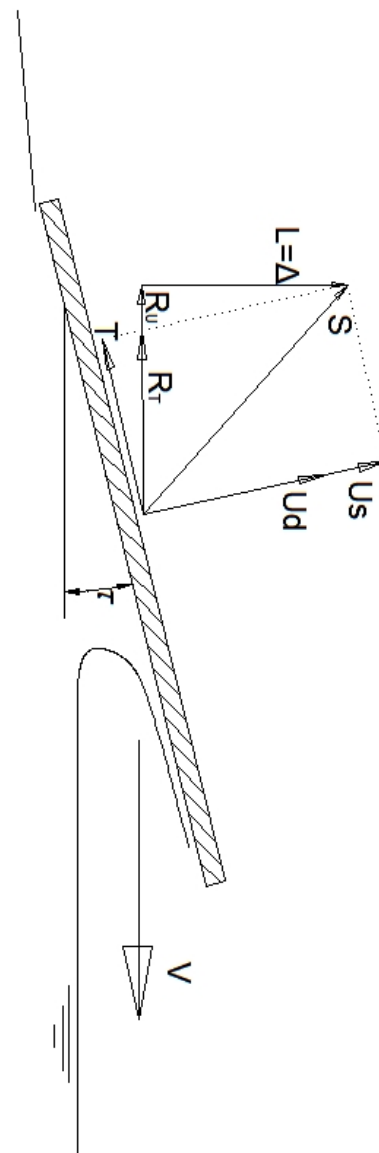
$\rho$ -gustoća vode [ $\text{kg/m}^3$ ]

$V_1$  – prosječna brzina dna [ $\text{m/s}$ ]

$C_T$  – Schoenherrov koeficijent otpora trenja

$S_{EF}$  – efektivna oplakana površina [ $\text{m}^2$ ]

Navedeni izraz slijedi iz ravnoteže sila za glisirajuće tijelo (Slika 47); sila trenja  $T$  i sile statickog i dinamičkog uzgona  $U_s + U_d$  rezultiraju silom  $S$  koja se može predstaviti i kao rezultanta sile podizaja tijela  $L$  i otpora  $R_u + R_t$ . Sila podizaja tijela  $L$  mora biti u ravnoteži s težinom broda  $\Delta g$ . Konačno sile  $R_u$  i  $R_t$  možemo izraziti kao komponente vektora sile  $\Delta g$  i  $T$ .



Slika 47-Ravnoteža sila glisirajućeg tijela

Treba napomenuti da navedena slika i fizikalni izrazi vrijede samo za ono područje brzina gdje se radi o potpunom glisiranju, odnosno onim režimima plovidbe u kojima je hidrostaticki pritisak gotovo zanemariv u odnosu na hidrodinamički pa metoda Savitsky nije primjerena za područje „grbe“ otpora.

Orca 3D koristi Blount/Fox-ovu korekciju za područja pred-glisirajućeg režima plovidbe kako bi se bolje odredio otpor pri nižim brzinama, osim toga uzima u obzir složenost forme odnosno promjenjivost kuta rebara i njihova zakrivljenost te deflektore pjene pri analizi formi, a u samom proračunu i utjecaj sile podizaja, sile poriva i sile otpora na trim u toku plovidbe.

MaxSurf se koristi nešto jednostavnijom analizom formi pri izradi svog proračuna, ne analizira trim u vožnji i nema odgovarajuću korekciju u području prijelaznog režima vožnje pa dobivene podatke u područjima nižih brzina treba uzimati s oprezom.

Iako se po svemu tome Orca čini sofisticiranim programom od MaxSurf-a svejedno je njime višen proračun u svrhu kontrole podataka zbog sumnje da Forme F4 i F6 zbog svoje složenosti i općenito načina izvedbe nisu dobro izanalizirane programom Orca. Također je moguće da je forma F10 krivo prepoznata u MaxSurf-u što se očituje bitno različitim kutom nagiba dna nego u podacima dobivenim Orcom.

## 4.1 Hidrodinamički podaci

Pri unosu podataka za izračun otpora korišteni su hidrostaticki podaci iz prethodnog poglavља za gaz  $T_0$ , a težiste sile poriva je pretpostavljeno na 35-40 cm ispod transoma (po osi z) i u njegovoј ravnini ( 0 u osi x).

Tabela 25-Hidrodinamički podaci F1

F1 V[m/s]	Orca 3D $\beta_{ef}=15.4-15.3^{\circ}$		Bef=3.47 m $\beta_{sr}=17.63^{\circ}$		MaxSurf $\beta_{sr}=16.13^{\circ}$	
	Fv	Trim [°]	R [N]	P [W]	R [N]	P [W]
5	1.15	2.09	9,008	45,040		
6	1.38	2.68	10,119	60,710	5,730	34,400
7	1.61	3.25	10,574	74,020	6,610	46,260
8	1.85	3.67	10,777	86,220	7,410	59,320
9	2.08	3.88	10,785	97,060	8,070	72,640
10	2.31	3.88	10,707	107,070	8,580	85,750
11	2.54	3.74	10,647	117,120	8,980	98,800
12	2.77	3.54	10,656	127,870	9,350	112,250
13	3.00	3.32	10,768	139,980	9,740	126,620
14	3.23	3.09	10,961	153,450	10,170	142,340
15	3.46	2.87	11,246	168,690	10,650	159,760
16	3.69	2.69	11,634	186,150	11,200	179,170
17	3.92	2.48	12,056	204,950	11,810	200,790
18	4.15	2.30	12,568	226,230	12,490	224,830
19	4.38	2.15	13,146	249,770	13,240	251,480
20	4.61	2.01	13,784	275,670	14,040	280,880
21	4.84	1.89	14,473	303,940	14,910	313,210
22	5.07	1.77	15,216	334,760	15,850	348,600
23	5.30	1.67	15,999	367,990	16,830	387,190
24	5.54	1.58	16,837	404,090	17,880	429,120
25	5.77	1.50	17,712	442,790	18,980	474,520

Tabela 26-Hidrodinamički podaci F2

F2 V[m/s]	Orca 3D		Bef=3.83 m		MaxSurf	
	Fv	Trim [°]	R [N]	P [W]	R [N]	P [W]
5	1.11	3.25	10,862	54,310		
6	1.33	4.06	12,797	76,780	9,290	55,720
7	1.55	4.81	13,720	96,040	10,560	73,920
8	1.78	5.27	14,063	112,500	11,600	92,830
9	2.00	5.38	13,991	125,920	12,280	110,510
10	2.22	5.26	13,746	137,460	12,630	126,350
11	2.44	5.02	13,486	148,350	12,810	140,880
12	2.66	4.73	13,295	159,540	12,920	154,990
13	2.88	4.43	13,207	171,690	13,040	169,460
14	3.11	4.15	13,260	185,640	13,210	184,920
15	3.33	3.89	13,403	201,050	13,460	201,830
16	3.55	3.64	13,653	218,440	13,780	220,560
17	3.77	3.43	14,003	238,060	14,200	241,370
18	3.99	3.23	14,431	259,770	14,700	264,510
19	4.22	3.06	14,953	284,100	15,270	290,170
20	4.44	2.90	15,539	310,780	15,930	318,530
21	4.66	2.76	16,204	340,270	16,650	349,740
22	4.88	2.64	16,928	372,410	17,450	383,950
23	5.10	2.52	17,763	408,560	18,320	421,300
24	5.33	2.40	18,703	448,880	19,250	461,930
25	5.55	2.30	19,703	492,580	20,240	505,970

Tabela 27-Hidrodinamički podaci F3

F3 V[m/s]	Orca 3D		Bef=3.5 m		MaxSurf	
	Fv	$\beta_{\text{ref}} = 16.56 - 16.52^\circ$	$\beta_{\text{sr}} = 18.98^\circ$	$\beta_{\text{sr}} = 18.98^\circ$	$\beta_{\text{sr}} = 20.36^\circ$	$\beta_{\text{sr}} = 20.36^\circ$
5	1.11	2.22	13,586	67,930		
6	1.33	3.06	14,714	88,281	7,620	45,720
7	1.56	3.87	14,687	102,806	8,750	61,240
8	1.78	4.48	14,390	115,121	9,810	78,440
9	2	4.77	14,045	126,402	10,660	95,940
10	2.22	4.79	13,644	136,441	11,280	112,760
11	2.45	4.63	13,280	146,079	11,710	128,860
12	2.67	4.4	13,000	156,001	12,060	144,770
13	2.89	4.13	12,859	167,161	12,400	161,150
14	3.11	3.88	12,843	179,797	12,760	178,600
15	3.34	3.62	12,926	193,887	13,170	197,580
16	3.56	3.38	13,117	209,865	13,650	218,470
17	3.78	3.19	13,436	228,407	14,210	241,590
18	4	2.96	13,784	248,104	14,840	267,180
19	4.23	2.79	14,237	270,507	15,550	295,470
20	4.45	2.62	14,754	295,083	16,330	326,640
21	4.67	2.48	15,357	322,492	17,180	360,880
22	4.89	2.35	16,009	352,188	18,110	398,340
23	5.12	2.24	16,712	384,384	19,090	439,180
24	5.34	2.14	17,441	418,586	20,150	483,560
25	5.56	2.04	18,269	456,717	21,260	531,610

Tabela 28-Hidrodinamički podaci F4

F4	Orca 3D $\beta_{ef}=17,99-18,26$	Bef=2,91 m $\beta_{sr}=22,93^\circ$	MaxSurf $\beta_{sr}=22,13^\circ$			
V[m/s]	Fv	Trim [°]	R [N]	P [W]	R [N]	P [W]
5	1.08	6,06	19,230	96,150		
6	1.3	7,52	22,903	137,421	14,360	85,150
7	1.51	8,66	24,795	173,563	16,040	112,290
8	1.73	9,12	25,086	200,686	17,120	136,980
9	1.95	8,98	24,284	218,560	17,500	157,480
10	2.16	8,48	23,027	230,269	17,380	173,850
11	2.38	7,89	21,761	239,368	17,040	187,470
12	2.59	7,27	20,636	247,630	16,650	199,790
13	2.81	6,67	19,706	256,183	16,300	211,900
14	3.03	6,12	18,958	265,414	16,040	224,590
15	3.24	5,63	18,406	276,085	15,890	238,420
16	3.46	5,18	18,001	288,021	15,860	253,780
17	3.68	4,78	17,732	301,438	15,940	270,970
18	3.89	4,42	17,596	316,732	16,120	290,230
19	4.11	4,11	17,594	334,279	16,410	311,750
20	4.32	3,82	17,660	353,196	16,780	335,690
21	4.54	3,56	17,816	374,138	17,250	362,200
22	4.76	3,33	18,053	397,159	17,790	391,400
23	4.97	3,12	18,360	422,280	18,410	423,420
24	5.19	2,93	18,733	449,595	19,100	458,380
25	5,41	2,76	19,172	479,307	19,860	496,390

Tabela 29-Hidrodinamički podaci F5

F5	Orca 3D $\beta_{ef}=17,42-17,41$	Bef=3,78 m $\beta_{sr}=18,7^\circ$	MaxSurf $\beta_{sr}=18,6^\circ$			
V[m/s]	Fv	Trim [°]	R [N]	P [W]	R [N]	P [W]
5	1.14	4,98	8,714	43,569		
6	1.36	5,91	10,570	63,419		
7	1.59	6,47	11,418	79,928	9,360	65,510
8	1.82	6,5	11,477	91,819	10,010	80,120
9	2.05	6,2	11,167	100,503	10,340	93,030
10	2.27	5,78	10,788	107,881	10,470	104,710
11	2.5	5,32	10,491	115,398	10,550	116,070
12	2.73	4,88	10,303	123,639	10,660	127,870
13	2.95	4,49	10,268	133,479	10,820	140,710
14	3.18	4,13	10,334	144,673	11,070	155,020
15	3.41	3,81	10,512	157,686	11,410	171,120
16	3.64	3,53	10,789	172,624	11,830	189,260
17	3.86	3,28	11,151	189,563	12,330	209,660
18	4.09	3,06	11,594	208,695	12,920	232,480
19	4,32	2,86	12,112	230,134	13,570	257,890
20	4,54	2,39	13,992	279,839	14,300	286,040
21	4,77	1,02	20,000	419,997	15,100	317,060
22	5	-0,07	25,046	551,011	15,960	351,100
23	5,23	-0,16	25,611	589,063	16,880	388,270
24	5,45	-0,24	26,262	630,281	17,860	428,710
25	5,68	-0,32	26,991	674,785	18,900	472,540

Tabela 30-Hidrodinamički podaci F6

F6 V[m/s]	Orca 3D $\beta_{ref}=10.64-10.68^\circ$		Bef=2.98 m $\beta_{sr}=13.63^\circ$		MaxSurf $\beta_{sr}=13.01^\circ$	
	Fv	Trim [°]	R [N]	P [W]	R [N]	P [W]
5	1.11	1.86	20,042	100,210		
6	1.33	3.29	18,389	110,334	8,480	50,870
7	1.55	4.27	17,469	122,284	9,580	67,060
8	1.77	4.95	16,840	134,718	10,550	84,390
9	1.99	5.29	16,210	145,892	11,230	101,100
10	2.21	5.31	15,537	155,375	11,620	116,190
11	2.44	5.14	14,882	163,698	11,800	129,830
12	2.66	4.87	14,303	171,639	11,890	142,730
13	2.88	4.56	13,857	180,142	11,970	155,670
14	3.1	4.24	13,523	189,324	12,090	169,270
15	3.32	3.94	13,326	199,885	12,270	184,040
16	3.54	3.66	13,237	211,784	12,520	200,340
17	3.76	3.4	13,241	225,100	12,850	218,470
18	3.98	3.16	13,359	240,457	13,260	238,650
19	4.21	2.95	13,543	257,315	13,740	261,080
20	4.43	2.76	13,797	275,940	14,300	285,930
21	4.65	2.58	14,130	296,739	14,920	313,350
22	4.87	2.43	14,523	319,509	15,610	343,480
23	5.09	2.3	14,961	344,110	16,370	376,450
24	5.31	2.17	15,470	371,273	17,180	412,380
25	5.53	2.06	16,038	400,959	18,060	451,380

Tabela 31-Hidrodinamički podaci F7

F7 V[m/s]	Orca 3D $\beta_{ref}=13.76-13.78^\circ$		Bef=3.87 m $\beta_{sr}=18.09^\circ$		MaxSurf $\beta_{sr}=15.87^\circ$	
	Fv	Trim [°]	R [N]	P [W]	R [N]	P [W]
5	1.09	2.47	17,357	86,784		
6	1.31	3.52	18,972	113,831		
7	1.53	4.36	19,189	134,326	10,280	71,980
8	1.75	4.8	18,746	149,967	11,350	90,790
9	1.97	4.89	17,949	161,541	12,100	108,880
10	2.18	4.74	17,098	170,978	12,560	125,620
11	2.4	4.47	16,357	179,923	12,860	141,470
12	2.62	4.15	15,808	189,695	13,100	157,260
13	2.84	3.85	15,430	200,592	13,370	173,800
14	3.06	3.54	15,248	213,466	13,690	191,710
15	3.28	3.27	15,181	227,717	14,100	211,480
16	3.5	3.02	15,305	244,887	14,590	233,490
17	3.71	2.84	15,543	264,230	15,180	258,060
18	3.93	2.59	15,870	285,664	15,860	285,420
21	4.59	2.1	17,445	366,339	18,400	386,420
22	4.81	1.97	18,130	398,850	19,410	427,010
23	5.02	1.86	18,874	434,111	20,490	471,320
24	5.24	1.75	19,694	472,647	21,650	519,540
25	5.46	1.65	20,586	514,647	22,870	571,800

Tabela 32-Hidrodinamički podaci F8

F8	Orca 3D		Bef=3.17 m		MaxSurf	
	Fv	$\beta_{\text{ref}}=18.6-18.65^\circ$	$\beta_{\text{sr}}=21.7^\circ$	$\beta_{\text{sr}}=19.75^\circ$	R [N]	P [W]
V[m/s]	Fv	Trim [ $^\circ$ ]	R [N]	P [W]	R [N]	P [W]
5	1.11	5,03	13,204	66,018		
6	1.33	6,19	15,625	93,747	10,380	62,280
7	1.55	7,14	16,711	116,977	11,680	81,780
8	1.78	7,55	16,812	134,496	12,650	101,220
9	2	7,45	16,265	146,386	13,160	118,440
10	2.22	7,1	15,494	154,941	13,300	133,020
11	2.44	6,64	14,728	162,011	13,250	145,770
12	2.66	6,15	14,093	169,118	13,140	157,730
13	2.89	5,68	13,613	176,964	13,060	169,750
14	3,11	5,25	13,276	185,867	13,030	182,490
15	3,33	4,85	13,108	196,613	13,090	196,400
16	3,55	4,5	13,064	209,022	13,240	211,850
17	3,77	4,18	13,128	223,179	13,480	229,090
18	4	3,89	13,292	239,247	13,800	248,330
19	4,22	3,64	13,534	257,138	14,200	269,760
20	4,44	3,41	13,870	277,393	14,680	293,540
21	4,66	3,2	14,267	299,614	15,230	319,790
22	4,88	3,02	14,731	324,082	15,850	348,640
23	5,11	2,85	15,253	350,810	16,530	380,230
24	5,33	2,7	15,823	379,749	17,280	414,650
25	5,55	2,56	16,451	411,276	18,080	452,030

Tabela 33-Hidrodinamički podaci F9

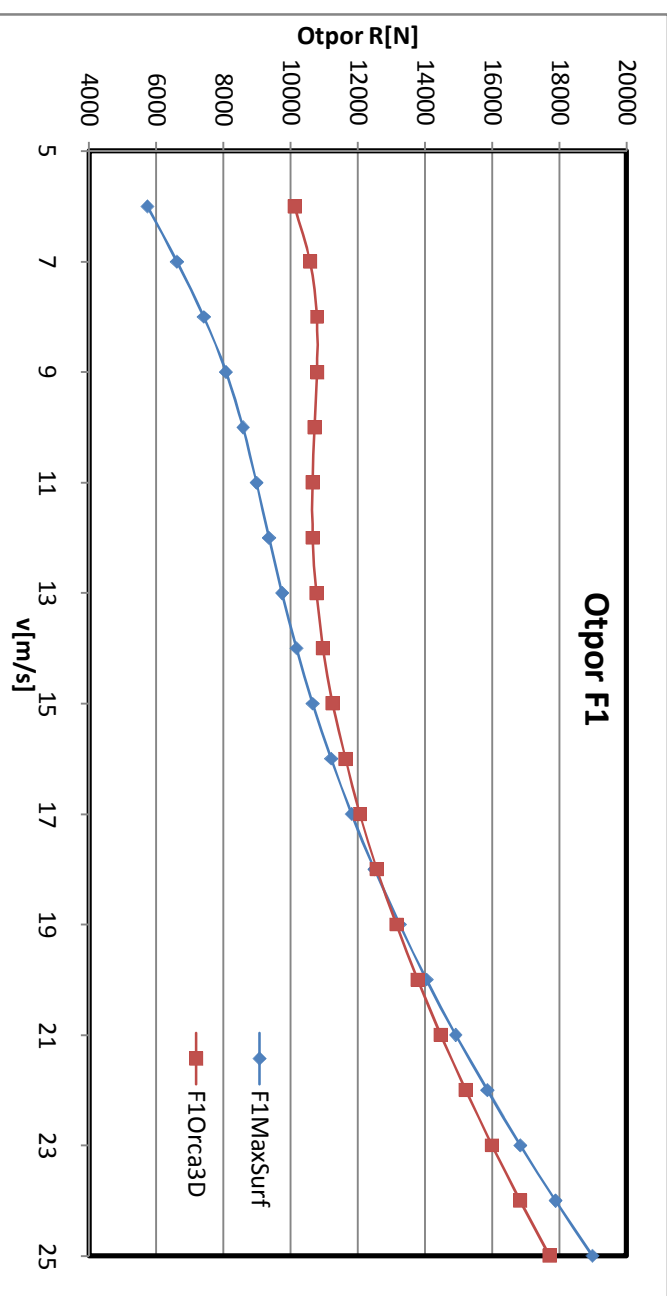
F9	Orca 3D		Bef=3.2 m		MaxSurf	
	Fv	$\beta_{\text{ref}}=18.66-18.63^\circ$	$\beta_{\text{sr}}=20.7^\circ$	$\beta_{\text{sr}}=18.04^\circ$	R [N]	P [W]
V[m/s]	Fv	Trim [ $^\circ$ ]	R [N]	P [W]	R [N]	P [W]
5	1.12	3,12	10,823	54,117		
6	1.34	3,83	12,459	74,752	7,660	45,940
7	1.57	4,54	13,193	92,353	8,720	61,070
8	1.79	5,08	13,580	108,640	9,700	77,640
9	2.02	5,34	13,692	123,227	10,460	94,140
10	2.24	5,32	13,608	136,081	10,960	109,550
11	2.47	5,12	13,454	147,998	11,260	123,880
12	2.69	4,84	13,314	159,766	11,470	137,700
13	2.91	4,52	13,243	172,162	11,670	151,670
14	3,14	4,21	13,265	185,708	11,890	166,400
15	3,36	3,9	13,380	200,695	12,160	182,340
16	3,59	3,63	13,593	217,494	12,490	199,870
17	3,81	3,37	13,877	235,910	12,900	219,260
18	4,03	3,14	14,242	256,351	13,370	240,750
19	4,26	2,92	14,684	278,986	13,920	264,540
20	4,48	2,73	15,195	303,896	14,540	290,800
21	4,71	2,55	15,764	331,043	15,220	319,690
22	4,93	2,39	16,397	360,732	15,970	351,350
23	5,16	2,25	17,086	392,979	16,780	385,910
24	5,38	2,11	17,824	427,787	17,650	423,510
25	5,6	1,99	18,618	465,449	18,570	464,270

Tabela 34-Hidrodinamički podaci F10

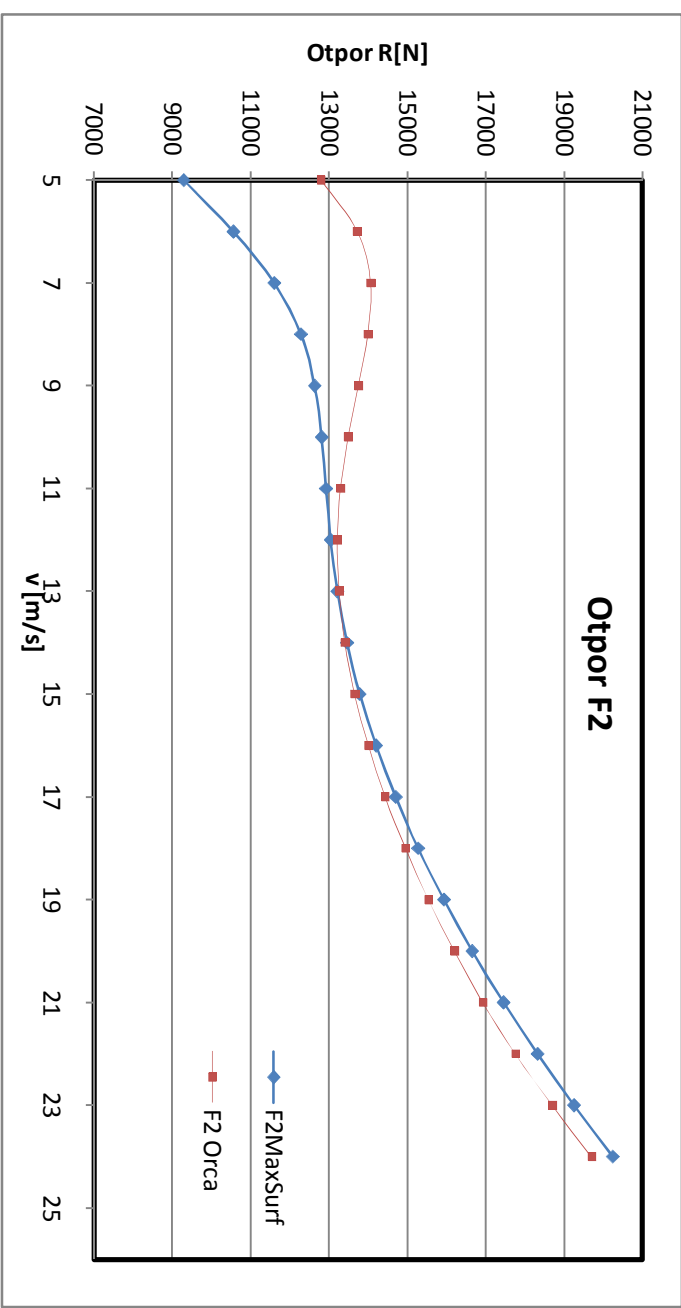
F10	Orca 3D $\beta_{\text{ref}}=9.98\text{-}9.99^\circ$			Bef=3.2 m $\beta_{\text{sr}}=10.15^\circ$		MaxSurf $\beta_{\text{sr}}=16.99^\circ$	
	V [m/s]	Fv	Trim [°]	R [N]	P [W]	R [N]	P [W]
5	1.06	4.76	16,011	80,056			
6	1.27	5.8	18,853	113,119	13,260	79,580	
7	1.49	6.77	19,815	138,707	14,900	104,310	
8	1.7	7.38	19,894	159,150	16,210	129,710	
9	1.91	7.48	19,375	174,376	16,960	152,660	
10	2.12	7.23	18,547	185,465	17,200	171,970	
11	2.34	6.8	17,592	193,510	17,120	188,290	
12	2.55	6.32	16,746	200,949	16,910	202,880	
13	2.76	5.84	16,028	208,369	16,690	216,920	
14	2.97	5.38	15,500	217,004	16,520	231,330	
15	3.18	4.95	15,117	226,752	16,450	246,770	
16	3.4	4.57	14,882	238,118	16,480	263,720	
17	3.61	4.23	14,803	251,648	16,620	282,560	
18	3.82	3.91	14,830	266,933	16,870	303,580	
19	4.03	3.63	14,961	284,258	17,210	326,990	
20	4.25	3.38	15,194	303,871	17,650	353,010	
21	4.46	3.16	15,515	325,811	18,180	381,790	
22	4.67	2.95	15,912	350,071	18,800	413,490	
23	4.88	2.77	16,387	376,912	19,490	448,260	
24	5.1	2.6	16,931	406,334	20,260	486,220	
25	5.31	2.45	17,537	438,428	21,100	527,500	

## 4.2 Usporedni prikaz otpora

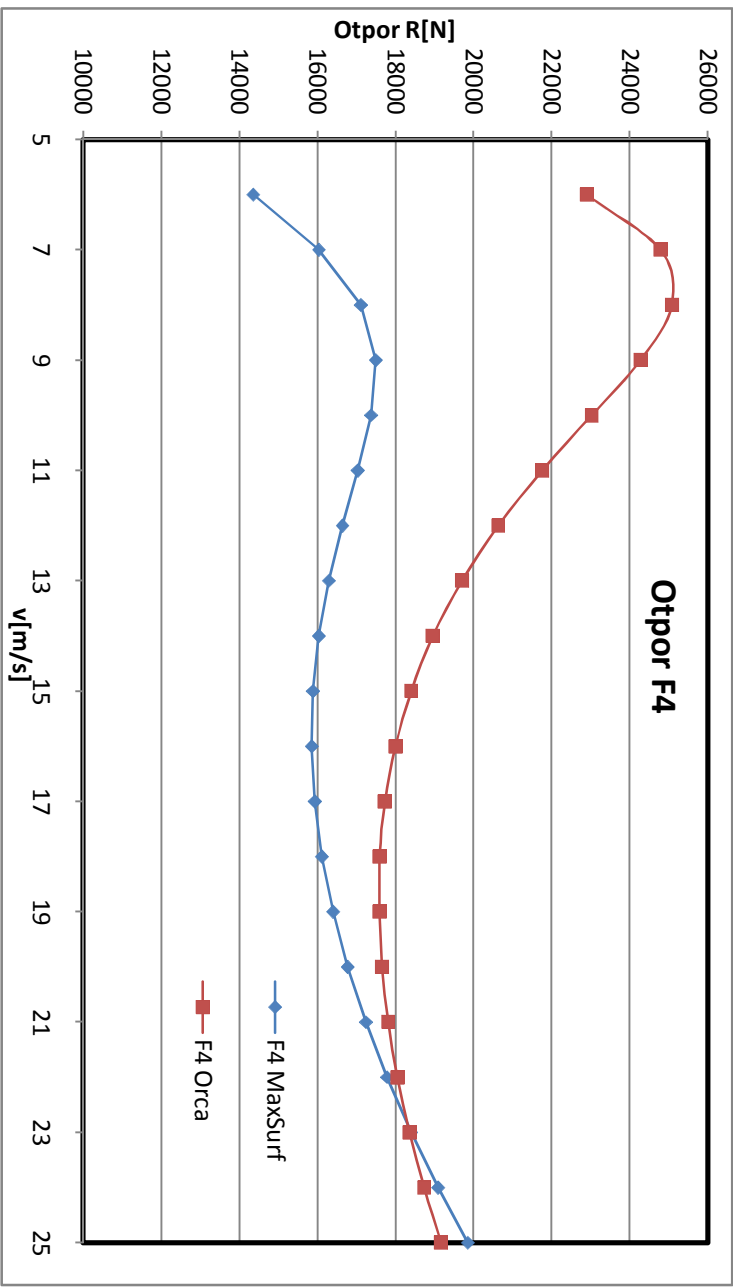
Na slijedećim grafovima usporedno su prikazane veličine otpora pojedinih formi izračunate u MaxSurf-u i Orca 3D.



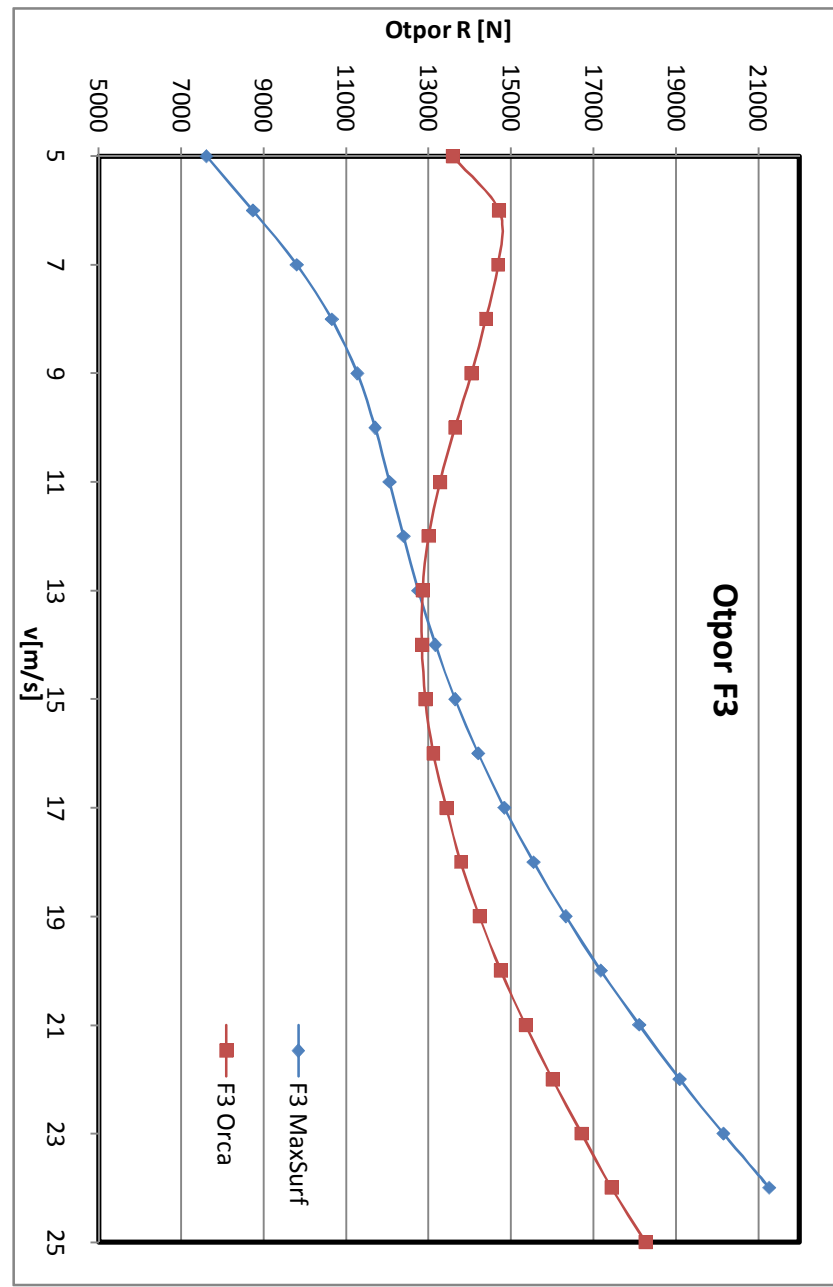
Slika 48-Usporedni prikaz otpora forme F1



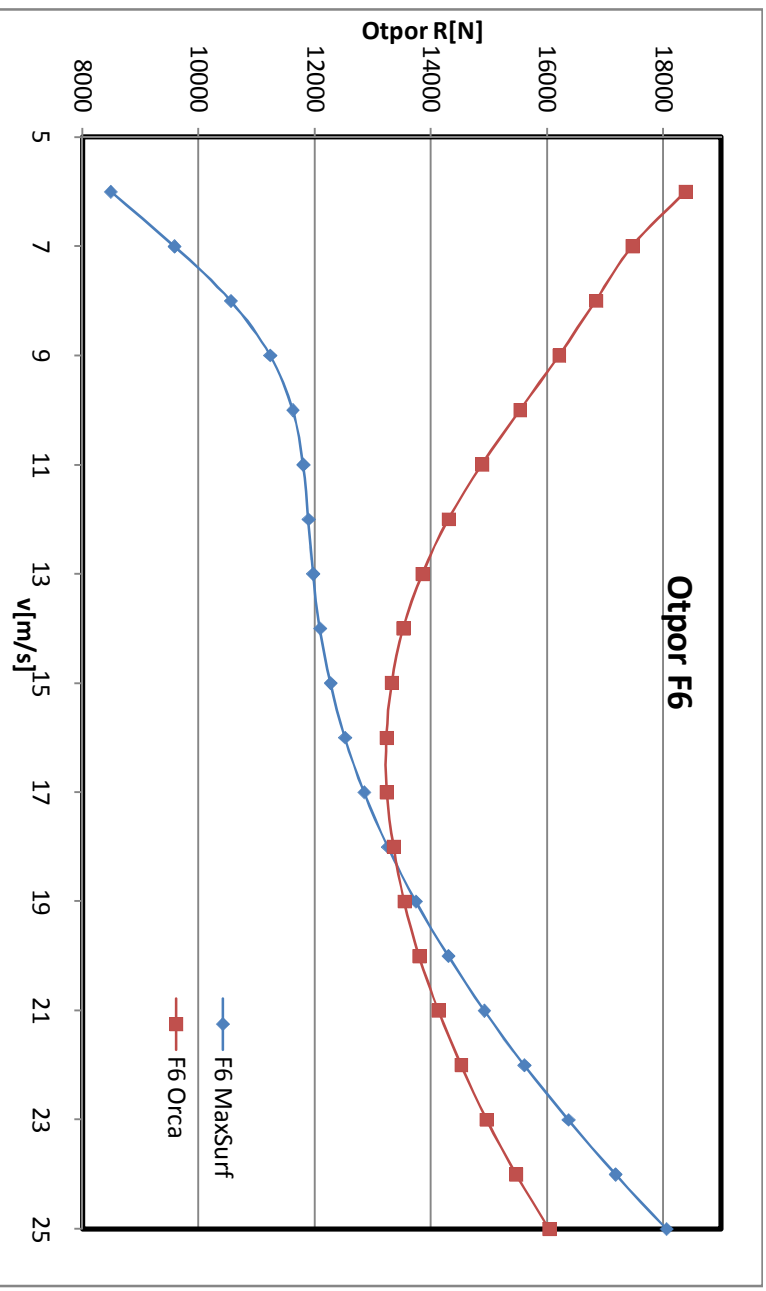
Slika 49-Usporedni prikaz otpora forme F2



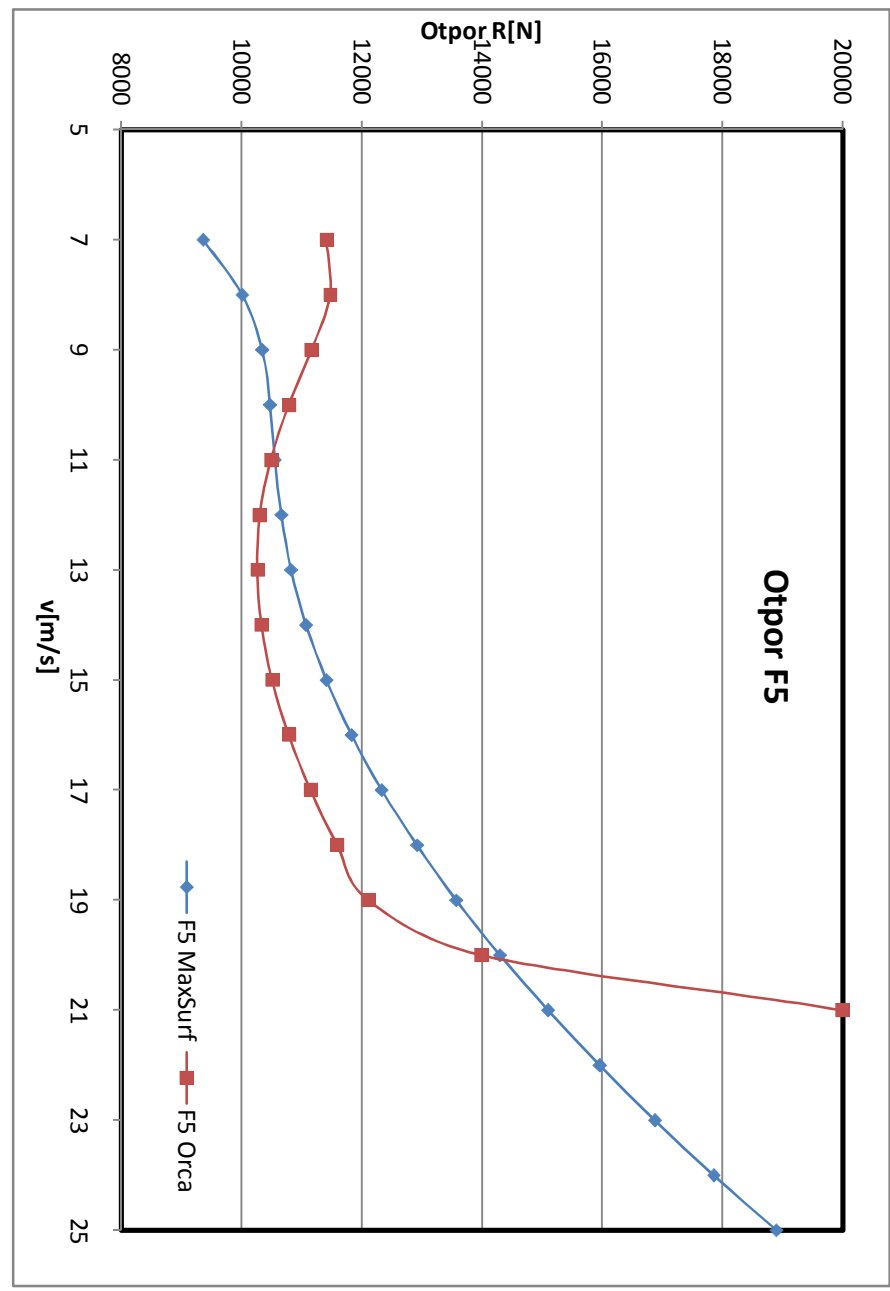
Slika 50 -Usporedni prikaz otpora forme F3



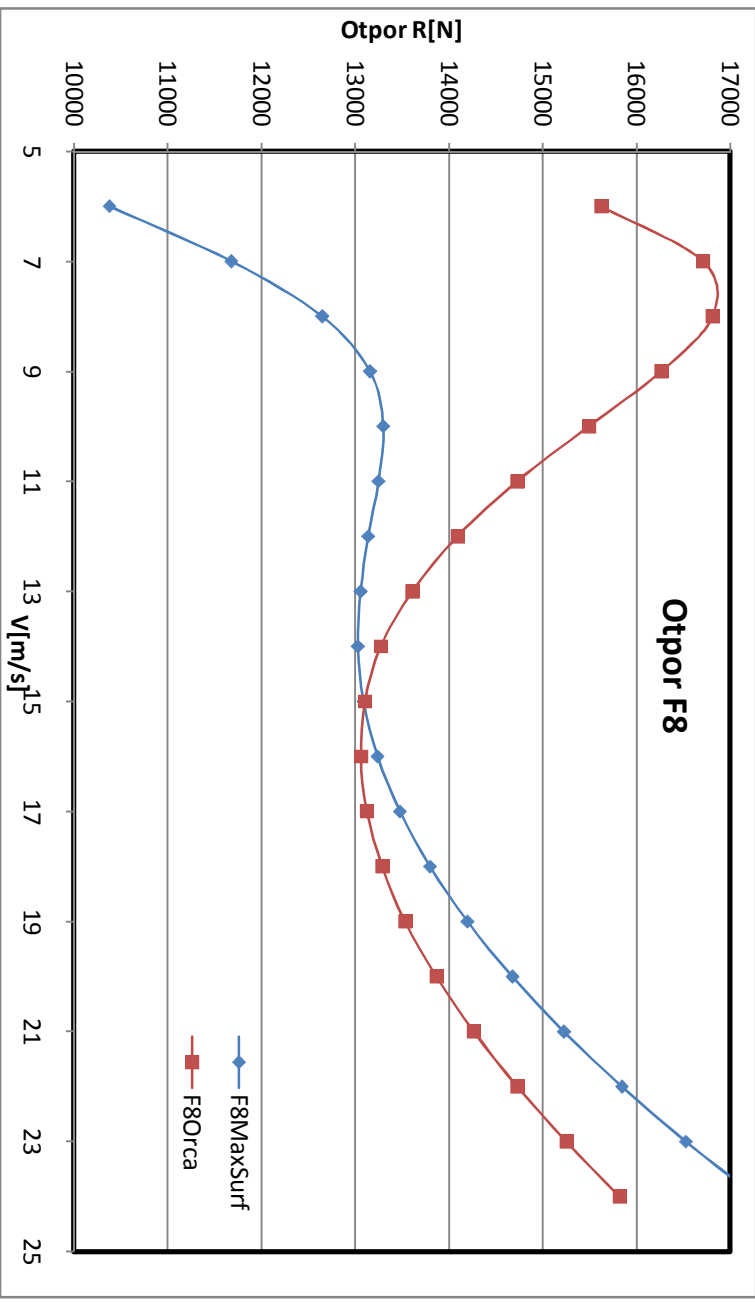
Slika 51-Usporedni prikaz otpora forme F4



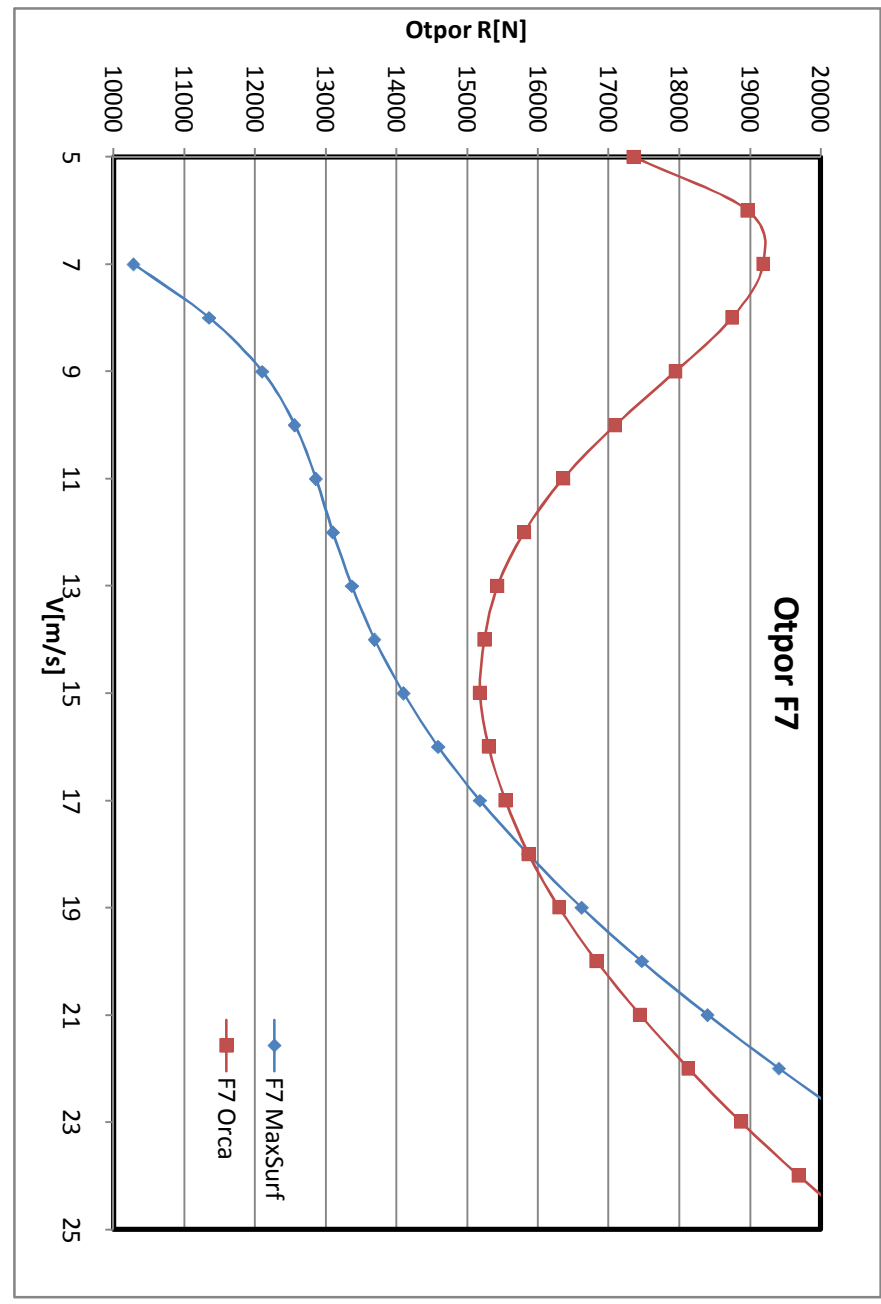
Slika 53-Usporedni prikaz otpora forme F6



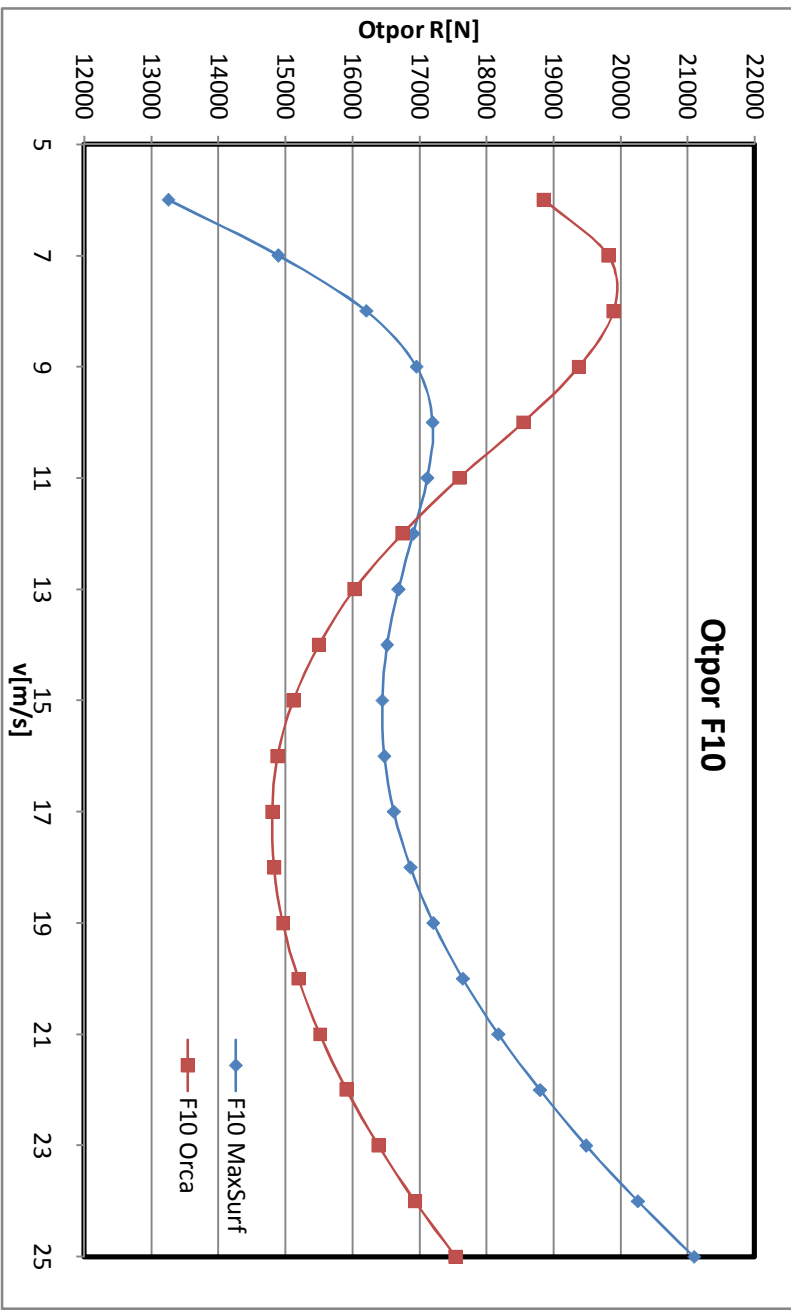
Slika 52-Usporedni prikaz otpora forme F5



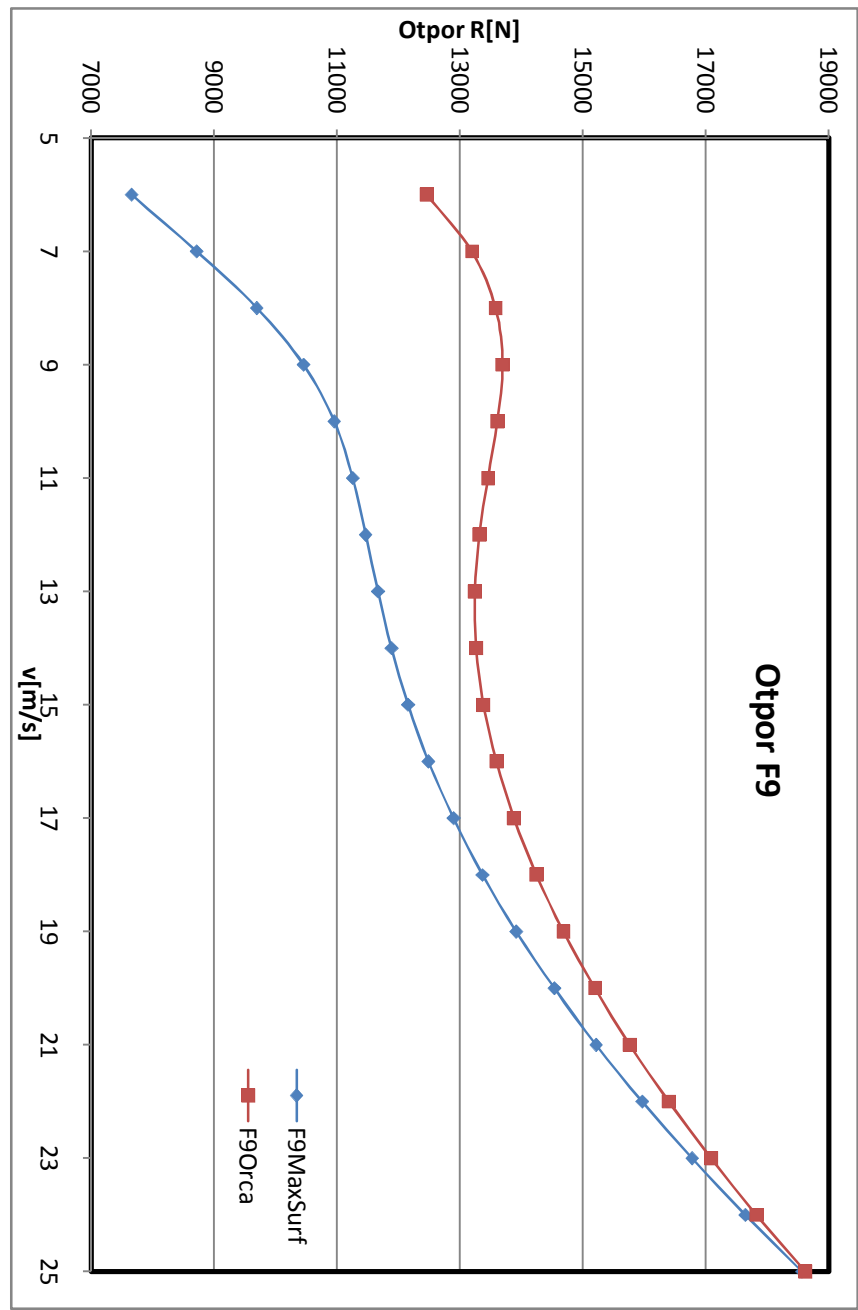
Slika 55-Usporedni prikaz otpora forme F8



Slika 54-Usporedni prikaz otpora forme F7

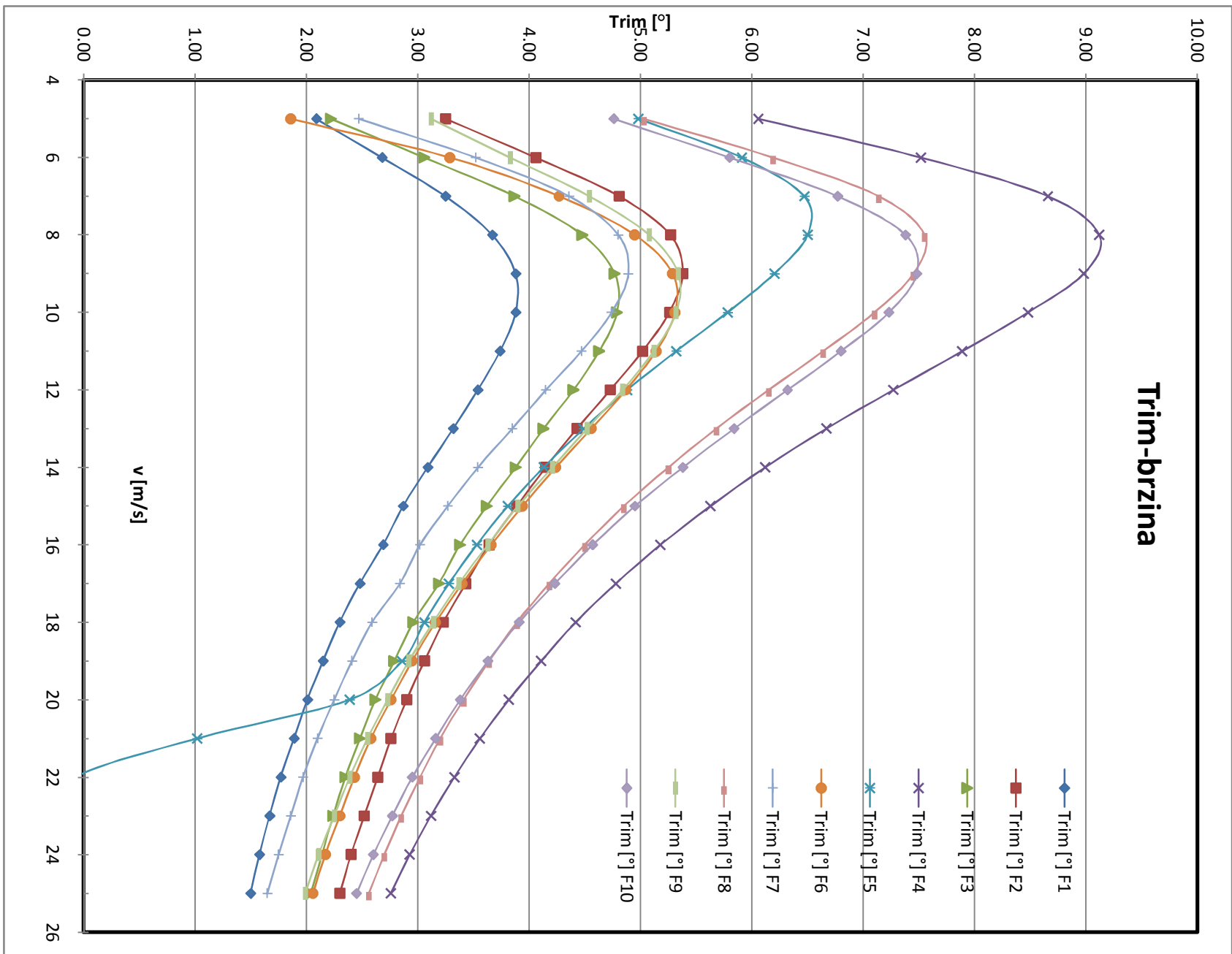


Slika 57-Usporedni prikaz otpora forme F10



Slika 56-Usporedni prikaz otpora forme F9

### 4.3 Usporedba trima u vožnji



Slika 58-Komparativni prikaz trima pri vožnji

## 4.4 Koeficijenti otpora za uspoređivanje hidrodinamičke kvalitete formi

Iako su forme svedene na iste duljine vodnih linija one se bitno razlikuju u svojim istisninama, stoga je potrebna neka zasebna mjera, odnosno koeficijent kako bi se njihovi otpori, a time i snage mogli kvalitetno usporediti.

Za usporedbu brzih plovila koristi se koeficijent efikasnosti transporta [3]:

$$T_e = \frac{R}{\Delta} \left[ \frac{N}{kg} \right]$$

On predstavlja odličnu mjeru kvalitete brodova kao transportnog sistema, ali u sebi skriva činjenicu da će (u prosjeku) sporiji i teži brodovi imati povoljniji (manji) iznos koeficijenta od bržih i lakših brodova. Tomu je razlog taj što otpor raste s kvadratom brzine, a oplakana površina ne raste proporcionalno tomu s istisninom. Dakle, ovaj koeficijet neće sa sigurnošću moći odgovoriti na pitanje koja je forma „brža“ (osim ukoliko se radi o brodovima iste ili približno iste istisnine).

Bolji koeficijent za tu svrhu prema [10] jest koeficijent otpora:

$$C = \frac{R}{\frac{1}{2}\rho\nabla^{2/3}v^2}$$

koji se izražen preko Froudeovog broja na bazi volumena svodi na:

$$C_{Fv} = \frac{T_e}{g \cdot F_V^2}$$

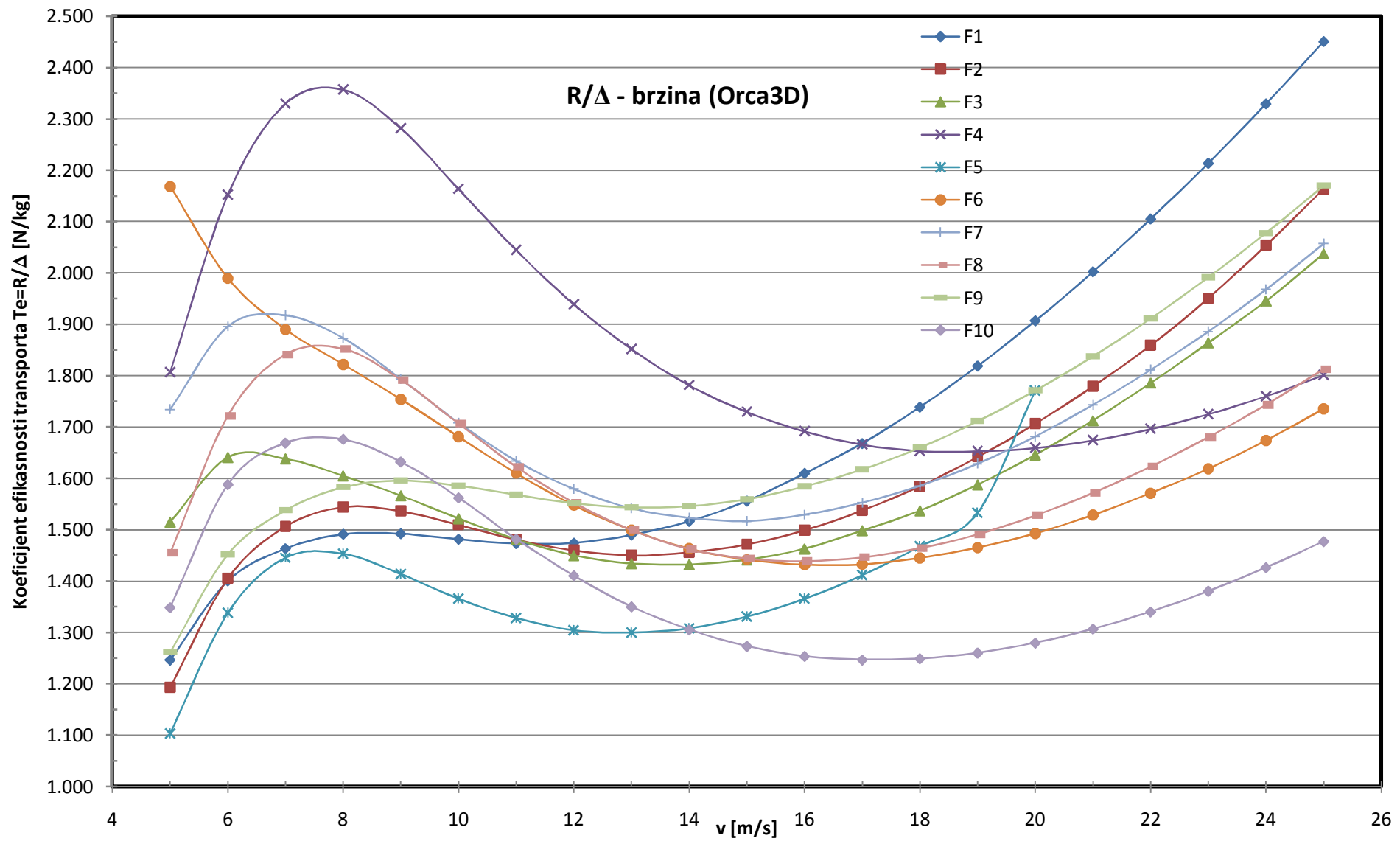
U svakom slučaju dobro je imati u vidu oba koeficijenta jer nam daju dva različita pogleda na hidrodinamičke značajke brodova.

Tabela 35-Koeficijent Te prema Orci 3D

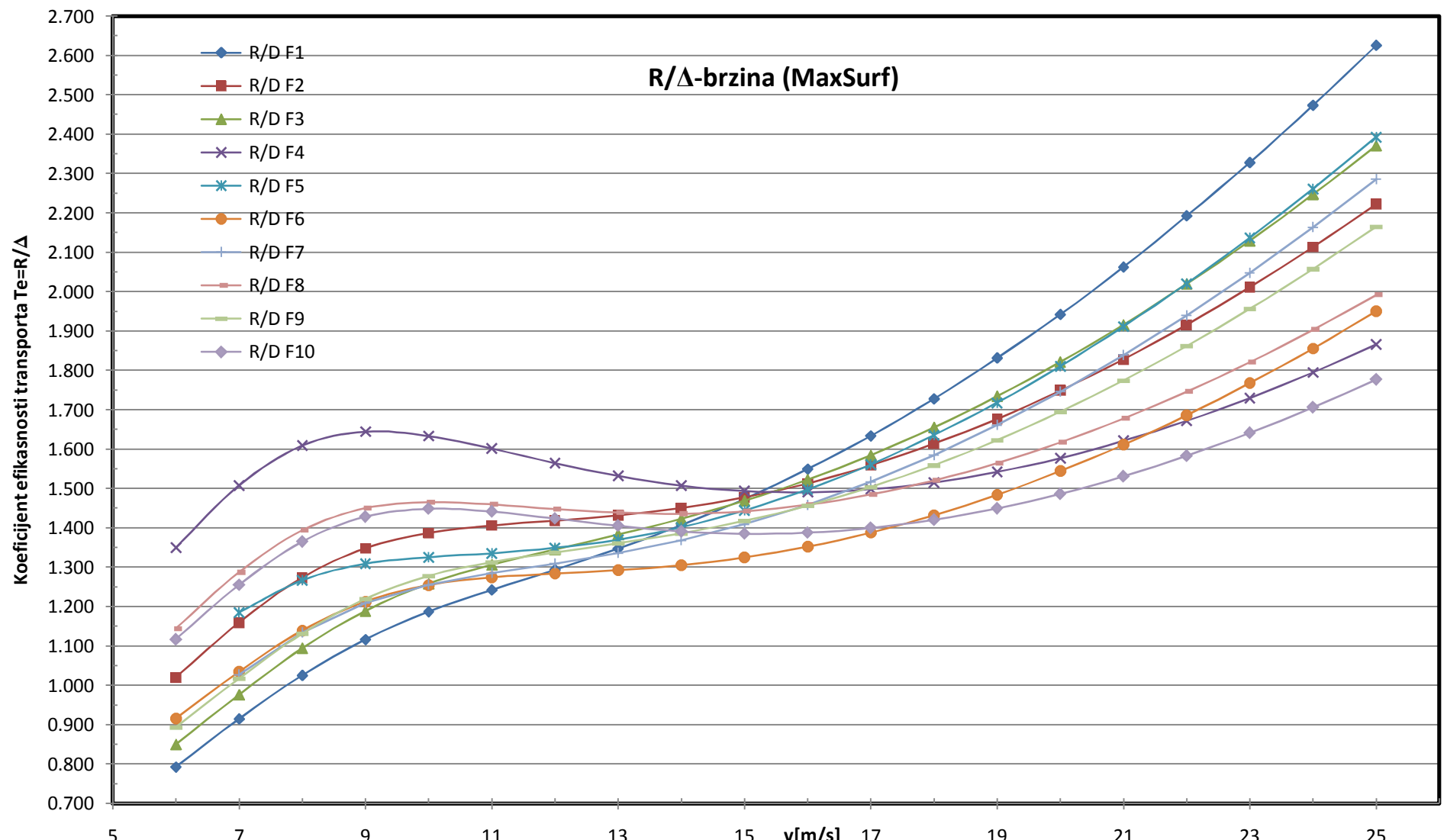
V[m/s]	R/Δ F1	R/Δ F2	R/Δ F3	R/Δ F4	R/Δ F5	R/Δ F6	R/Δ F7	R/Δ F8	R/Δ F9	R/Δ F10
5	1.246	1.193	1.515	1.807	1.103	2.169	1.734	1.455	1.262	1.349
6	1.400	1.405	1.641	2.152	1.338	1.990	1.896	1.722	1.452	1.588
7	1.463	1.507	1.638	2.330	1.446	1.890	1.917	1.841	1.538	1.669
8	1.491	1.544	1.605	2.357	1.453	1.822	1.873	1.852	1.583	1.676
9	1.492	1.536	1.567	2.282	1.414	1.754	1.794	1.792	1.596	1.632
10	1.481	1.510	1.522	2.164	1.366	1.681	1.708	1.707	1.586	1.562
11	1.473	1.481	1.481	2.045	1.328	1.610	1.634	1.623	1.568	1.482
12	1.474	1.460	1.450	1.939	1.305	1.548	1.580	1.553	1.552	1.411
13	1.490	1.450	1.434	1.852	1.300	1.499	1.542	1.500	1.544	1.350
14	1.516	1.456	1.432	1.781	1.308	1.463	1.524	1.463	1.546	1.306
15	1.556	1.472	1.442	1.729	1.331	1.442	1.517	1.444	1.560	1.273
16	1.610	1.499	1.463	1.691	1.366	1.432	1.529	1.439	1.585	1.254
17	1.668	1.538	1.499	1.666	1.412	1.433	1.553	1.447	1.618	1.247
18	1.739	1.585	1.537	1.653	1.468	1.445	1.586	1.465	1.660	1.249
19	1.819	1.642	1.588	1.653	1.534	1.465	1.629	1.491	1.712	1.260
20	1.907	1.706	1.646	1.659	1.772	1.493	1.682	1.528	1.771	1.280
21	2.002	1.779	1.713	1.674	2.532	1.529	1.743	1.572	1.838	1.307
22	2.105	1.859	1.786	1.696	3.171	1.571	1.812	1.623	1.911	1.340
23	2.213	1.951	1.864	1.725	3.243	1.619	1.886	1.681	1.992	1.380
24	2.329	2.054	1.945	1.760	3.325	1.674	1.968	1.743	2.078	1.426
25	2.450	2.164	2.038	1.801	3.418	1.735	2.057	1.813	2.170	1.477

Tabela 36- Koeficijent Te prema MaxSurf-u

v[m/s]	R/Δ F1	R/Δ F2	R/Δ F3	R/Δ F4	R/Δ F5	R/Δ F6	R/Δ F7	R/Δ F8	R/Δ F9	R/Δ F10
6	0.793	1.020	0.850	1.349	0.916	1.144	0.893	1.117		
7	0.914	1.160	0.976	1.507	1.185	1.034	1.027	1.287	1.016	1.255
8	1.025	1.274	1.094	1.609	1.267	1.139	1.134	1.394	1.131	1.365
9	1.116	1.349	1.189	1.644	1.309	1.213	1.209	1.450	1.219	1.429
10	1.187	1.387	1.258	1.633	1.326	1.255	1.255	1.465	1.278	1.449
11	1.242	1.407	1.306	1.601	1.336	1.274	1.285	1.460	1.313	1.442
12	1.293	1.419	1.345	1.564	1.350	1.284	1.309	1.448	1.337	1.424
13	1.347	1.432	1.383	1.532	1.370	1.293	1.336	1.439	1.360	1.406
14	1.407	1.451	1.423	1.507	1.402	1.306	1.368	1.436	1.386	1.392
15	1.473	1.478	1.469	1.493	1.445	1.325	1.409	1.442	1.417	1.386
16	1.549	1.513	1.522	1.490	1.498	1.352	1.458	1.459	1.456	1.388
17	1.634	1.559	1.585	1.498	1.561	1.388	1.517	1.485	1.504	1.400
18	1.728	1.614	1.655	1.515	1.636	1.432	1.585	1.520	1.559	1.421
19	1.832	1.677	1.734	1.542	1.718	1.484	1.661	1.565	1.623	1.450
20	1.942	1.749	1.821	1.577	1.811	1.544	1.746	1.617	1.695	1.487
21	2.063	1.828	1.916	1.621	1.912	1.611	1.838	1.678	1.774	1.531
22	2.193	1.916	2.020	1.671	2.021	1.686	1.939	1.746	1.862	1.584
23	2.328	2.012	2.129	1.730	2.137	1.768	2.047	1.821	1.956	1.642
24	2.474	2.114	2.247	1.795	2.261	1.855	2.163	1.904	2.057	1.707
25	2.626	2.223	2.371	1.866	2.393	1.950	2.285	1.992	2.165	1.777



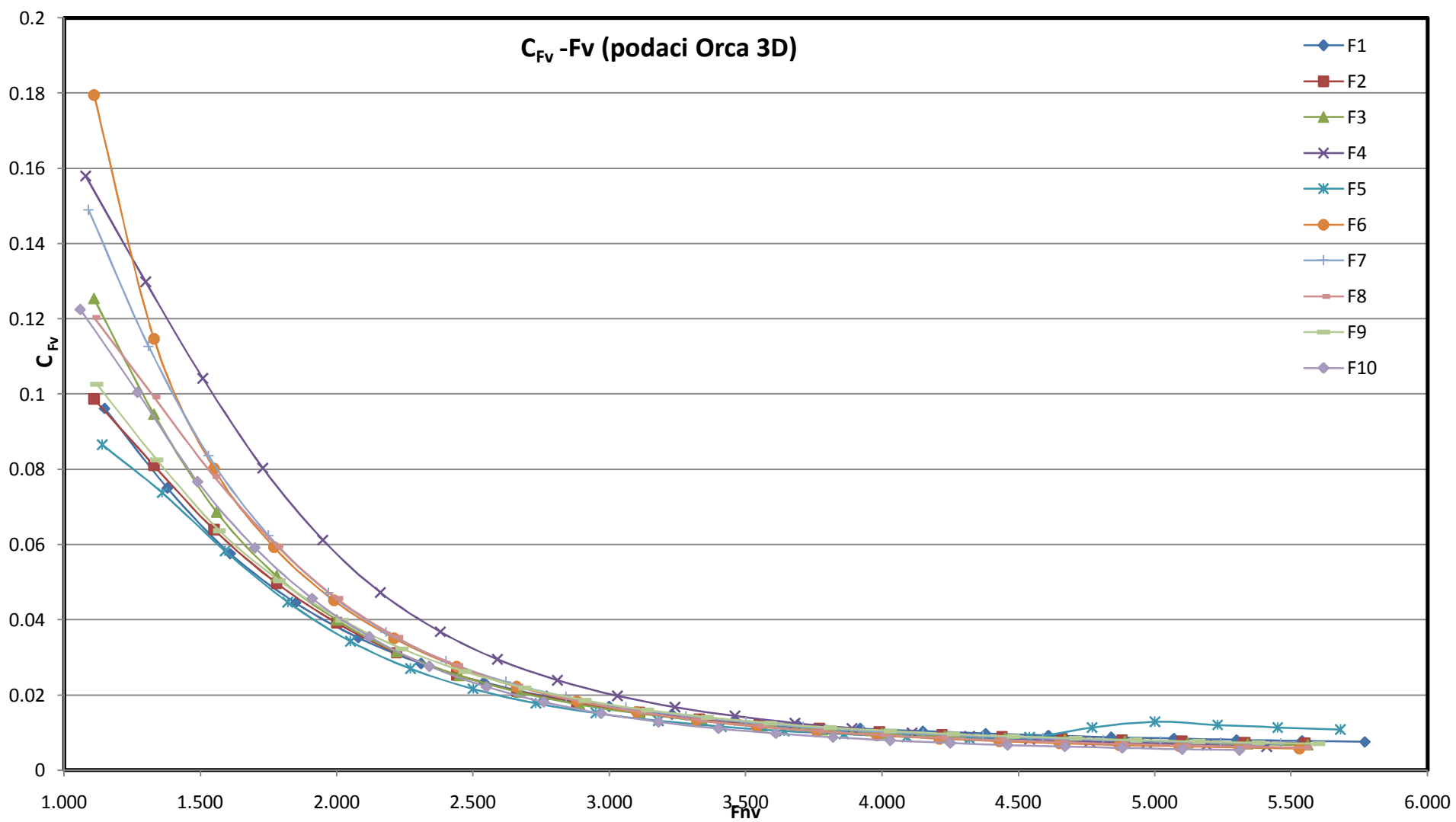
Slika 59-Graf koeficijenta Te-brzina ( Orca 3D)



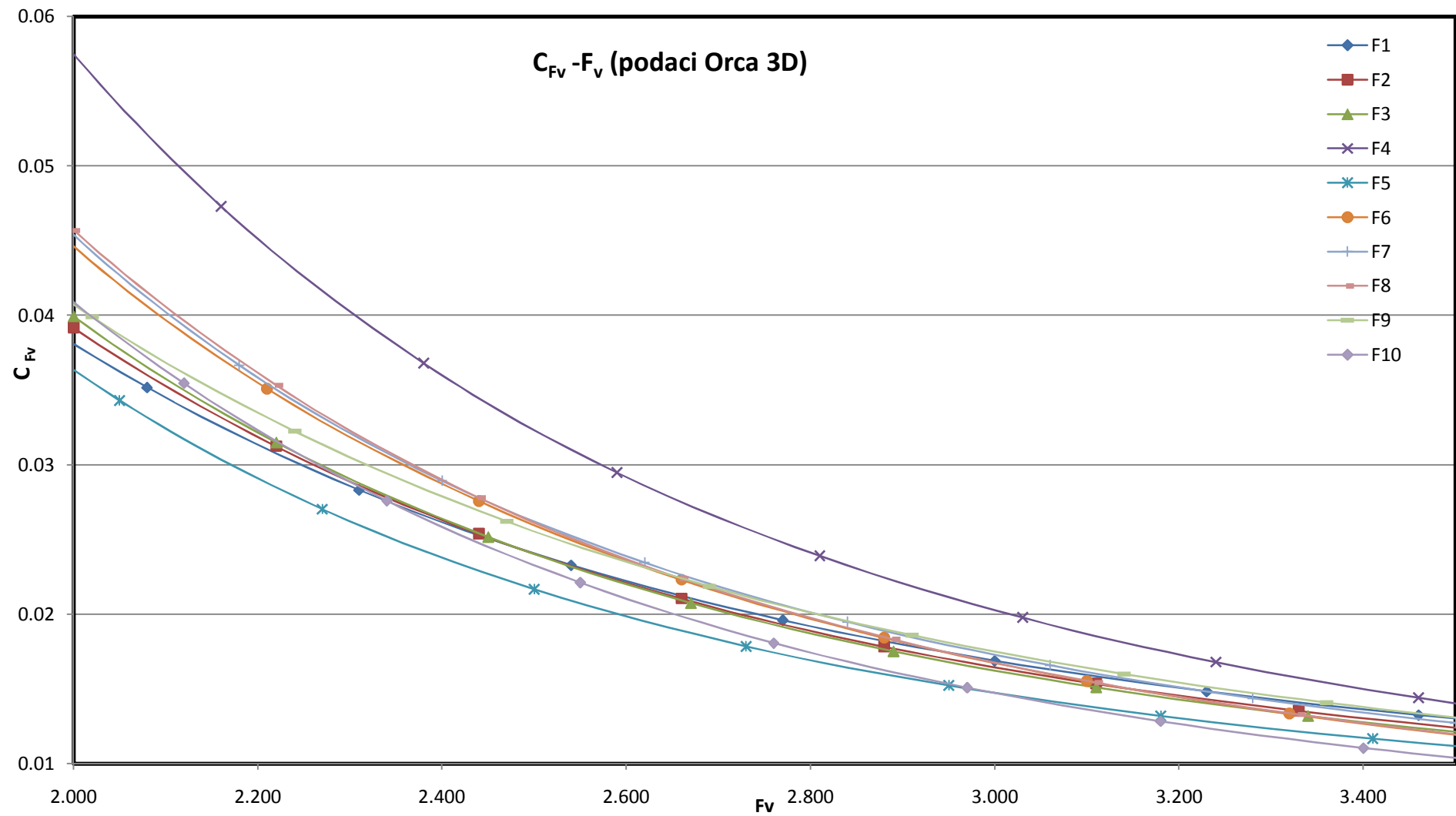
Slika 60 -Graf koeficijenta Te-brzina (MaxSurf)

Tabela 37- Koeficijent  $C_{Fv}$  Orca 3D

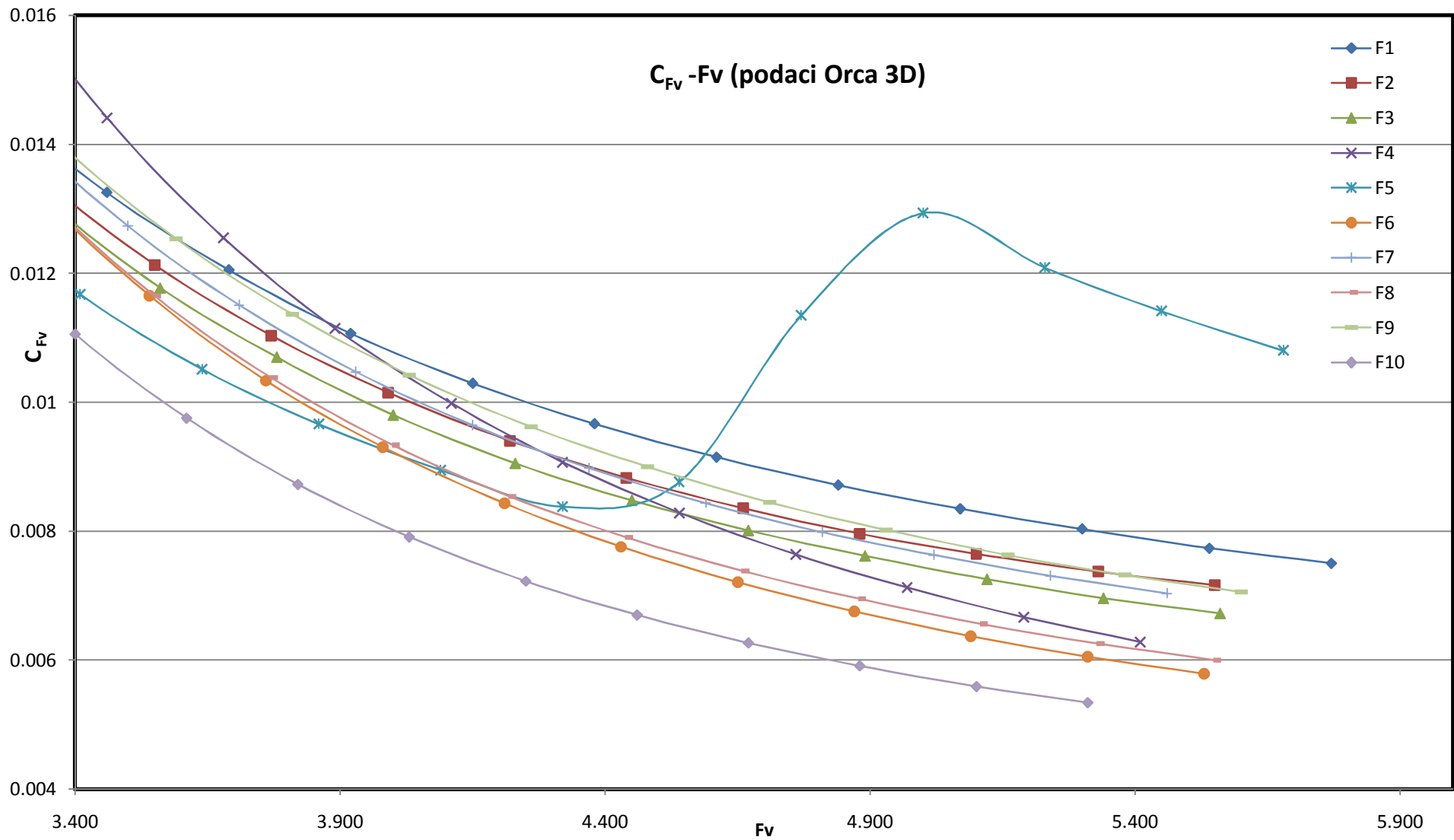
Orca 3D		F1		F2		F3		F4		F5		F6		F7		F8		F9		F10	
v (m/s)	Fv	$C_{Fv} F1$	Fv	$C_{Fv} F2$	Fv	$C_{Fv} F3$	Fv	$C_{Fv} F4$	Fv	$C_{Fv} F5$	Fv	$C_{Fv} F6$	Fv	$C_{Fv} F7$	Fv	$C_{Fv} F8$	Fv	$C_{Fv} F9$	Fv	$C_{Fv} F10$	
5	1.15	0.0961	1.11	0.0987	1.11	0.1254	1.08	0.1580	1.14	0.0866	1.11	0.1795	1.09	0.1489	1.11	0.1204	1.12	0.1026	1.06	0.1224	
6	1.38	0.0750	1.33	0.0810	1.33	0.0946	1.3	0.1298	1.36	0.0738	1.33	0.1147	1.31	0.1126	1.33	0.0992	1.34	0.0825	1.27	0.1004	
7	1.61	0.0575	1.55	0.0639	1.56	0.0686	1.51	0.1042	1.59	0.0583	1.55	0.0802	1.53	0.0835	1.55	0.0781	1.57	0.0636	1.49	0.0767	
8	1.85	0.0444	1.78	0.0497	1.78	0.0517	1.73	0.0803	1.82	0.0447	1.77	0.0593	1.75	0.0624	1.78	0.0596	1.79	0.0504	1.7	0.0591	
9	2.08	0.0352	2.00	0.0392	2	0.0399	1.95	0.0612	2.05	0.0343	1.99	0.0452	1.97	0.0471	2	0.0457	2.02	0.0399	1.91	0.0456	
10	2.31	0.0283	2.22	0.0312	2.22	0.0315	2.16	0.0473	2.27	0.0270	2.21	0.0351	2.18	0.0367	2.22	0.0353	2.24	0.0322	2.12	0.0354	
11	2.54	0.0233	2.44	0.0254	2.45	0.0252	2.38	0.0368	2.5	0.0217	2.44	0.0276	2.4	0.0289	2.44	0.0278	2.47	0.0262	2.34	0.0276	
12	2.77	0.0196	2.66	0.0210	2.67	0.0207	2.59	0.0295	2.73	0.0178	2.66	0.0223	2.62	0.0235	2.66	0.0224	2.69	0.0219	2.55	0.0221	
13	3.00	0.0169	2.88	0.0178	2.89	0.0175	2.81	0.0239	2.95	0.0152	2.88	0.0184	2.84	0.0195	2.89	0.0183	2.91	0.0186	2.76	0.0181	
14	3.23	0.0148	3.11	0.0154	3.11	0.0151	3.03	0.0198	3.18	0.0132	3.1	0.0155	3.06	0.0166	3.11	0.0154	3.14	0.0160	2.97	0.0151	
15	3.46	0.0133	3.33	0.0135	3.34	0.0132	3.24	0.0168	3.41	0.0117	3.32	0.0133	3.28	0.0144	3.33	0.0133	3.36	0.0141	3.18	0.0128	
16	3.69	0.0121	3.55	0.0121	3.56	0.0118	3.46	0.0144	3.64	0.0105	3.54	0.0117	3.5	0.0127	3.55	0.0116	3.59	0.0125	3.4	0.0111	
17	3.92	0.0111	3.77	0.0110	3.78	0.0107	3.68	0.0125	3.86	0.0097	3.76	0.0103	3.71	0.0115	3.77	0.0104	3.81	0.0114	3.61	0.0098	
18	4.15	0.0103	3.99	0.0102	4	0.0098	3.89	0.0111	4.09	0.0089	3.98	0.0093	3.93	0.0105	4	0.0093	4.03	0.0104	3.82	0.0087	
19	4.38	0.0097	4.22	0.0094	4.23	0.0090	4.11	0.0100	4.32	0.0084	4.21	0.0084	4.15	0.0096	4.22	0.0085	4.26	0.0096	4.03	0.0079	
20	4.61	0.0091	4.44	0.0088	4.45	0.0085	4.32	0.0091	4.54	0.0088	4.43	0.0078	4.37	0.0090	4.44	0.0079	4.48	0.0090	4.25	0.0072	
21	4.84	0.0087	4.66	0.0084	4.67	0.0080	4.54	0.0083	4.77	0.0113	4.65	0.0072	4.59	0.0084	4.66	0.0074	4.71	0.0084	4.46	0.0067	
22	5.07	0.0084	4.88	0.0080	4.89	0.0076	4.76	0.0076	5	0.0129	4.87	0.0068	4.81	0.0080	4.88	0.0070	4.93	0.0080	4.67	0.0063	
23	5.30	0.0080	5.10	0.0076	5.12	0.0073	4.97	0.0071	5.23	0.0121	5.09	0.0064	5.02	0.0076	5.11	0.0066	5.16	0.0076	4.88	0.0059	
24	5.54	0.0077	5.33	0.0074	5.34	0.0070	5.19	0.0067	5.45	0.0114	5.31	0.0061	5.24	0.0073	5.33	0.0063	5.38	0.0073	5.1	0.0056	
25	5.77	0.0075	5.55	0.0072	5.56	0.0067	5.41	0.0063	5.68	0.0108	5.53	0.0058	5.46	0.0070	5.55	0.0060	5.6	0.0071	5.31	0.0053	



Slika 61-Graf koeficijenta  $C_{Fv}$ -Fv prema Orca 3D



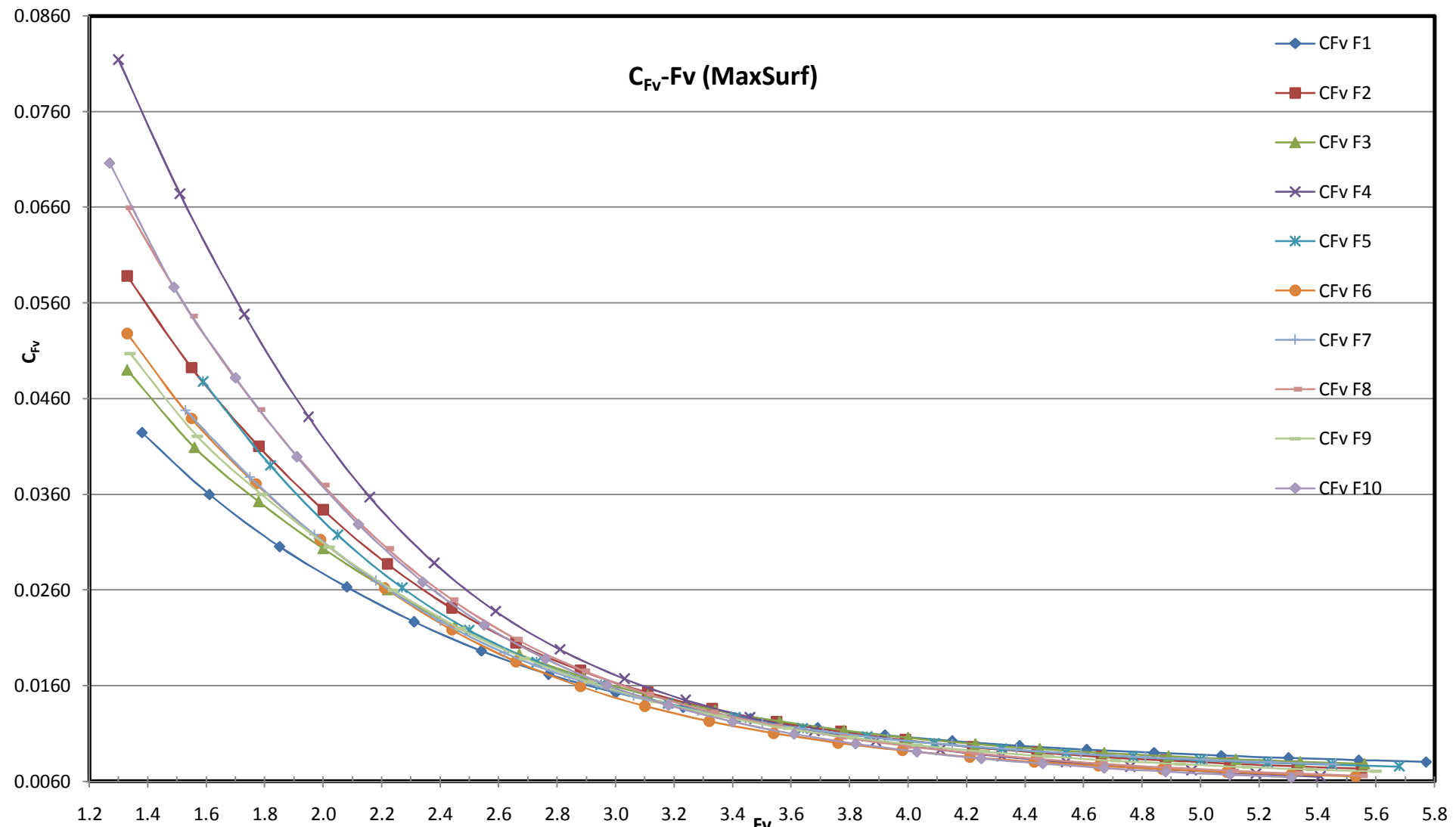
Slika 62- Graf koeficijenta  $C_{Fv}-F_v$  (2-3.5) prema Orca 3D



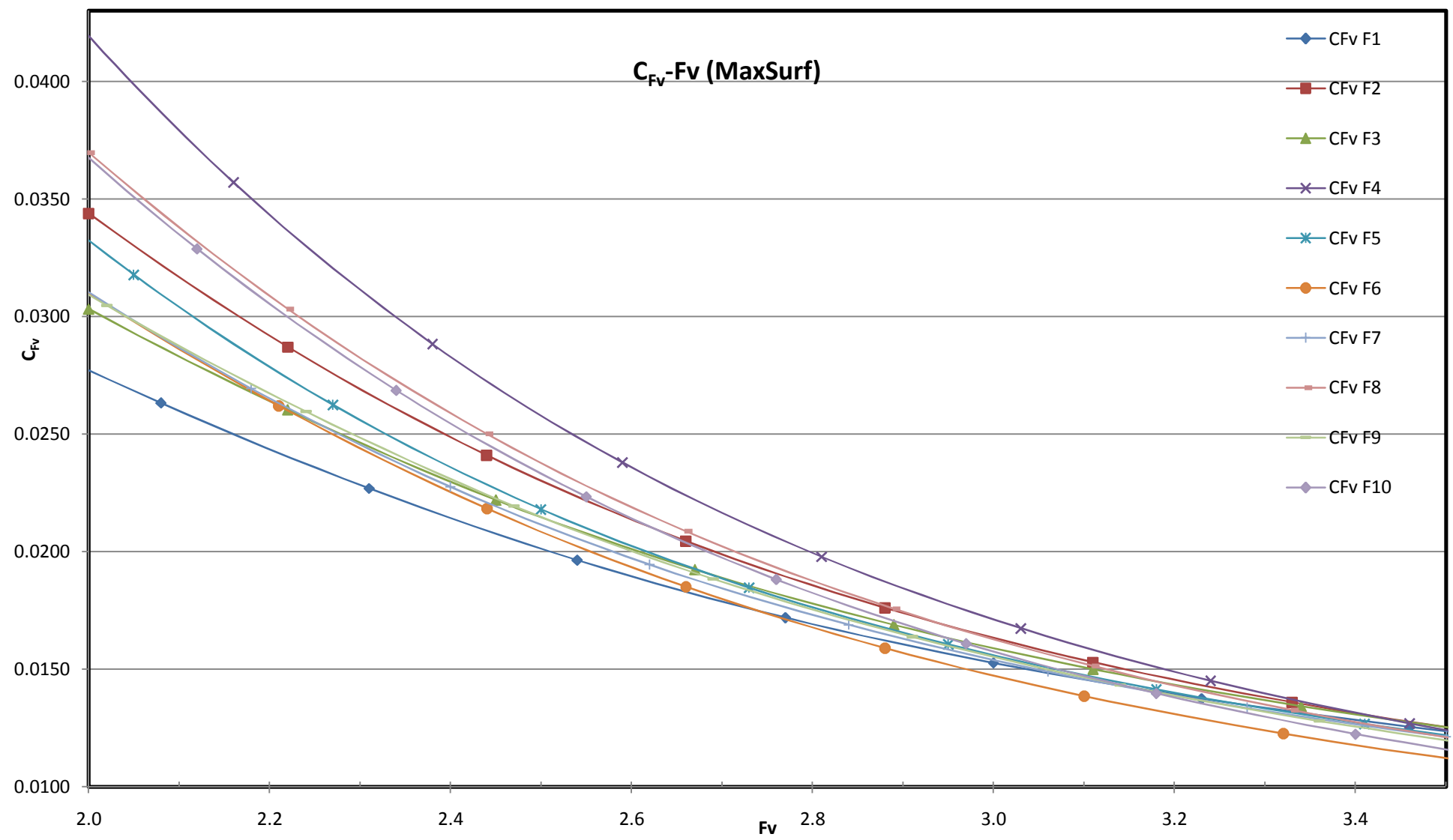
Slika 63 -Graf koeficijenta  $C_{Fv}$ - $F_v$  (3.4-6) prema Orca 3D

Tabela 38- Koeficijent  $C_{Fv}$  MaxSurf

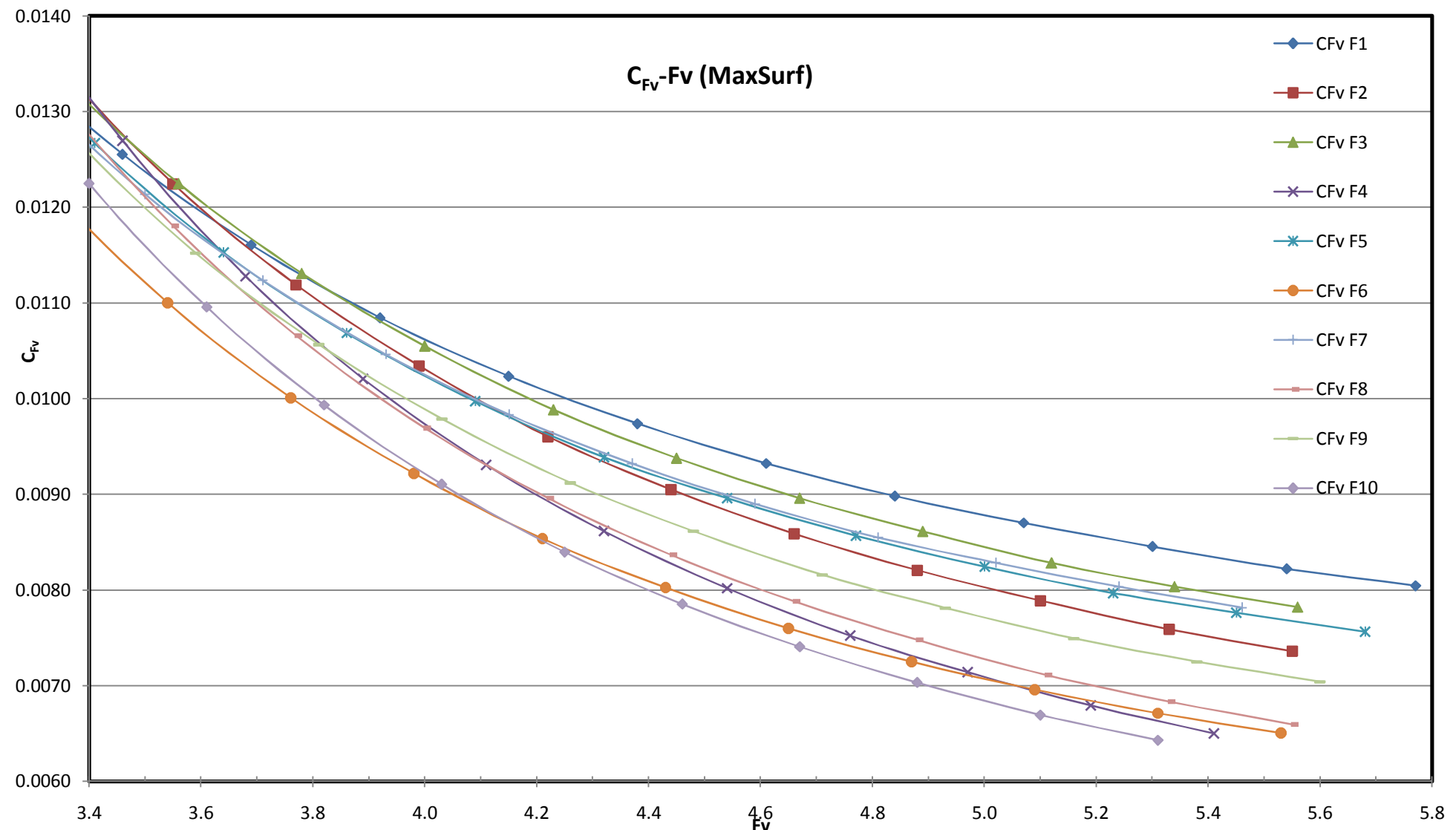
MaxSurf	F1		F2		F3		F4		F5		F6		F7		F8		F9		F10	
v (m/s)	Fv	CFv F1	Fv	CFv F2	Fv	CFv F3	Fv	CFv F4	Fv	CFv F5	Fv	CFv F6	Fv	CFv F7	Fv	CFv F8	Fv	CFv F9	Fv	CFv F10
6	1.38	0.0424	1.33	0.059	1.33	0.049	1.3	0.0814			1.33	0.0528			1.33	0.0659	1.34	0.0507	1.27	0.0706
7	1.61	0.0360	1.55	0.049	1.56	0.0409	1.51	0.0674	1.59	0.0478	1.55	0.0439	1.53	0.0447	1.55	0.0546	1.57	0.0421	1.49	0.0576
8	1.85	0.0305	1.78	0.041	1.78	0.0352	1.73	0.0548	1.82	0.039	1.77	0.0371	1.75	0.0378	1.78	0.0449	1.79	0.036	1.7	0.0482
9	2.08	0.0263	2.00	0.034	2	0.0303	1.95	0.0441	2.05	0.0318	1.99	0.0312	1.97	0.0318	2	0.037	2.02	0.0305	1.91	0.0399
10	2.31	0.0227	2.22	0.029	2.22	0.026	2.16	0.0357	2.27	0.0262	2.21	0.0262	2.18	0.0269	2.22	0.0303	2.24	0.026	2.12	0.0329
11	2.54	0.0196	2.44	0.024	2.45	0.0222	2.38	0.0288	2.5	0.0218	2.44	0.0218	2.4	0.0227	2.44	0.025	2.47	0.0219	2.34	0.0269
12	2.77	0.0172	2.66	0.020	2.67	0.0192	2.59	0.0238	2.73	0.0185	2.66	0.0185	2.62	0.0194	2.66	0.0209	2.69	0.0188	2.55	0.0223
13	3.00	0.0153	2.88	0.018	2.89	0.0169	2.81	0.0198	2.95	0.0161	2.88	0.0159	2.84	0.0169	2.89	0.0176	2.91	0.0164	2.76	0.0188
14	3.23	0.0138	3.11	0.015	3.11	0.015	3.03	0.0167	3.18	0.0141	3.1	0.0139	3.06	0.0149	3.11	0.0151	3.14	0.0143	2.97	0.0161
15	3.46	0.0125	3.33	0.014	3.34	0.0134	3.24	0.0145	3.41	0.0127	3.32	0.0123	3.28	0.0134	3.33	0.0133	3.36	0.0128	3.18	0.014
16	3.69	0.0116	3.55	0.012	3.56	0.0122	3.46	0.0127	3.64	0.0115	3.54	0.011	3.5	0.0121	3.55	0.0118	3.59	0.0115	3.4	0.0122
17	3.92	0.0108	3.77	0.011	3.78	0.0113	3.68	0.0113	3.86	0.0107	3.76	0.01	3.71	0.0112	3.77	0.0107	3.81	0.0106	3.61	0.011
18	4.15	0.0102	3.99	0.010	4	0.0105	3.89	0.0102	4.09	0.01	3.98	0.0092	3.93	0.0105	4	0.0097	4.03	0.0098	3.82	0.0099
19	4.38	0.0097	4.22	0.010	4.23	0.0099	4.11	0.0093	4.32	0.0094	4.21	0.0085	4.15	0.0098	4.22	0.009	4.26	0.0091	4.03	0.0091
20	4.61	0.0093	4.44	0.009	4.45	0.0094	4.32	0.0086	4.54	0.009	4.43	0.008	4.37	0.0093	4.44	0.0084	4.48	0.0086	4.25	0.0084
21	4.84	0.0090	4.66	0.009	4.67	0.009	4.54	0.008	4.77	0.0086	4.65	0.0076	4.59	0.0089	4.66	0.0079	4.71	0.0082	4.46	0.0079
22	5.07	0.0087	4.88	0.008	4.89	0.0086	4.76	0.0075	5	0.0082	4.87	0.0072	4.81	0.0085	4.88	0.0075	4.93	0.0078	4.67	0.0074
23	5.30	0.0085	5.10	0.008	5.12	0.0083	4.97	0.0071	5.23	0.008	5.09	0.007	5.02	0.0083	5.11	0.0071	5.16	0.0075	4.88	0.007
24	5.54	0.0082	5.33	0.008	5.34	0.008	5.19	0.0068	5.45	0.0078	5.31	0.0067	5.24	0.008	5.33	0.0068	5.38	0.0072	5.1	0.0067
25	5.77	0.0080	5.55	0.007	5.56	0.0078	5.41	0.0065	5.68	0.0076	5.53	0.0065	5.46	0.0078	5.55	0.0066	5.6	0.007	5.31	0.0064



Slika 64-Graf koeficijenta  $C_{Fv}$ - $Fv$  prema MaxSurf



Slika 65- Graf koeficijenta  $C_{Fv}-Fv$  (2-3.5) prema MaxSurf



Slika 66- Graf koeficijenta  $C_{Fv}$ - $Fv$  (3.4-5.8) prema MaxSurf

## 5. Zaključak

Forme HDU-brodova iako, u načelu, imaju sličan „design“ mogu biti vrlo raznolike u svojim hidrostatickim i hidrodinamičkim karakteristikama, međutim, analiza pokazuje i jasne pravilnosti. Može se prilično jasno utvrditi u kojim se rasponima kreću određeni parametri bez nekih većih odstupanja.

Vrlo zanimljivi su podaci vezani uz otpor brodova, tim više što su računati istom metodom, ali s dva različita računalna programa. Iznosi otpora ponegdje pokazuju velika odstupanja što je osobito vidljivo u područjima „grbe“ otpora. To je stoga što je metoda Savitsky razvijena za područje potpuno glijirajućih brzina, Orca 3D za prijelazni režim koristi Blount-Foxovu korekciju, a MaxSurf ne. Prilično dobra preklapanja ( $\mp 10\%$  odstupanja) su primjetljiva u područjima lokalnog minimuma otpora (područja poslije „grbe“ otpora) koji u stvari predstavlja područje optimalnih brzina za pojedinu formu.

U trendovima i rasporedu krivulja koeficijenata otpora može se primjetiti određeni stupanj koherentnosti pa se može zaključivati odnose među performansama formi, ali bi sve podatke vezane uz otpor trebalo koristiti s dozom skepse, a po mogućnosti i usporediti s podacima stvarnih brodova ili ispitivanih modela. U svakom slučaju postavljaju se okvirne vrijednosti koje projektant može primjeniti barem u ranijim fazama osnivanja HDU-brodova ili prilikom projektiranja njihovih formi

Kako bi se izbjeglo pretjerano gomilanje činjenica, ali i nametanje zaključaka podaci u ovome radu nisu dovađani u razne relacije koje bi mogle biti interesantne. Oni su izneseni na način da ih je moguće dalje i dublje analizirati, dovoditi u različite odnose kako bi se istražilo njihov međusobni utjecaj. Primjerice ustanoviti kako kut dna, vitkost i položaj težišta utječe na brzinu. Broj obuhvaćenih formi svakako nije dostatan za statističku analizu, ali je dovoljan za određivanje smjernica koje će pomoći boljem razumijevanju problematike HDU-brodova.

## Literatura:

- [1] Pomorski leksikon, Leksikografski zavod „Miroslav Krleža“, Zagreb, 1990.
- [2] Ocean surface wave, Wave making resistance  
[http://en.wikipedia.org/wiki/Ocean\\_surface\\_wave](http://en.wikipedia.org/wiki/Ocean_surface_wave),  
[http://en.wikipedia.org/wiki/Wave\\_making\\_resistance](http://en.wikipedia.org/wiki/Wave_making_resistance), 2009.
- [3] Savitsky D, On the Subject of High-speed Monohulls, Greek Section Of the Society Of Naval Architects and Marine Engineers, Atena, 2003.
- [4] Rhinoceros – NURBS Modeling for Windows, Users guide, Robert McNeel & Associates, USA 2006.
- [5] Goris, B. Rapid Hull Modeling in Rhinoceros  
[http://www.rhinocentre.nl/pdf\\_bestanden/Rapid%20Hull%20Modeling%20in%20Rhinoceros.pdf](http://www.rhinocentre.nl/pdf_bestanden/Rapid%20Hull%20Modeling%20in%20Rhinoceros.pdf) 2009.
- [6] Rhinoceros– NURBS Modeling for Windows, Training manual, vol 1 i 2 Robert McNeel & Associates, USA 2006.
- [7] Grubišić I, Geometrija broda, <http://www.fsb.hr/geometrija.broda/> 2009.
- [8] [http://www.orca3d.com/products/Orca3d\\_power.htm](http://www.orca3d.com/products/Orca3d_power.htm) 2009.
- [9] Savitsky D, Hydrodynamic Design of Planning Hulls, Marine Technology, Vol.1, 1964, str. 71.-95.
- [10] Rukavina G. Osobni razgovor, 2009.